

RAFAEL TYTKO ARMELIN

**VIABILIDADE FÍSICA DO MECANISMO DE ESTERÇAMENTO E SUSPENSÃO DE
UM EIXO DIRECIONAL E TRACIONADO PARA VEÍCULOS 4X4 COM
ESTERÇAMENTO EM DOIS ESTÁGIOS.**

**CONSULTA
FMP-118
Ed.rev.**

**São Paulo
2007**

RAFAEL TYTKO ARMELIN

**VIABILIDADE FÍSICA DO MECANISMO DE ESTERÇAMENTO E SUSPENSÃO DE
UM EIXO DIRECIONAL E TRACIONADO PARA VEÍCULOS 4X4 COM
ESTERÇAMENTO EM DOIS ESTÁGIOS.**

Trabalho de Conclusão de Curso apresentada à
Escola Politécnica da Universidade de São Paulo
para obtenção do Título de Mestre Profissional em
Engenharia Automotiva.

Área de Concentração:

Engenharia Automotiva

Orientador:

Prof. Dr. Marcelo Augusto Leal Alves

São Paulo

2007

AGRADECIMENTOS

À minha esposa por ter me apoiado em escrever cada palavra dessa dissertação.

À minha família por todo o apoio durante esses dois anos de aulas e trabalhos.

A toda a turma de amigos que formei durante esses anos, cada crédito, um desafio que vencemos juntos!

Ao meu orientador Marcelo Alves pelo apoio durante o curso.

Aos colegas do trabalho que ajudaram com a idéia, especialmente ao Marcel Hattori e Sérgio Ricardo Scabar.

Não poderia faltar um agradecimento a mim mesmo! Depois de pensar diversas vezes em desistir, minha teimosia e determinação foram mais fortes que tudo!

DEDICATÓRIA

Ao Prof. Dr. Raul Gonzalez Lima, por ter acreditado no tema e incentivado cada capítulo desta dissertação. Pela sua paciência por cada reunião que tivemos e por sua dedicação como professor e orientador.

RESUMO

Para suprir as novas necessidades do mercado agrícola nacional e internacional, que estão agora direcionadas não somente para a produtividade, mas também para o conforto e segurança, desenvolveu-se um eixo direcional, trátil e suspenso com dois estágios de esterçamento. O presente trabalho desenvolve o projeto básico de um eixo para utilização fora de estrada com as características anteriormente citadas. A primeira etapa trata a viabilidade do projeto, serão apontadas as alternativas e patentes hoje existentes no mercado, juntamente com um estudo econômico e financeiro do novo conceito. A segunda etapa do projeto descreve as necessidades que o eixo precisa atender e o mercado em que se situa. A terceira etapa é a construção de um modelo computacional desenvolvido pelo software *PRO-Engineer*, para análise da viabilidade cinemática do sistema, assim como todos os ângulos do sistema de direção e da suspensão veicular. Na quarta e última etapa investiga-se se o sistema é controlável e observável.

ABSTRACT

Current trend for the agricultural machines which drives to new technologies, focusing not only in the production itself, but also in comfort and safety, was the trigger to develop this front-driven-suspend-super steered-agricultural-axle. This work comprises the basic project for such axle. The first chapter contains the project viability, such economical and financial, and an overview of the Brazilian market evolution. The second chapter of this article is the project description; all functions and targets are presented. The third chapter is the kinematics analysis; a kinematics model was developed using the Pro-Engineer. Finally, controllability and observability tests were performed.

SUMÁRIO

ANEXOS

LISTA DE ABREVIASÕES

LISTA DE FIGURAS

LISTA DE GRÁFICOS

LISTA DE SÍMBOLOS

LISTA DE TABELAS

1. Introdução.....	1
2. Planejamento do Produto.....	2
 2.1. Metodologia.....	2
 2.1.1. Histórico das máquinas agrícolas no Brasil	2
 2.1.2. Estudo de viabilidade.....	4
 2.1.3. Viabilidade Econômica.....	9
 2.1.4. Viabilidade financeira.....	11
3. Objetivos	13
4. Projeto Básico.....	14
5. Alternativas para solução técnica	16
6. Descrição geral de um estudo de suspensão.....	17
 6.1. Ponto de rolagem da suspensão	17
 6.2. Eixo de rolamento da carroceria	19
 6.3. Ângulo de Cáster.....	20
 6.4. Ângulo de Câmara	20
 6.5. Inclinação do Pino Mestre	21
 6.6. Ângulo de Convergência.....	21
 6.7. Geometria de Ackerman	22
7. Estudo técnico da solução	24
 7.1.Viabilidade Física	24

8. Resultados do modelo computacional.....	29
9. Estudo das forças atuantes nos cilindros hidráulicos.....	36
10. Viabilidade de controle do eixo	41
10.1. Princípios de sistemas de controle	41
10.2. Princípio básico controlabilidade de um sistema.....	41
10.3. Teste de observabilidade de um sistema.....	42
10.4. Sistemas de controle para o eixo.....	45
11. Cilindros de suspensão com dupla ação.....	46
12. Proposta para redução de custos	50
13. Análise dos resultados obtidos.....	54
14. Comentários Finais	55
15. Referência.....	56

ANEXOS

- ANEXO A – Patente ZFF 000310 – Agro-Super-Steer**
- ANEXO B – Produção de tratores no ano de 2003**
- ANEXO C – Produção de tratores no ano de 2004**
- ANEXO D – Produção de tratores no ano de 2005**
- ANEXO E – Produção de tratores no ano de 2006**
- ANEXO F – Matriz de análise para o batente de suspensão superior**
- ANEXO G – Matriz de análise para o sobre-esterçamento**
- ANEXO H – Matriz de análise para uma oscilação**
- ANEXO I – Modelo de finitos simulando batente de suspensão**
- ANEXO J – Modelo de finitos simulando o sobre-esterçamento**
- ANEXO K – Modelo de finitos simulando uma oscilação**
- ANEXO L – Rotina para o cálculo de controlabilidade**
- ANEXO M – Rotina para a verificação de observabilidade**
- ANEXO N – Resultados obtidos para observabilidade**

LISTA DE ABREVIACÕES

ZFB – ZF do BRASIL LTDA

ZFF – ZF FRIEDRICHSHAFEN – Divisão de transmissões

ZFP – ZF PASSAU – Divisão de eixos

ZF Lemförder – Divisão de sistemas de chassis

LISTA DE SÍMBOLOS

W – Braço a Terra

δ_g – Inclinação do pino mestre

R – Distância entre centros das rodas na extremidade dianteira do veículo

F – Distância entre centros das rodas na extremidade traseira do veículo

t – Bitola do veículo

L – Distância entre eixos

θ – Ângulo de Cáster

ϵ – Ângulo de Câmara

δ_i – Ângulo da roda interna

δ_o – Ângulo da roda externa

LISTA DE FIGURAS

Figura 2.1.2.1 Produção de máquinas agrícolas entre 2003 e 2006	5
Figura 2.1.2.2 Modelo da CNH produzido com eixo sobre-esterçante	7
Figura 2.1.2.3 Modelo de trator Fendt	8
Figura 2.1.2.4 Modelo de trator CNH: eixo rígido com Sobre-Esterçamento..	8
Figura 2.1.2.5 Eixo rígido, suspenso com cilindros hidráulicos.	9
Figura 4.1 Junta Cardan	15
Figura 6.1.1 Fixação somente nos feixes de molas.	18
Figura 6.1.2 Fixação com três pontos de ancoragem usando a barra Panhard.....	18
Figura 6.1.3 Fixação com quatro pontos de ancoragem.	18
Figura 6.1.4 Fixação com quatro pontos de ancoragem e braços inferiores paralelos	19
Figura 6.1.5 Fixação com pivô no centro do eixo.	19
Figura 6.2.1 Demonstração do eixo imaginário de rolamento da carroceria	19
Figura 6.3.1 Exemplo do ângulo de Cáster	20
Figura 6.4.1 Ângulo de Câmara negativo	20
Figura 6.5.1 Ângulo de pino mestre (δ_G) e o Braço a Terra (W).	21
Figura 6.6.1 Ilustração das possibilidades de alinhamento do veículo	22
Figura 6.7.1 Ilustração da geometria de Ackerman	23
Figura 7.1.1 Vista em 3 dimensões do eixo	24
Figura 7.1.2 Vista frontal do eixo.....	25
Figura 7.1.3 Vista lateral do eixo.....	25
Figura 7.1.4 Vista superior do eixo	26
Figura 7.1.5 Exemplo de um tipo de fixação para o eixo	28

Figura 8.1 Comparação dos dois tipos de sistema de esterçamento das rodas.....	29
Figura 8.2 Ilustração da variação do ângulo de Cáster	30
Figura 8.3 Ilustração da pior condição para as juntas esféricas	31
Figura 8.4 Ilustração do Sobre-Esterçamento X juntas esféricas	32
Figura 8.5 Informações técnicas das juntas esféricas utilizadas.....	33
Figura 8.6 Ilustração da suspensão do eixo.....	34
Figura 8.7 Junta esférica da ponta do V-Link	35
Figura 8.8 Ilustração de uma oscilação do eixo e a consequênciapt; para as juntas esféricas	35
Figura 9.1 Demonstração das cargas na direção Y.....	37
Figura 9.2 Demonstração das cargas na direção X.....	38
Figura 9.3 Demonstração das cargas na direção Z	38
Figura 9.4 e 9.5 Ilustração dos estudos de Elementos Finitos realizados	39
Figura 9.6 Ilustração dos pontos analisados pelo software <i>Winfelt</i>	40
Figura 9.7 Ilustração dos pontos analisados pelo software <i>Winfelt</i>	40
Figura 9.8 Ilustração dos pontos analisados pelo software <i>Winfelt</i>	40
Figura 10.1.1 Ilustração de controle automático a realimentação	41
Figura 11.1 Corpo de válvulas para gerenciamento da suspensão.	46
Figura 11.2 Cilindro de dupla ação fornecidos pela Ognibene	47
Figura 11.3 Modelo de suspensão da Jonh Deere	48
Figura 11.4 Ilustração de um possível esquema hidráulico para o sistema	48
Figura 11.5 Modelo extraído da Carraro.....	49
Figura 12.1 Ilustração das novas barras de fixação traseira do eixo	51
Figura 12.2 Vista de topo do eixo suspenso sem sobre-esterçamento.....	51
Figura 12.3 Vista lateral do eixo sem sobre-esterçamento	52

Figura 12.4 Veículo Willis montando o eixo dianteiro..... 52

Figura 12.5 Fotos tiradas de um eixo dianteiro de Troller 4x4 53

LISTA DE TABELAS

Tabela 2.1.3.1 Produção de máquinas agrícolas entre 2003 e 2006 11

1. Introdução

Podemos destacar dentro do mercado de máquinas utilizadas para a agricultura (englobando o preparo da terra, plantio e colheita), uma linha evolutiva tratando da sua tecnologia embarcada. Assim como no mercado de automóveis, onde existe uma necessidade de evolução devido à concorrência e pela exigência do consumidor final por produtos de melhor qualidade e menor preço, o mercado de máquinas agrícolas não é diferente. Porém por se tratar de veículos para trabalho rural, existem algumas particularidades que serão vistas posteriormente.

Contando com esse cenário favorável para o desenvolvimento de novas tecnologias, esta dissertação irá apresentar as bases para o desenvolvimento de um eixo agrícola direcional, tracionado, suspenso e com duplo estágio de esterçamento (sobre-esterçante). [Patente Agro-Super-Steer ZFF número 000310, anexo A]

A primeira etapa consiste em uma apresentação do mercado de máquinas agrícolas, com as suas particularidades. Apresenta-se um estudo de viabilidade financeira e econômica e um breve histórico de como evoluíram as máquinas agrícolas no Brasil.

A segunda etapa será a apresentação do projeto com as funções que o novo produto deve atender. A terceira etapa analisa o comportamento cinemático do eixo com o auxílio do programa *Pro-Engineer*.

A quarta etapa verifica a controlabilidade e a observabilidade do eixo. Para essa etapa utiliza-se um processador de elementos finitos, o *WinFelt* para determinar as matrizes de massa e rigidez do sistema. Para análise das matrizes, outro software será empregado para o auxílio de processamento de dados, o *Matlab*.

2. Planejamento do Produto

Dentro desse capítulo serão demonstradas as características que o produto deve apresentar para atender às necessidades do cliente e do mercado ao qual se destina.

2.1. Metodologia

A metodologia de desenvolvimento do produto utilizada segue as diretrizes apresentadas no livro **Desenvolvendo produtos com planejamento, criatividade e qualidade** (Kaminski, P.C., 2000).

Serão abordadas as principais estruturas dentro de um novo projeto, desde o estudo de viabilidade, até a fase de utilização (ou cancelamento) do projeto.

2.1.1. Histórico das máquinas agrícolas no Brasil

Desde 1920, quando o então presidente Epitácio Pessoa autorizou as operações da FORD no Brasil, em pouco tempo era produzido o modelo FORDSON, até então importado dos Estados Unidos, que passou a ser produzido aqui. Logo depois vieram também outros fabricantes de implementos e máquinas agrícolas, tais como Massey Fergunson, John Deere, Caterpillar e Fiat.

Todavia, somente em 1960 o Brasil teve a primeira fabricação de uma máquina agrícola. Até então, muitos fatores técnicos inviabilizavam a construção de um trator em países com clima tropical pois a fundição era inviável tecnicamente, problema este que foi resolvido pela SOFUNGE.

Os registros da Anfavea mostram que em 1960 a Ford abriu caminho e lançou o trator 8 BR Diesel. Os modelos das empresas, hoje, Valtra e CNH New Holland, segundo a Anfavea, chegaram no mesmo ano.

Em 1961 foi lançado o Massey 156, que até então possuía o Ferguson MF 50 com o maior índice de nacionalização à época.

Nessa época o Brasil tinha 70 (setenta) milhões de habitantes, 38 (trinta e oito) milhões dos quais viviam no campo, e a produção de grãos não passava de 20 (vinte) milhões de toneladas/ano. Sete anos depois a Massey montou o primeiro centro de treinamento do País para formação de tratoristas, o qual ensinou gerações a regular implementos e fazer sua manutenção.

Os cultivadores motorizados nacionais começaram a ser fabricados em 1961 e tiveram seu recorde de produção em 1986, com 7,1 mil unidades produzidas, marca até hoje não igualada. Em 1964 foi a vez da Agrale lançar seu trator compacto 4.100, sucesso de vendas até hoje. Em 1976 iniciou-se a produção da JohnDeere, na época SLC.

A indústria brasileira de tratores cresceu modestamente até 1970, quando a produção saltou de 16,7 mil para perto de 25,5 mil unidades no ano seguinte. A produção seguiu crescente até 1980, quando saltou para 77.478 tratores e outras máquinas agrícolas produzidas, recorde até hoje não alcançado. Já os tratores de esteira apareceram timidamente em 1966, com 13 unidades produzidas, e tiveram seu recorde de produção em 1976, com 4,6 mil unidades. As colheitadeiras em 1976 alcançaram a produção de 6,4 mil unidades e tiveram seu pico em 2004, com 10,4 mil unidades.

Com a criação do Moderfrota em 2000, programa para Modernização da Frota Agrícola, a produção seguiu aos altos e baixos, sempre maior do que 22 mil unidades e nunca superior a 69 mil. A partir de 2000, quando o governo passou a injetar regularmente (e no período adequado) recursos na agricultura, oferecendo crédito para a mecanização (a juros, prazos e

volumes compatíveis com a atividade), a produção da indústria de tratores e máquinas agrícolas saltou de 35,5 mil unidades em 2000 para 44,3 mil no ano seguinte e para 69,4 mil em 2004. Deu-se um rápido aumento na área plantada com grãos e na produtividade. A área dedicada à soja cresceu 39,8% na Região Sul e 66,1% no Centro-Oeste.

Todo este panorama nos leva a concluir que a tecnologia para esse setor é muito importante, mas que isso, é necessário acompanhar o desenvolvimento tecnológico que existente fora do nosso País. Afinal, somos um pólo produtor de tecnologias também para máquinas agrícolas.

2.1.2. Estudo de viabilidade

Com uma pequena análise do mercado das máquinas que hoje estão disponíveis, busca-se uma resposta se o consumidor final está disposto a pagar um valor extra para a aquisição da tecnologia do eixo suspenso (principalmente) e com sobre-esterçamento. No entanto, observamos também que não é de interesse das montadoras deixar esse tipo de eixo como um item de série. A melhor maneira de se ofertar esse produto é disponibilizá-lo como um item opcional para a máquina (uma pequena pesquisa de opinião foi feita entre os departamentos de engenharia das principais montadoras nacionais de máquinas agrícolas: AGCO, Valtra, Jonh Deere e Agrale). O mercado brasileiro ainda não tem disponível para a venda esse tipo de tecnologia, mas, nos países mais desenvolvidos, quase 2/3 do mercado utiliza eixos suspensos, ou suspensão independente [conversa informal com o Senhor Stefan Prebeck, gerente geral de desenvolvimento de produtos da ZFP e ZFB].

Dentre as vendas de máquinas agrícolas note com a figura 2.1.1.1 que existe quase uma constante ao longo dos últimos anos (com uma tendência de ampliação do mercado 4x4).

Com essa pequena análise, podemos admitir que estamos atuando em um mercado em expansão.

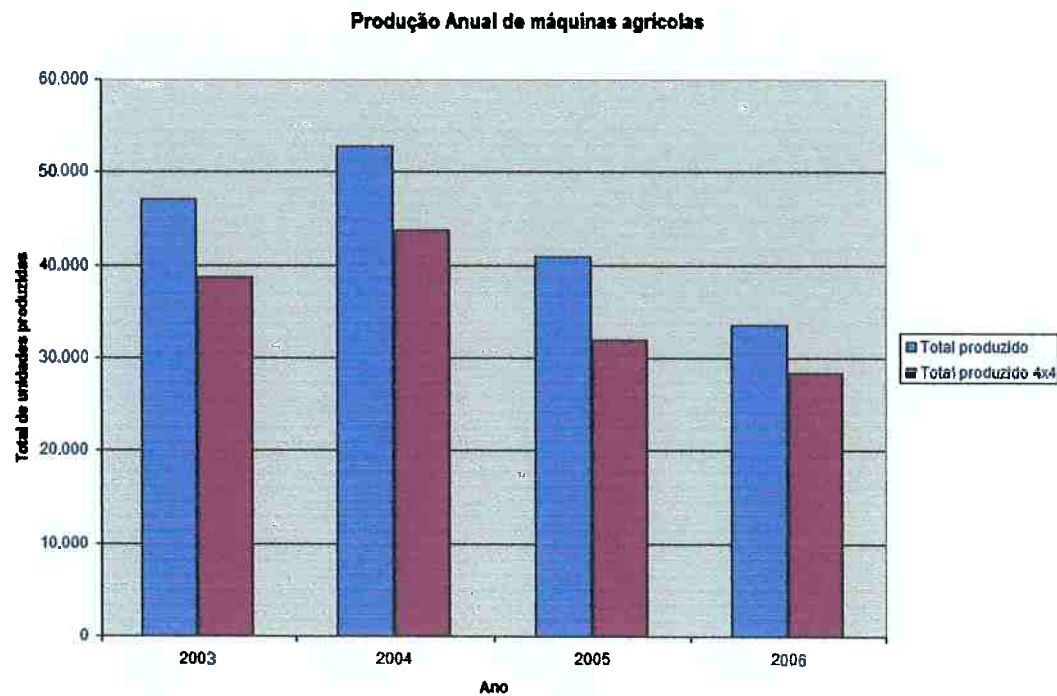


Figura 2.1.2.1 – Extraído da ANFAVEA com a produção de máquinas agrícolas entre 2003 e 2006 (exceto dezembro de 2006). [anexos B,C,D e E]

Vale ressaltar que a queda que o mercado agrícola apresentou nesses últimos dois anos foi totalmente ligada a condições macroeconômicas do país, tais como: dólar em alta e a queda nos preços das commodities no mercado externo. Poderíamos até entender que 2004 foi o grande pico de produção de grãos, e que agora a produção está nos patamares reais do mercado (veja também outros fatores no capítulo 2). Mesmo com essa queda de produção, podemos também analisar que o mercado 4x4 tem crescido, ou seja, cada vez mais o produtor está investindo em tecnologia para ganhar eficiência em sua produção. Note que no gráfico, 2006 não contém a produção do mês de dezembro, pois ainda não estava fechado o ano na data da pesquisa. Todas as tabelas extraídas da ANFAVEA encontram-se nos anexos do B ao E.

A ZF do Brasil hoje tem uma média de vendas de eixos agrícolas para tratores 4x4 na casa dos 18.000 (dezooito mil) eixos por ano (média dos últimos quatro anos) contando todas as montadoras a quem a ZF fornece. Tendo em vista que ainda há mais dois - no mínimo - outros grandes fornecedores de eixos direcionais e tracionados, podemos admitir que o caminho certo para o desenvolvimento dessa tecnologia, passa por desenvolver eixos suspensos.

A linha evolutiva do mercado para esse produto pode ser observada como:

1. Sistema direcional simples;
2. Eixos rígidos oscilantes e direcionais;
3. Eixos rígidos oscilantes trativos e direcionais;
4. Eixos rígidos trativos direcionais e suspensos;
5. Suspensão independente.

Tudo isso observado desde o produto mais simples até o mais complexo, tanto do ponto de vista tecnológico, quanto do ponto de vista de custos para produção.

O produto proposto no tema se enquadrará entre o eixo rígido trativo e oscilante e o eixo rígido trativo e suspenso, diferenciado deste último por dois novos cilindros que serão os responsáveis pelo sobre-esterçamento, além do seu papel de ancoragem do eixo.

Com isso, a relação custo-benefício desta tecnologia se torna atraente para o consumidor final. Na figura 2.1.2.2 podemos observar a vantagem de se possuir grande ângulo de esterçamento: a máquina pode (dependendo do seu entre eixos) girar em torno de si mesma. Isso evita manobras no final da rota, tornando mais eficiente o processo, graças ao rápido retorno da máquina à rota.



Figura 2.1.2.2- Modelo da CNH produzido com eixo sobre-esterçante.

Hoje as máquinas já são vendidas em sua maioria com sistemas inteligentes de suspensão, onde os cilindros são eletronicamente controlados por uma central independente, ou por outro controlador já disponível na máquina.

Alguns exemplos de máquinas agrícolas serão citados para o melhor entendimento do mercado em que estamos atuando. A seguir a figura de 2.1.2.3 demonstra o modelo de trator Fendt equipado com um eixo rígido e suspenso. Na figura 2.1.2.4 demonstra um possível concorrente para o mercado de eixos sobre-esterçantes, um modelo da CNH equipado exatamente com esta tecnologia. Na figura 2.1.2.5 mais um exemplo de eixo rígido equipado com amortecedores/molas hidráulicas.



Figura 2.1.2.3 – Modelo de trator Fendt.



Figura 2.1.2.4 – Modelo de trator CNH: eixo rígido com Sobre-Esterçamento.



Figura 2.1.2.5 – Eixo rígido, suspenso com cilindros hidráulicos.

2.1.3. Viabilidade Econômica

Para que a fabricação do produto seja algo interessante para a empresa, é necessário que o custo de produção e desenvolvimento seja menor que a receita por ele gerada em suas vendas. Todos os investimentos também devem ser amortizados ao final do ciclo de venda deste produto.

Os investimentos estarão divididos em duas partes: projeto e desenvolvimento do conceito, e implantação para fabricação.

A fase de projeto e desenvolvimento será a parte mais onerosa do investimento, onde serão consumidas cerca de 10.000 horas (baseado no histórico dos últimos seis novos projetos desenvolvidos) de engenharia e de outros departamentos que eventualmente tenham que atuar no desenvolvimento do produto (compras e processos). Admitindo-se o custo de uma hora de trabalho para a engenharia e esses outros departamentos como de aproximadamente R\$ 60,00 (sessenta) reais, temos aqui um custo total de R\$ 600.000,00 (seiscentos mil) reais.

Para a construção deste protótipo estimamos outros R\$ 100.000,00 (cem mil) reais com a aquisição de cilindros e componentes eletrônicos.

Para a implantação da fabricação serão considerados somente alguns re-trabalhos nos ferramentais de fundição, o que não deve ultrapassar R\$ 100.000,00 (cem mil) reais. Vale ressaltar, aqui, que o eixo é uma peça de série, possibilitando baixos investimentos com ferramentais de fundição, geralmente o mais caro.

Para esse total de investimentos de R\$ 800.000,00 (oitocentos mil) reais, toda a estrutura da empresa será utilizada, porém não haverá despesas extras, ou seja, o caixa não será prejudicado. Somente na fase de re-trabalhos nos ferramentais de fundição gastar-se-á dinheiro do caixa.

Como anteriormente mencionado, o modelo proposto se insere dentro de uma faixa de mercado entre dois conceitos já consagrados no mesmo: o eixo rígido oscilante e a suspensão independente. Para que o projeto seja viável, o menor número possível de peças novas será considerado para o modelo.

Um cliente que já estava disposto a pagar um preço diferenciado para adquirir uma tecnologia de suspensão, com o custo benefício bastante atraente (mesmo que não seja a melhor suspensão que existe no mercado), o sobre-esterçamento estará disponível somente com o acréscimo de dois cilindros e a tecnologia do software de gerenciamento para o sistema. Para a montadora, isto se torna interessante do ponto de vista econômico e estratégico, pois o sobre-esterçamento será um diferencial de vendas para o seu produto.

Será necessário também estimar o lucro que cada uma dessas unidades deixará para a empresa. Para podermos simplificar um pouco o modelo, adotaremos um valor fixo para os cálculos. Como estamos tratando de tecnologia embarcada, estimamos um valor de lucro unitário mais elevado se compararmos a um eixo comum. Esse valor foi estimado em R\$ 250,00 (duzentos e cinqüenta) reais por unidade, tendo como base dados da ZF do Brasil. Não

é permitido divulgar os valores de lucro, nem tampouco o preço de venda, entretanto trata-se de dados reais e verificados nos anos de 2005/2006.

2.1.4. Viabilidade financeira

O método utilizado para a determinação da viabilidade do projeto será o método do valor líquido presente (VLP). [Economia de empresas, Brunstain, I., 2000]

A idéia aqui é utilizar todos os valores estimados para vendas nos anos de vida do produto e trazer para o valor presente, bem como deduzir todos os investimentos feitos para a realização do projeto.

Vamos aqui admitir um valor pessimista para as vendas do produto durante o seu ciclo de vida. Se estivermos superestimando esses dados, pode-se gerar prejuízos para a empresa no futuro.

As vendas do produto serão estimadas conforme a tabela 2.1.3.1:

Ano	Ano	Ano	Ano	Ano	Ano	Ano	Ano	Ano	Ano
1	2	3	4	5	6	7	8	9	10
500	900	1000	1100	1200	1300	1100	1000	800	800

Tabela 2.1.4.1 – Estimativa pessimista de vendas para o eixo

$$\text{VLP} = \text{VP}_{\text{lucro}} - \text{VP}_{\text{investimentos}}$$

Para a taxa de juros anual vamos adotar uma média de 18% ao ano.

$$\text{VLlucro} = 500*250/1,18 + 900*250/(1,18)^2 + 1000*250/(1,18)^3 + 1100*250/(1,18)^4 + \\ 1200*250/(1,18)^5 + 1300*250/(1,18)^6 + 1100*250/(1,18)^7 + 1000*250/(1,18)^8 + \\ 800*250/(1,18)^9 + 800*250/(1,18)^{10} = 1.049.189,40$$

$$\text{VLP} = 1.049.189,40 - 800.000 = 249.189,40$$

Como temos um VLP positivo, podemos concluir que o lucro com as vendas na data presente é maior que todos os investimentos previstos para o projeto, o que o torna rentável para a empresa. Mesmo o número não sendo muito atraente para a realização do projeto, existe uma parte estratégica da empresa que deve ser também considerada. O projeto em questão entra em um nicho de mercado onde a empresa ainda não atua e por isso será considerado um bom investimento para mesma, a longo prazo.

3. Objetivos

Proposta e análise de viabilidade física de um mecanismo de uma suspensão para um eixo rígido, suspenso e direcional, utilizado em máquina agrícola, que permita um esterçamento significativamente maior (20%) do que aquele das máquinas atuais.

4. Projeto Básico

O projeto básico está bem definido uma vez que se trata de uma estratégia da ZF do Brasil para lançar um eixo que ainda não se encontra na sua linha de produtos. Mesmo existindo outros produtos similares na Alemanha, o nosso mercado difere muito do europeu e, por isso, desenvolvemos uma tecnologia mais aplicável ao nosso mercado. Dentre as diferenças do mercado europeu e o nacional, o mais importante destaque fica no tempo disponível para o plantio e preparo da terra, pois as condições climáticas européias são desfavoráveis (estações muito bem definidas), gerando a necessidade de aumentar a produtividade e velocidades das máquinas para não perder a época exata para as operações necessárias durante o processo de plantio e colheita. Outro fato é o deslocamento da máquina entre pontos de grandes distâncias (entre propriedades), no Brasil geralmente isso ocorre por meio de caminhões, na Europa a máquina efetua seu próprio deslocamento, baixando os custos.

Para tal, todo o conceito do projeto se baseou em um produto hoje existente, capaz de oferecer até 65° de ângulo de esterçamento, com o objetivo de atender à necessidade de se ter um raio de giro pequeno o suficiente para evitar manobras no final da linha de trabalho, seja ele de plantio, colheita ou preparo da terra.

Existem limitações técnicas que impossibilitam que todo o esterçamento seja feito pela ponta do eixo, sendo a principal delas a junta Cardan, que liga a ponta do eixo até o diferencial do eixo (existe ainda um eixo de ligação entre Cardan e diferencial, mas este não será estudado neste projeto). Este Cardan tem a limitação de 50° como ângulo β para qualquer um dos lados, conforme ilustrado na figura 4.1. Muitos outros ângulos são importantes na junta Cardan, mas eles não serão abordados aqui, por não ser este o foco do projeto.

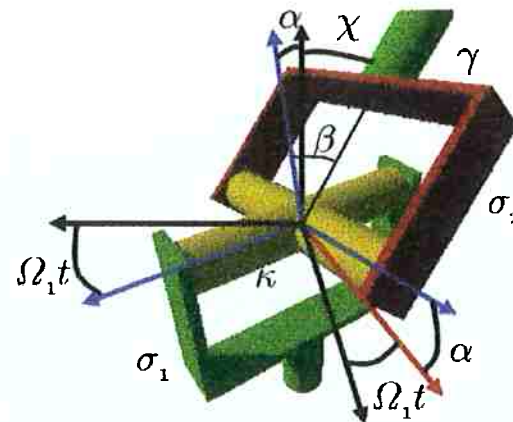


Figura 4.1 – Junta Cardan

Outra restrição para o total esterçamento nas pontas de eixo, está relacionada com espaços físicos na máquina. Geralmente o para lamas é fixado na ponta do eixo, sendo pivotado juntamente com o conjunto da direção isso ocasiona interferências com o motor e carenagens laterais.

Devido a essas restrições principais, a alternativa é o giro total do conjunto de eixo, complementando os 50º possíveis de esterçamento na ponta do eixo com mais 10º de rotação do eixo completo.

Não há dúvidas de que será necessário por parte da montadora um estudo mais aprofundado de qual será o melhor layout para que as carenagens não venham a sofrer interferências; contudo, como se trata de uma região onde somente o motor está alocado, o estreitamento dessa região é perfeitamente possível para a necessidade de esterçamento acima especificada.

5. Alternativas para solução técnica

Como possíveis alternativas para a construção desse conceito de eixo foi feito um breve estudo das patentes hoje existentes. Nesse segmento de máquinas agrícolas, existem muitas patentes tratando, em sua maioria, de acionamento e esterçamento das rodas (cilindros, barras, quantidades, posições, etc.).

A maioria dos conceitos hoje apresentados, não é diretamente aplicável em nosso mercado pelo seu elevado custo de produção, principalmente no caso das suspensões independentes. Muitas patentes estão descritas como invenções para melhorar a performance sem prejudicar o custo, e com a durabilidade tão boa quanto a oferecida anteriormente. Nossa proposta consiste em criar um novo sistema de acionamento que poderá suprir as atuais necessidades de raio de giro das máquinas, sem prejudicar muito os custos.

Hoje há ângulos de esterçamento de 65º para os dois lados (CNH). Com os modelos convencionais de esterçamento somente da ponta do eixo, não é possível atingir mais do que 50º (vide o estudo da junta Cardan no item 4.1), por isso a proposta é incrementar esse ângulo direcionando todo o conjunto do eixo, tornando-o também direcional. Esse conceito já existe, e é chamado de *Super-Steer* (que traduzimos aqui como sistema de Sobre-Esterçamento), porém ainda não é conhecido neste conceito.

Este trabalho gerou o pedido da patente 000310 [anexo A], cujos direitos pertencem a ZF Alemanha e tem como autor Rafael Tytko Armelin. Como tratamos de uma patente internacional, ela será aplicada a todos os países produtores de eixos e não para o mundo todo, o que envolve elevados custos.

6. Descrição geral de um estudo de suspensão

Embora o projeto tenha o objetivo de propor um sistema de suspensão, o tema abordado neste trabalho está focado apenas em um componente da suspensão: o eixo dianteiro. Vale destacar que um estudo aprofundado de uma suspensão requer à análise de muitos outros detalhes que não serão aqui abordados. Esse estudo mais aprofundado deverá ser feito juntamente com o cliente, pois existem outras restrições que serão impostas pelo projeto completo da máquina agrícola.

Aqui serão apresentados basicamente os ângulos envolvidos e o que cada um deles representa no estudo proposto pelo tema.

6.1. Ponto de rolagem da suspensão (*Roll Center*)

Quando um carro entra em curvas, forças são aplicadas na carroceria tendendo a “girá-la” para fora da curva. Isto é chamado de rolamento. O fato mecânico por trás disso é que o rolamento da carroceria tende a comprimir as molas da suspensão do lado externo de uma curva, e retirar peso do lado interno.

Em termos gerais de *design* do veículo, podemos comparar este ponto de rolamento com o centro de gravidade (CG), onde todas as forças são aplicadas para efeitos de estudo. É com esse raciocínio que se pode entender o ponto de rolamento da suspensão.

É evidente que a carroceria não tem um rolamento vertical com as vias. Deve existir um ponto no espaço em torno do qual a carroceria pode ter a sua rotação para assumir um mesmo ângulo de rolagem das vias. Esse ponto pode ser real ou até imaginário, dependendo do *design* do veículo. Este então é o chamado ponto de rolagem da suspensão (*Roll Center*).

A figura 6.1.1 demonstra o tipo de ancoramento do eixo usando somente os feixes de molas como pontos de apoio. A figura 6.1.2 demonstra a fixação do eixo por barras, no caso três, onde uma delas é chamada de *Panhard*. Na figura 6.1.3 um exemplo para quatro pontos de ancoragem do eixo, muito similar a figura 6.1.4 que possui as barras inferiores paralelas. A figura 6.1.5 demonstra a fixação com duas barras e um pivô no centro do eixo. Em cada uma dessas figuras apresentadas, uma metodologia diferente se aplica para encontrar o ponto de rolagem da suspensão.

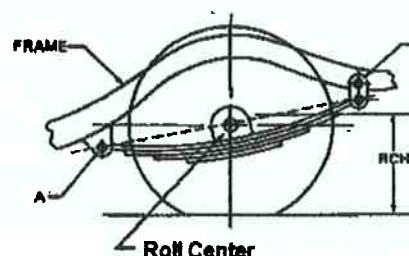
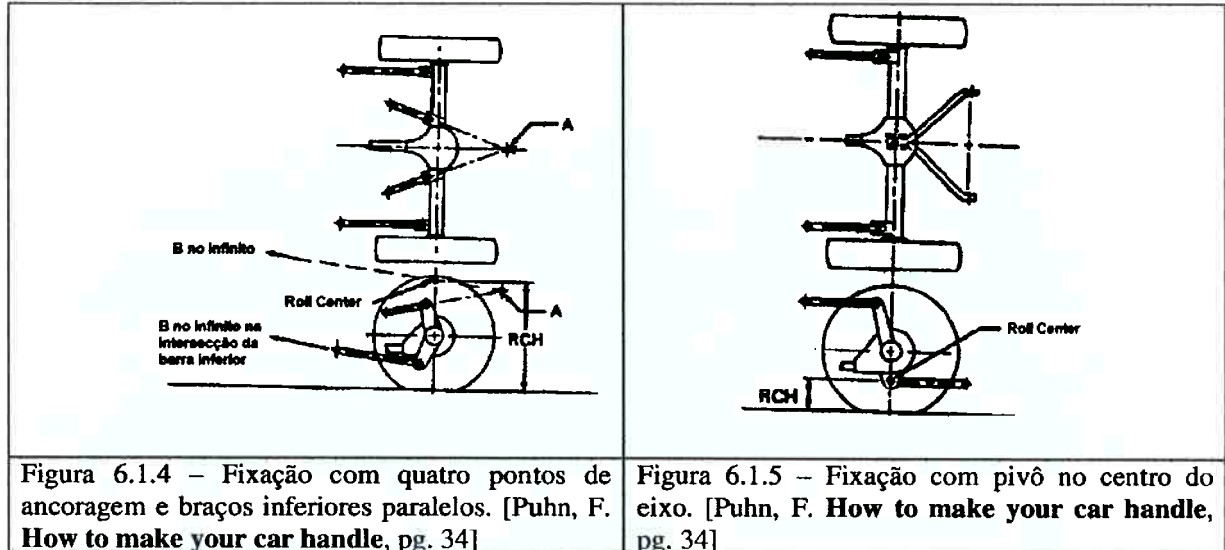


Figura 6.1.1 – Fixação somente nos feixes de molas. [Puhn, F. *How to make your car handle*, pg. 33]

<p>O diagrama mostra uma suspensão lateral com três pontos de ancoragem. A barra Panhard é rotulado 'Barra Panhard'. O eixo é rotulado com 'A' e 'B'. O ponto central de rolagem é rotulado 'Roll Center'. A distância entre o eixo e o roll center é rotulado 'RCH'. O chassi é rotulado 'Chassis'.</p>	<p>O diagrama mostra uma suspensão lateral com quatro pontos de ancoragem. O eixo é rotulado com 'A' e 'B'. O ponto central de rolagem é rotulado 'Roll Center'. A distância entre o eixo e o roll center é rotulado 'RCH'.</p>
<p>Figura 6.1.2 – Fixação com três pontos de ancoragem usando a barra Panhard. [Puhn, F. <i>How to make your car handle</i>, pg. 33]</p>	<p>Figura 6.1.3 – Fixação com quatro pontos de ancoragem. [Puhn, F. <i>How to make your car handle</i>, pg 34]</p>



6.2. Eixo de rolamento da carroceria

Este eixo imaginário é a ligação dos dois pontos gerados pela geometria das suspensões (*Roll Center*) dianteira e traseira. Este será o eixo de rolamento de toda a carroceria. Vide o exemplo na figura 6.2.1.

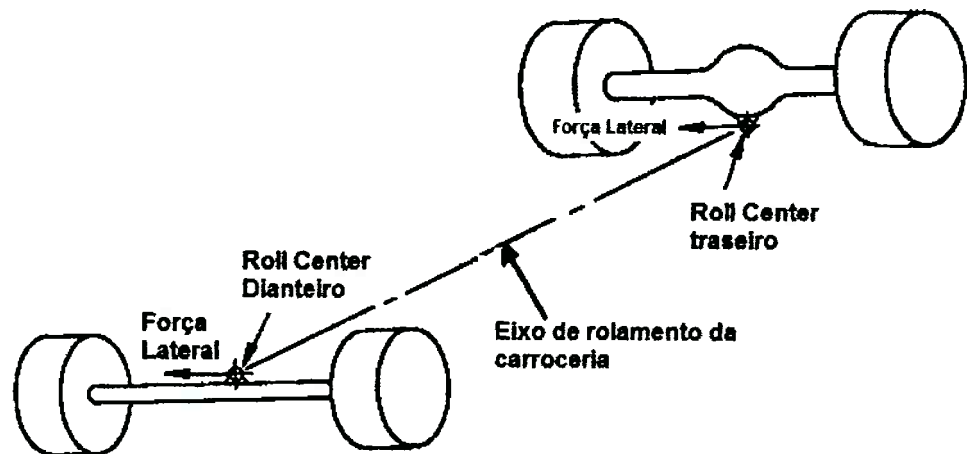


Figura 6.2.1 – Demonstração do eixo imaginário de rolamento da carroceria [Puhn, F. *How to make your car handle*, pg. 32]

6.3. Ângulo de Cáster (θ)

Este é o ângulo responsável pelo torque de auto-alinhamento do veículo. Podemos descrever como sendo a diferença do ponto de contato do pneu com o solo, em relação ao ponto de projeção dado pela inclinação dos braços de suspensão conforme ilustrado na figura 6.3.1.

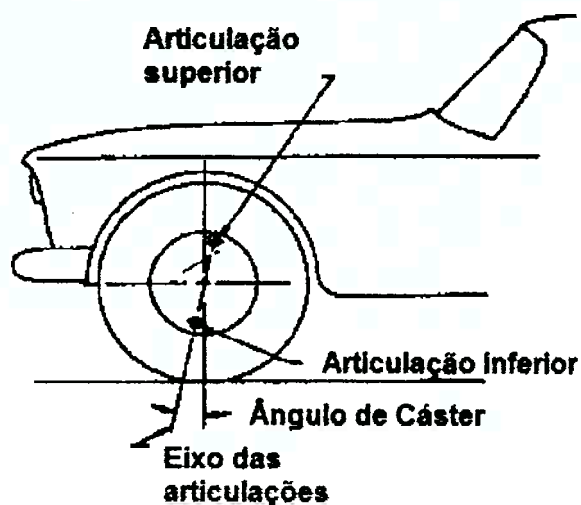


Figura 6.3.1 – Exemplo do ângulo de Cáster [Puhn, F. *How to make your car handle*, pg. 72]

6.4. Ângulo de Câmara (ϵ)

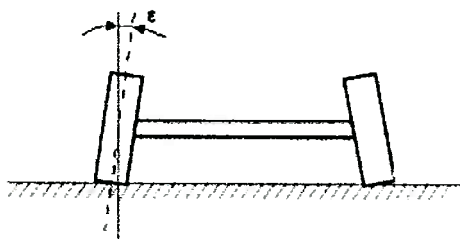


Figura 6.4.1 – Ângulo de Câmara negativo “ ϵ ”

O ângulo de Câmara é definido como a inclinação da roda em relação ao solo, podendo ser positivo ou negativo. Em máquinas agrícolas, com esse tipo de eixo rígido, trabalha-se com até 1º positivo devido à oscilação do eixo. Como o

novo sistema será implementado com cursos menores (devido a limitações dos cilindros), trabalharemos com ângulo inicial de 0° .

6.5. Inclinação do Pino Mestre (δ_G)

A inclinação do pino mestre é o ângulo determinado pelo eixo de fixação da articulação da roda, e uma linha vertical ao solo. Esse ângulo será muito importante também em relação à determinação do “Braço a Terra” (W), que nada mais é que a distância da projeção da linha de articulação até o solo em relação ao centro do pneu. O Braço a Terra terá diversos comprimentos devido à variedade de *off sets* de rodas disponíveis para o mercado agrícola, o que disponibiliza diversas bitolas para o cliente final. A figura 6.5.1 mostra um exemplo geral para encontrar o ângulo e a distância do Braço a Terra. Note que para encontrar o ângulo do pino mestre somente a geometria da ponte lateral do eixo é suficiente.

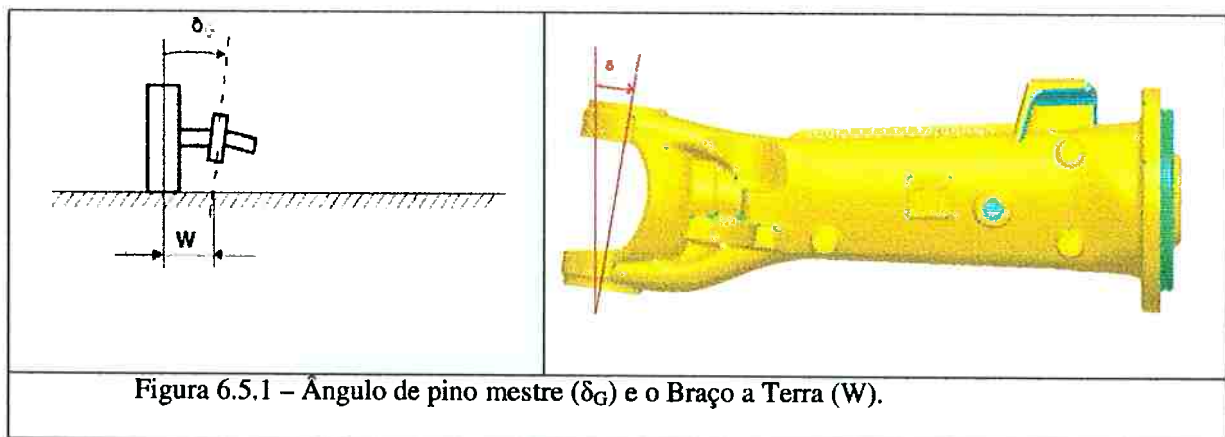


Figura 6.5.1 – Ângulo de pino mestre (δ_G) e o Braço a Terra (W).

6.6. Ângulo de Convergência ($R\pm F$)

O ângulo de convergência também conhecido como o alinhamento das rodas, é o ângulo da roda com o eixo geométrico do veículo (visto em planta).

Ele é necessário para manter as rodas paralelas quando o veículo estiver em movimento. Ângulos de convergência exagerados resultam em desgastes irregulares dos pneus e provocam aumento de esforço para o sistema de direção, além de aumentar a resistência ao rolamento do veículo assim como ilustrado na figura 6.6.1.

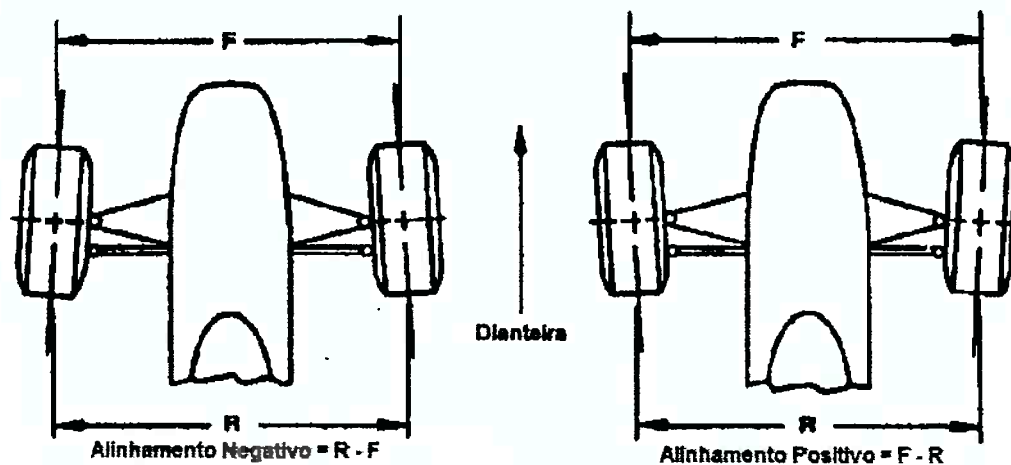


Figura 6.6.1 – Ilustração das possibilidades de alinhamento do veículo. [Puhn, F. **How to make your car handle**, pg. 23]

6.7. Geometria de Ackerman

O termo geometria de Ackerman é freqüentemente utilizado para determinação do ângulo de esterçamento maior da roda interna (δ_i) em relação a roda externa (δ_o). Os desvios que o sistema pode apresentar em relação à geometria de Ackerman têm influência significativa no desgaste dos pneus dianteiros, mas não influenciarão a resposta direcional do veículo. Com a correta geometria de Ackerman os torques do sistema de direção tendem a crescer uniformemente com o ângulo de esterçamento, fornecendo desta forma, uma resposta adequada ao motorista. Se no outro extremo considerarmos as rodas descrevendo trajetórias paralelas, esse torque inicialmente cresce com o ângulo, mas em um determinado ponto, ele

diminui, podendo alcançar valores negativos, o que representaria um esterçamento mais brusco no meio da trajetória. Isso gera uma sensação inadequada para quem dirige o veículo.

Na figura 6.7.1 podemos observar o centro de curvatura considerando pequenas velocidades, ou seja, sem escorregamento entre pneus e solo. Na figura, L é o entre eixos do veículo, “ t ” é a bitola e R é o raio de curvatura da trajetória do ponto central do eixo traseiro.

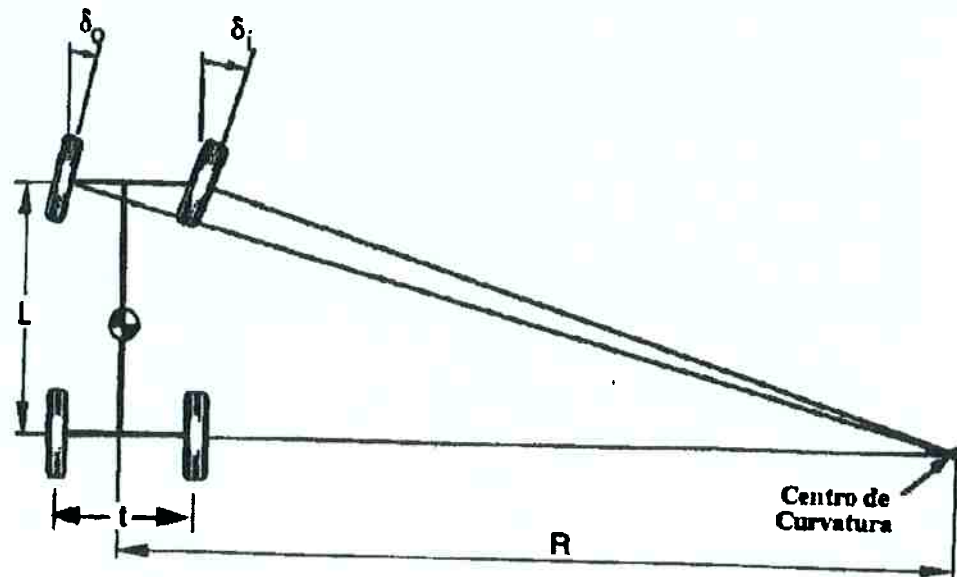


Figura 6.7.1 – Ilustração da geometria de Ackerman [Puhn, F. How to make your car handle, pg 35]

7. Estudo técnico da solução

7.1. Viabilidade Física

Para todas as análises físicas será utilizado o modelo computacional criado no software *Pro-Engineer*.

Para um melhor entendimento do conceito do eixo, alguns desenhos serão apresentados nas figuras 7.1.1, 7.1.2, 7.1.3 e 7.1.4.

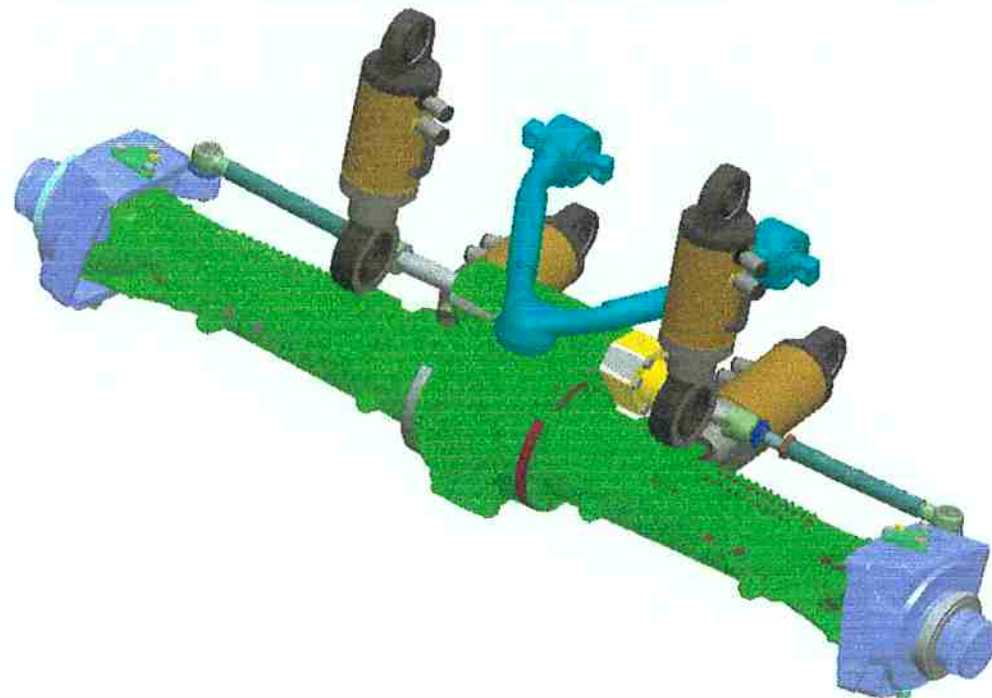


Figura 7.1.1 – Vista em 3 dimensões do eixo

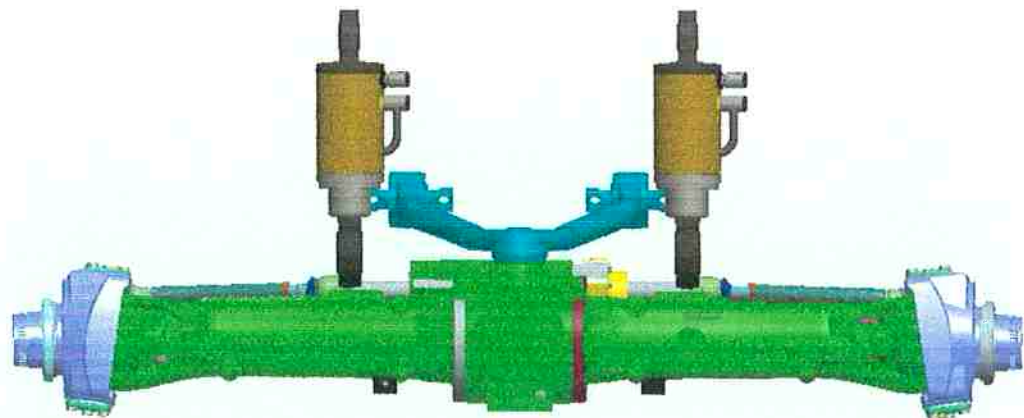


Figura 7.1.2 – Vista frontal do eixo

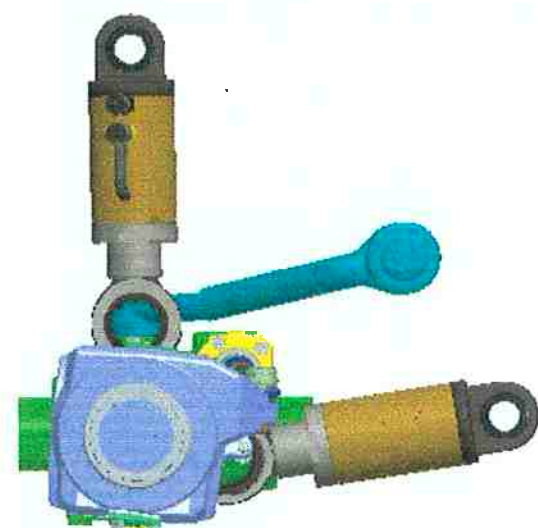


Figura 7.1.3 – Vista lateral do eixo

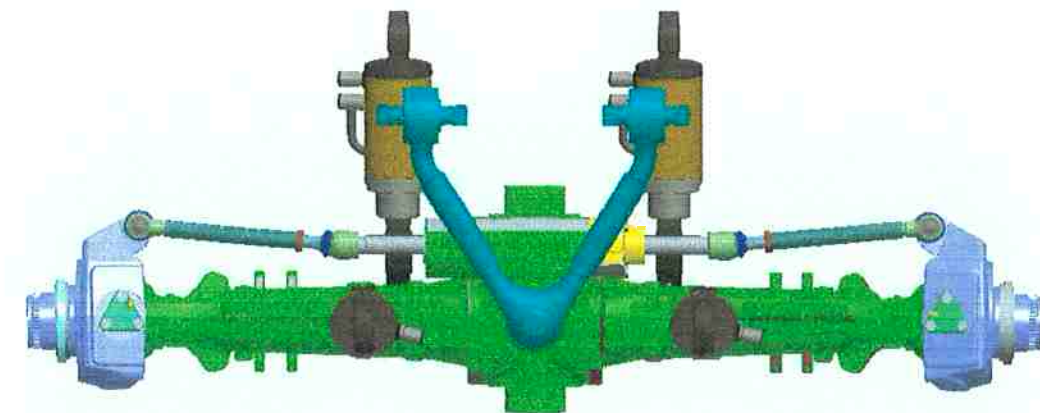


Figura 7.1.4 – Vista superior do eixo

Fisicamente é possível entender que a construção deste modelo é muito simples e não requer muitos componentes novos. Todo o modelo é baseado em um eixo de série hoje fornecido para as principais montadoras. No entanto, a análise dos ângulos principais em um modelo de eixo, tais como Cáster, Câmara, erro de Ackerman devem ser estudados, pois anteriormente esses ângulos eram fixos devido à fixação do eixo. No modelo oscilante, juntamente com esses ângulos, temos também as limitações das juntas, que podem ocasionar falhas no componente. Por isso essa atenção especial é necessária, principalmente no “V” Link.

A carcaça central do modelo deverá ter um novo ponto de fixação, ponto este localizado exatamente no centro do eixo, evitando deslocamentos indesejados quando o eixo girar em torno deste ponto. Esse conceito é muito utilizado em transportes, como por exemplo, as carretas, Bi-Trens, Rodo-Trens, etc. Tomando outro exemplo mais antigo, podemos citar as carroças, que tinham esse sistema de direção muito conhecida como esterçamento por “5^a roda”, onde todo o conjunto do eixo é direcional. O que é importante é a confiabilidade deste sistema.

Para as pontes laterais serão disponibilizados quatro novos pontos de fixação, dois para os cilindros de suspensão e outros dois para os cilindros de Sobre-Esterçamento.

A nova proposta prevê dois cilindros hidráulicos adicionais capazes de serem gerenciados eletronicamente. Muitas máquinas já são equipadas com esses cilindros, conforme visto anteriormente. Usaremos modelos convencionais para que o custo seja o menor possível. Ainda com as peças novas, também utilizaremos uma barra de fixação conhecida no mercado como “V-Link”, fornecida atualmente para veículos comerciais. Um dos fornecedores deste componente é uma das divisões da empresa ZF, a Lemförder.

Embora o conceito do eixo imponha uma restrição perante aos tamanhos dos braços de articulação (isso se deve aos diferentes tipos de interface com o veículo), ou seja, sabemos que estes braços sempre poderão variar de acordo com a necessidade do cliente. Neste sentido, temos que deixar esse estudo previamente realizado. A maneira que será estudada é com referência ao ângulo de Cáster.

É possível prever sem muitos estudos, que se temos dois pontos de articulação, com diferentes tamanhos, estes vão percorrer trajetórias distintas entre si. Na vista lateral do eixo, ver na figura 7.1.5, fica fácil de interpretar que o ângulo que será variado devido a essa condição de projeto é o Cáster:

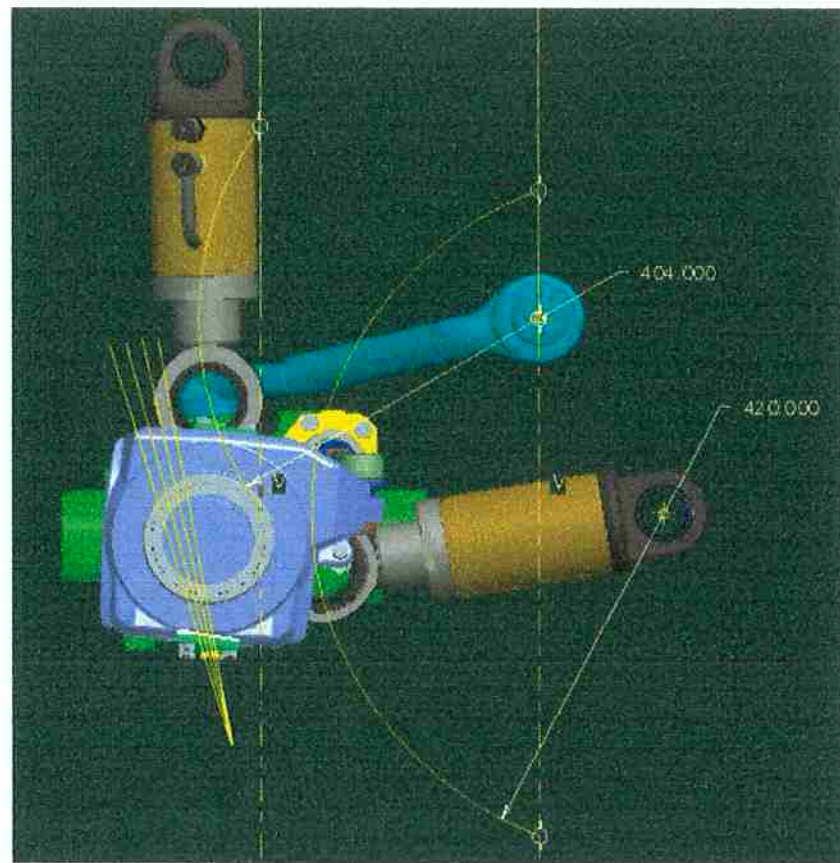


Figura 7.1.5 – Exemplo de um tipo de fixação para o eixo.

Assim podemos entender que os raios descritos nos dois pontos de fixação serão diferentes, sendo cada caso, um caso particular. E para cada um desses casos, teremos um comportamento diferente para o ângulo de Cáster. O ângulo de Cáster deixa de ser uma constante, como deveria ser ou, pelo menos, como é em todos os modelos hoje conhecidos.

8. Resultados do modelo computacional

Para a análise cinemática foi desenvolvido um modelo computacional. Entre os resultados mais esperados do modelo, temos o efeito do Super-Steer. Sabemos que todo o estudo se baseia em uma nova proposta de eixo, que deve ser, acima de tudo, funcional. Para que possa ser demonstrado o comportamento do eixo com o novo sistema de direção, compararmos o eixo sem o efeito Super-Steer (como é vendido hoje) com o Super-Steer incorporado.

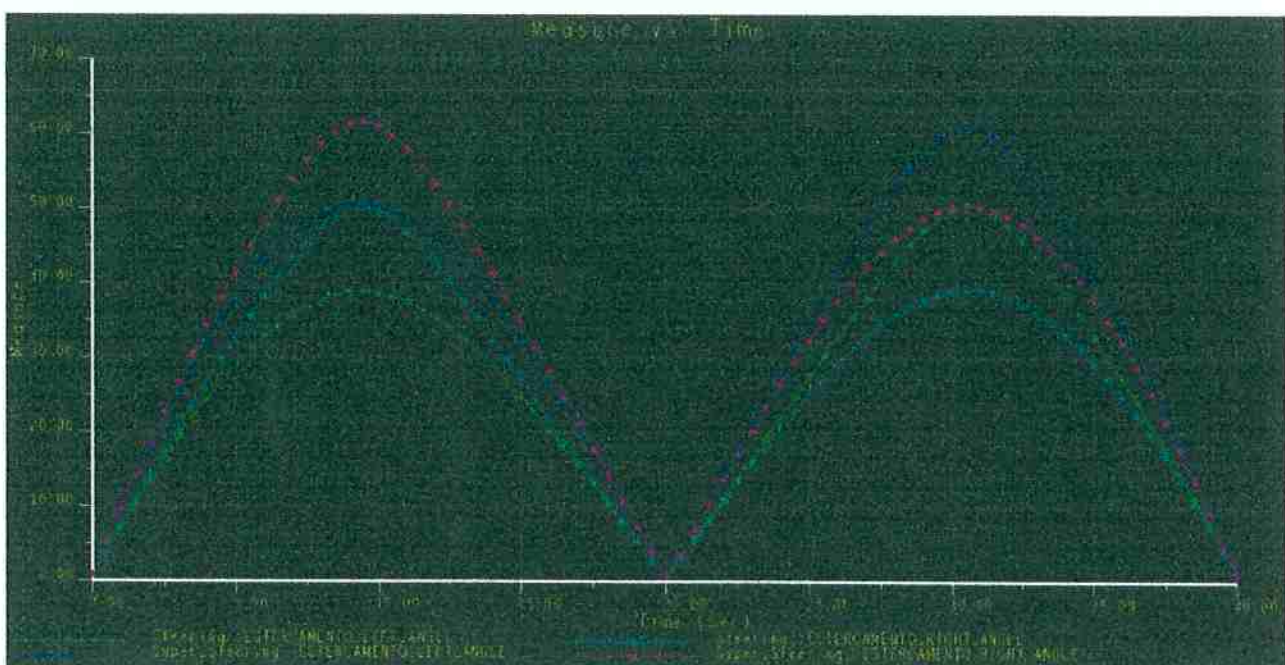


Figura 8.1 – Comparação dos dois tipos de sistema de esterçamento das rodas.

Pode-se verificar na figura 8.1 que o erro de esterçamento não é influenciado quando passamos a atuar com o sistema Sobre-Esterçamento (5^a roda). Basta compararmos as diferenças entre os picos dos dois sistemas direcionais. Sabe-se que a correção do esterçamento (Geometria de Ackerman) é uma consequência da geometria das pontas de eixo, o que não foi alterado com o novo sistema de direção. Isso mostra que o modelo

computacional não contém erros grosseiros. Essa situação favorece a continuação dos estudos do eixo.

A figura 8.2 mostra claramente a variação desfavorável do ângulo de Cáster, onde se pode observar dentro de uma oscilação do eixo, como se comporta o ângulo de Cáster em relação ao deslocamento do “V” Link (em graus).

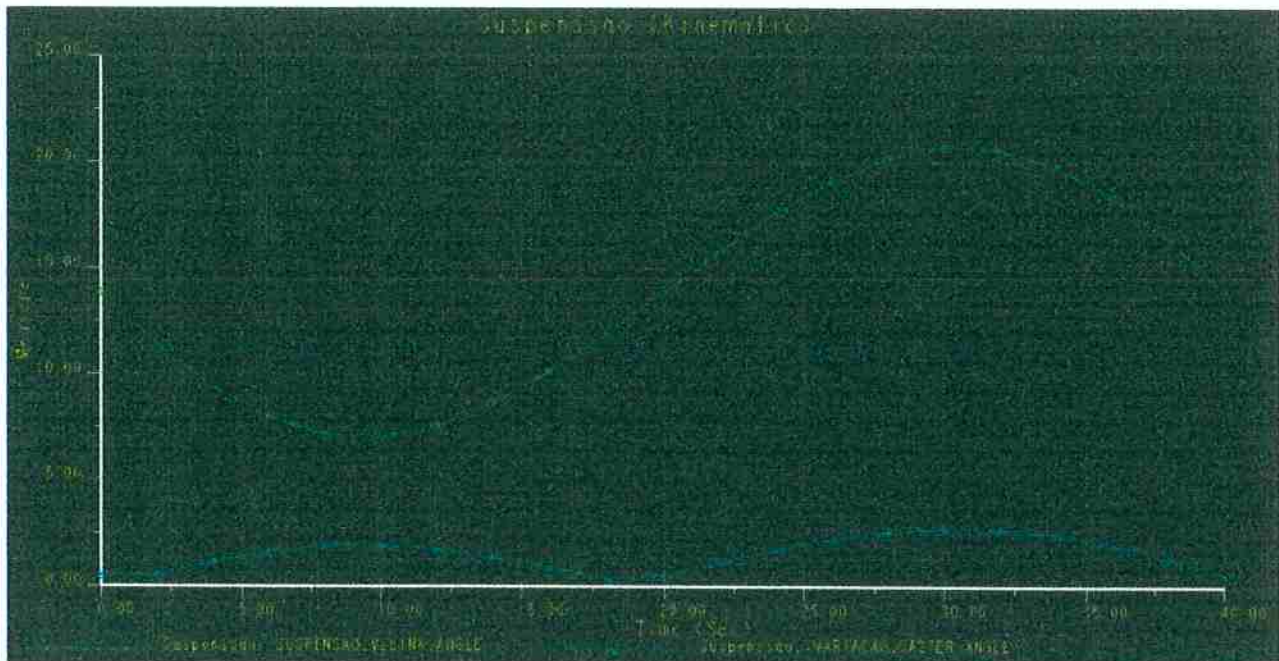


Figura 8.2 – Ilustração da variação do ângulo de Cáster em função do deslocamento do “V” Link, que inicialmente está com 13,85° neste caso.

Dentro desse panorama desfavorável, temos que considerar que o comprimento do braço inferior terá que variar de acordo com o deslocamento do eixo na direção Y, ou seja, sempre que o eixo estiver trabalhando em uma oscilação, o braço inferior deverá variar para compensar a diferença de tamanhos entre os dois braços, mantendo assim o ângulo de Cáster constante durante uma oscilação.

Mais uma análise que é necessária para o bom funcionamento do eixo é com relação aos ângulos permitidos para as articulações. Temos a restrição de 15° para cada uma das

articulações. Para esse estudo a Figura 8.3 esclarece que as juntas ainda estarão trabalhando dentro do que é permitido. Outro ponto citado é com referência ao “V” Link.

Hoje os eixos já dispõem de um sistema de batente de oscilação, o que protegeria o “V” Link. Para todos os efeitos de segurança desse importante elemento do eixo, temos ainda uma outra proteção para excesso de deslocamento deste ponto, que são os dois cilindros responsáveis pela suspensão do conjunto. Eles podem ser programados para implementar um batente hidráulico.

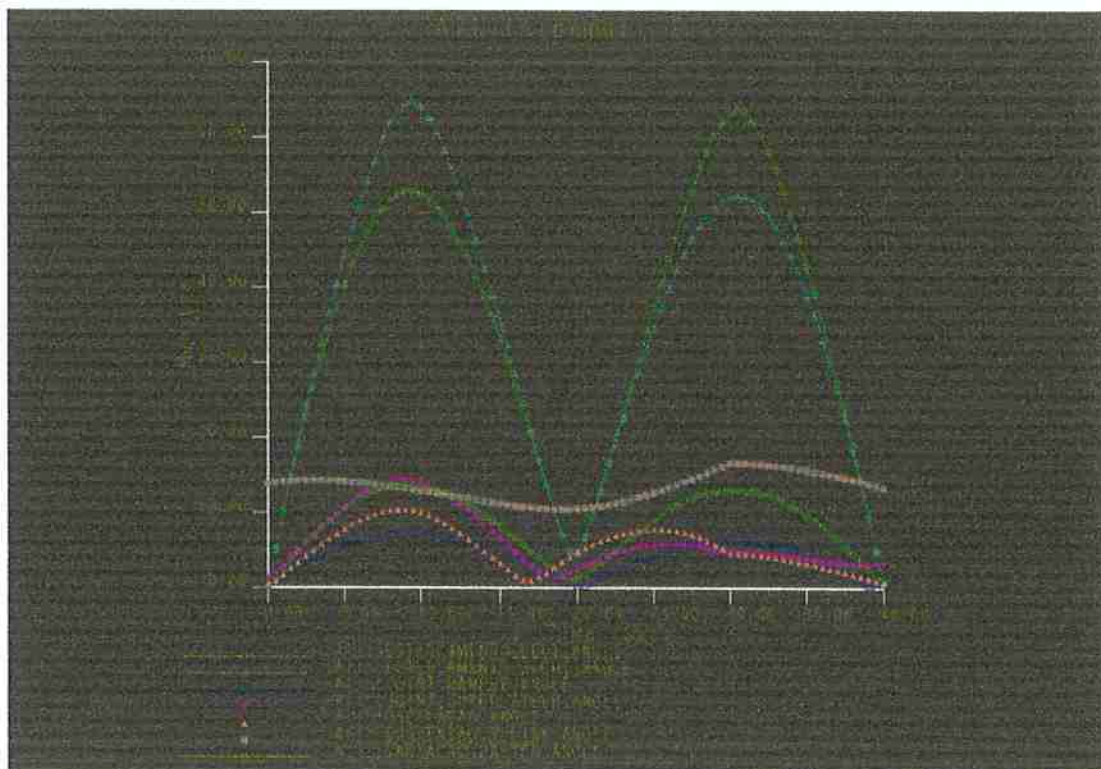


Figura 8.3 – Ilustração da pior condição para as juntas esféricas.

Com a interpretação desta figura, podemos concluir que mesmo na condição em que existem mais deslocamentos para os pontos fixados em juntas esféricas, estamos dentro da tolerância de trabalho, tendo em vista que o maior deslocamento atingiu 13º na junta do cilindro do sistema de Sobre-Esterçamento.

Para melhor compreensão do gráfico acima, foi feita uma análise separada para cada situação do eixo, ou seja, vamos analisar cada movimento do eixo e sua consequência para as juntas.

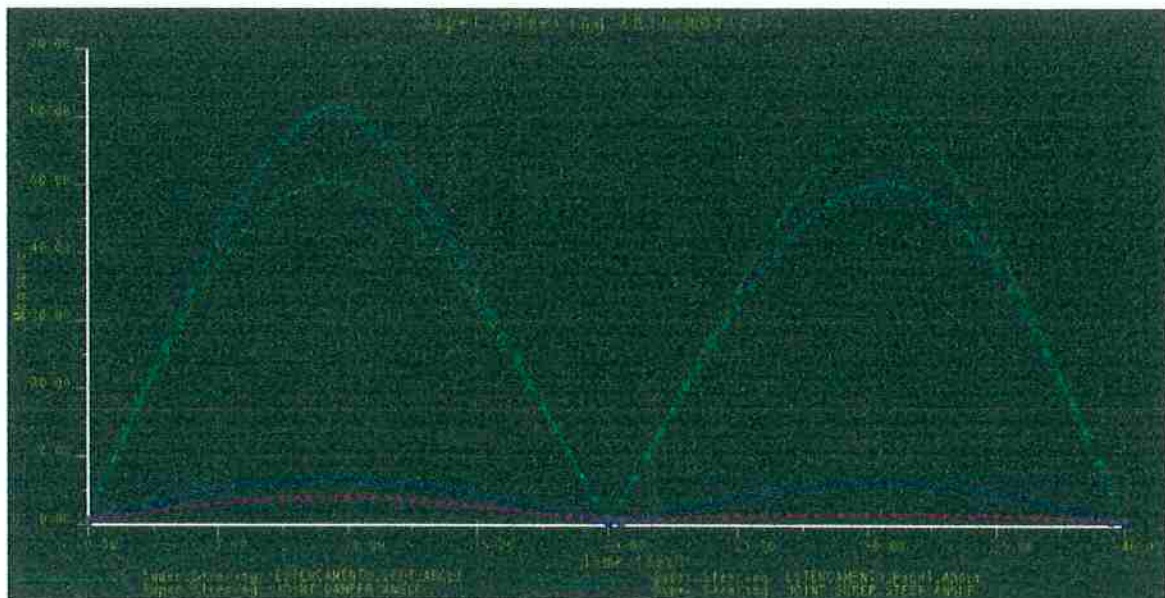
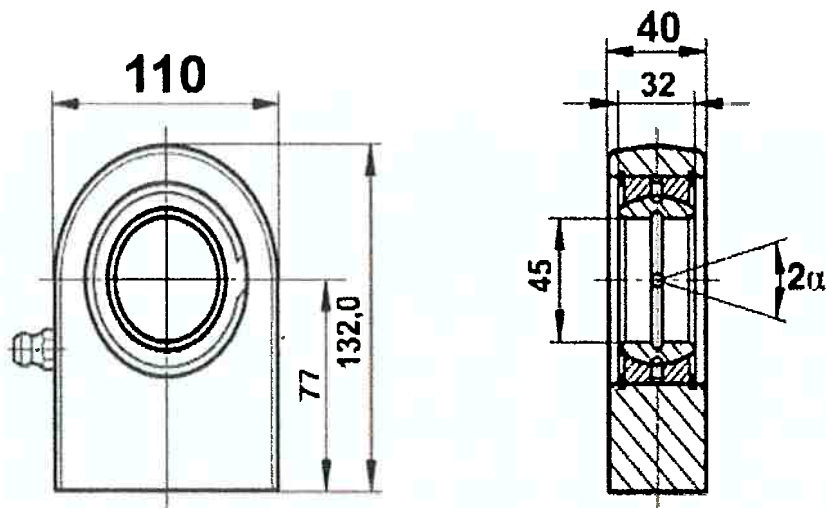


Figura 8.4 – Ilustração do Sobre-Esterçamento X juntas esféricas.

Um desenho com as principais características técnicas das juntas esféricas pode ser encontrado na figura 8.5. Neste estudo não abordaremos as forças envolvidas no projeto, mas as informações necessárias para o cálculo da junta encontram-se disponível no desenho que foi retirado da Internet no endereço www.fluro.de.



FLURO-No. FS45N

Carga estática C _s kN	Carga dinâmica C kN	Angulo de Pivotamento α
380,0	127	7

Figura 8.5 – Informações técnicas das juntas esféricas utilizadas com as suas limitações de ângulos e cargas. [disponível no endereço: www.fluro.de]

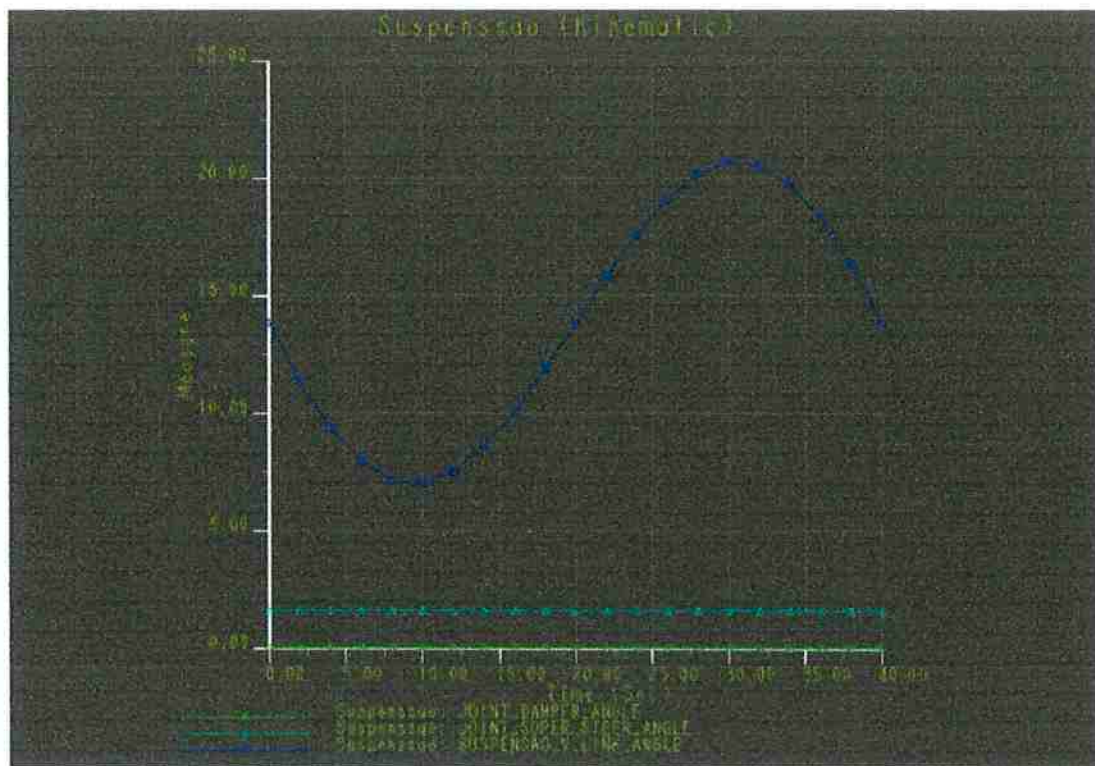


Figura 8.6 – Ilustração da suspensão do eixo (somente o V Link Trabalhando) e a consequência para as juntas esféricas.

Existe uma junta diferente das demais que é exatamente a que está fazendo o papel de 5ª roda para o eixo. Esta que está na ponta do V Link e conectada no eixo, também tem restrição quanto a movimento. Na figura 8.6 podemos constatar que esta junta (representada na figura 8.7) também trabalha dentro do aceitável que é de 13º.

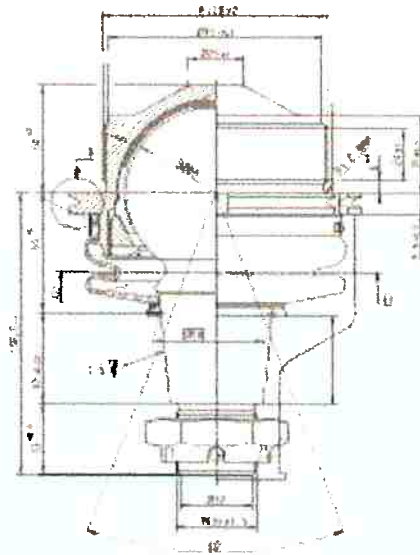


Figura 8.7 – Junta esférica da ponta do “V” Link

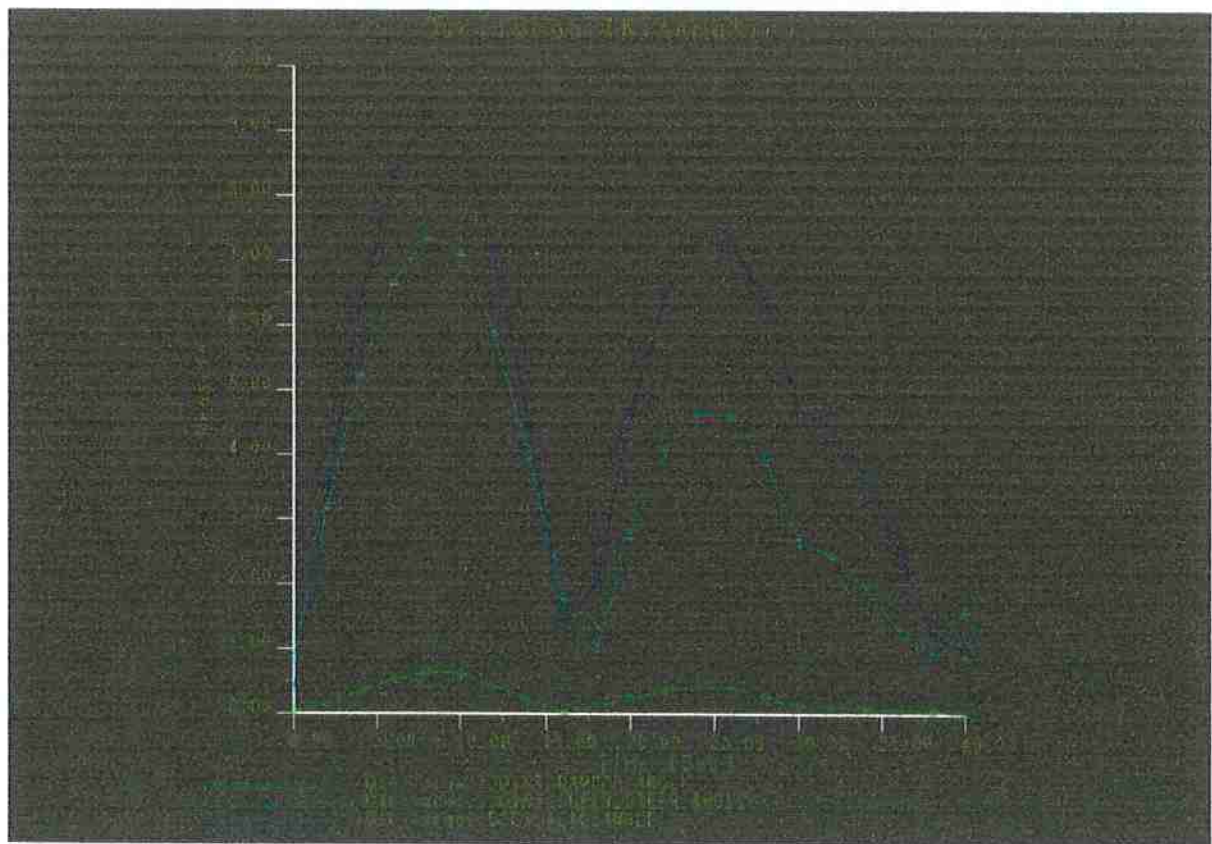


Figura 8.8 – Ilustração de uma oscilação do eixo e a consequência para as juntas esféricas.

9. Estudo das forças atuantes nos cilindros hidráulicos

Utilizando um processador de elementos finitos, foi feito uma análise preliminar das forças atuantes nos cilindros hidráulicos e no “V”-Link. Com esse modelo pode ser feita a seleção do cilindro e do “V”-Link necessários para as cargas aplicadas nos mesmos.

Para que isso se tornasse possível, um modelo correto quanto a geometria foi desenvolvido. O modelo simplificado é composto por elementos de vigas (dezoito elementos), e apenas os esforços em cada elemento tem interesse. Este capítulo servirá de base para um estudo de como o modelo está desenvolvido dentro do software, ou seja, poderemos fazer verificações dos dados de entrada e saída do *solver* comparando com os dados esperados.

Os anexos F, G e H estão as matrizes que ilustram o comportamento do eixo nas condições cinemáticas extremas (batente de suspensão superior, sobre-esterçamento e oscilação). O processador de elementos finitos realiza uma análise linear, não levando em consideração alterações geométricas decorrentes de deslocamentos grandes, quando a modificação dos ângulos já não permite a simplificação da estrutura.

$$\alpha \approx \text{sen}(\alpha);$$

Portanto, as matrizes de massa e rigidez do modelo de Elementos Finitos tem validade em torno da configuração não deformada da estrutura.

Praticamente as forças verticais serão absorvidas pelos dois cilindros de amortecimento, ficando simples escolher o cilindro mais adequado. As cargas (peso bruto do trator) podem variar de acordo com a máquina bem como os cilindros. As forças horizontais (provenientes das rodas em contato com o solo) serão absorvidas em sua maioria pelos cilindros auxiliares de direção, sendo que parte dela será aplicada no “V”-Link. A figura 9.1 demonstra uma situação de carregamento na direção Y, onde todas as cargas têm valores iguais e estão aplicadas em distâncias iguais do centro do eixo. A figura 9.2 demonstra os

esforços laterais que serão absorvidos, em sua maioria, pelo V-Link. Na figura 9.3 os esforços estão na direção Z, igualmente distribuídos e com mesma intensidade. Na análise de carregamento estático, o carregamento vertical de 8 kN em cada ponta de eixo foram suportados pela estrutura gerando esforços de compressão de 8 kN em cada cilindro vertical. O carregamento horizontal e transversal ao veículo de 2 kN aplicado numa das pontas de eixo gerou reações vinculares nas articulações que ligam o V-link ao chassis que somadas atingem 2 kN. O carregamento horizontal e longitudinal ao veículo de 7 kN em cada ponta de eixo geraram reações vinculares na ponta do V-link e nos cilindros horizontais que somadas atingiram 14 kN.

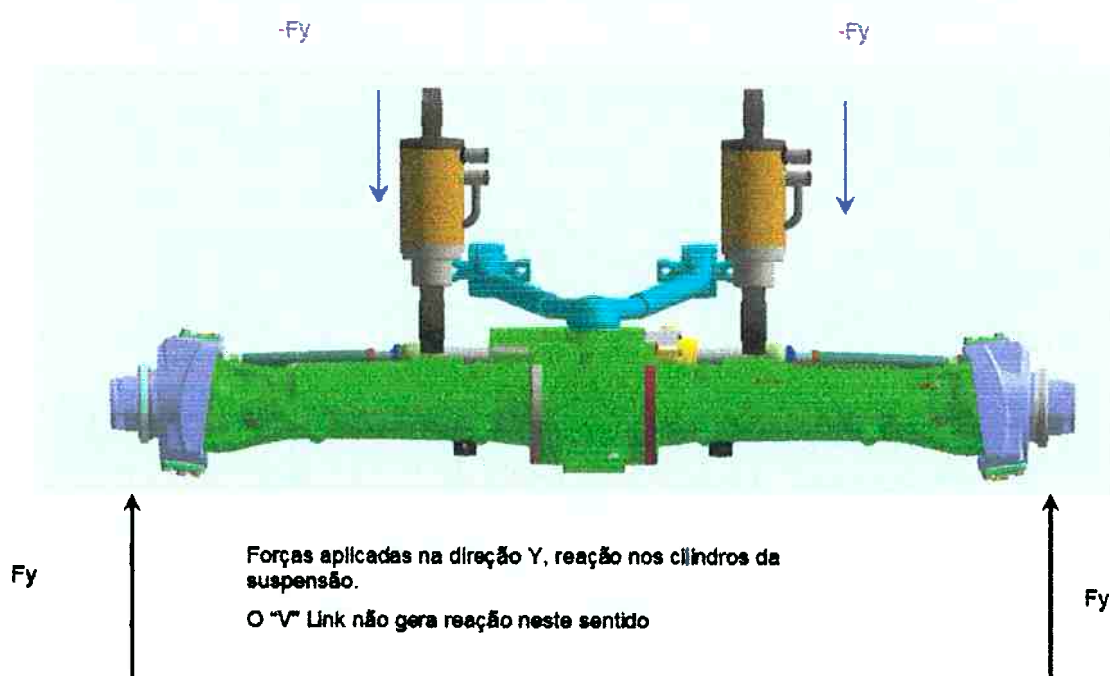
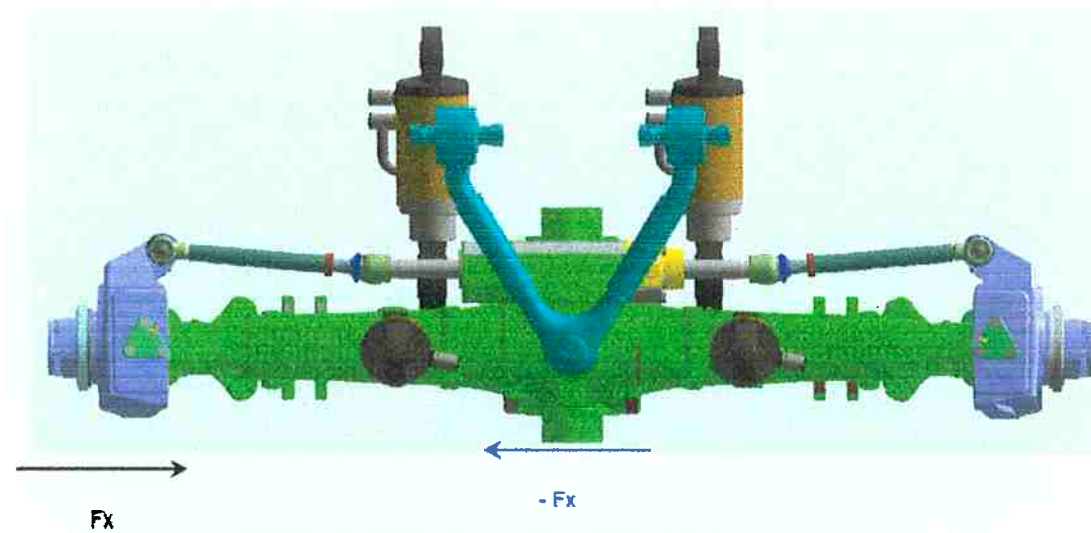


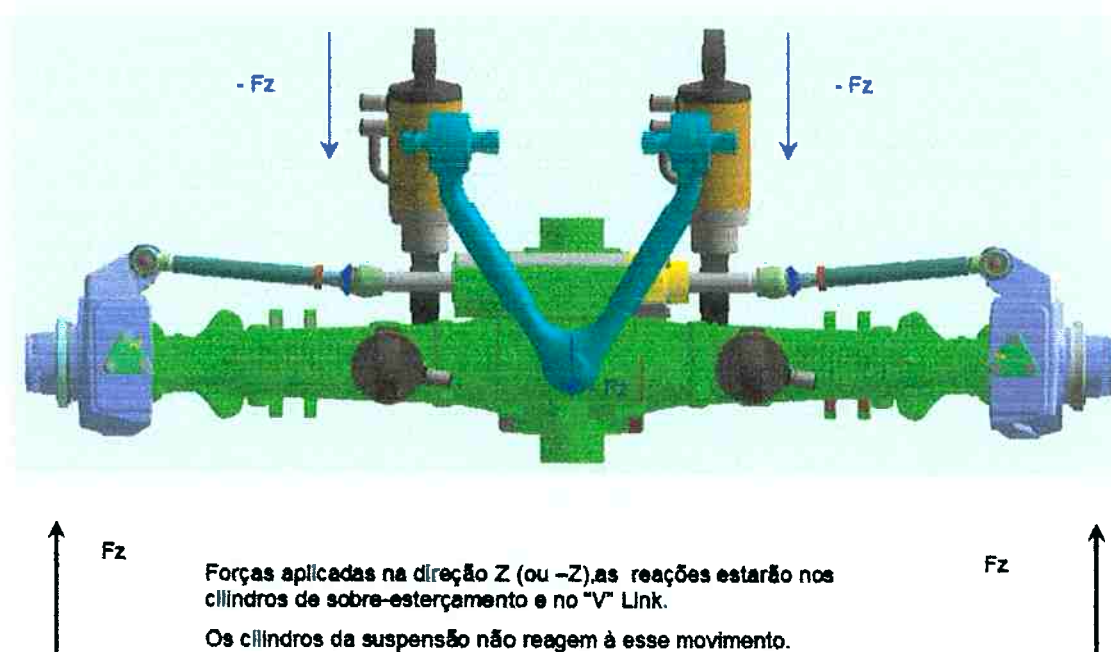
Figura 9.1 – Demonstração das cargas na direção Y



Forças aplicadas na direção X (ou $-X$), reação estará no "V" Link,
responsável por esse bloquete.

Os cilindros não reagem à esse movimento

Figura 9.2 – Demonstração das cargas na direção X



Forças aplicadas na direção Z (ou $-Z$), as reações estarão nos
cilindros de sobre-esterçamento e no "V" Link.

Os cilindros da suspensão não reagem à esse movimento.

Figura 9.3 – Demonstração das cargas na direção Z

Estruturalmente, todas as peças que são utilizadas neste eixo suspenso são hoje aplicadas em eixos oscilantes, ou seja, pode-se garantir (por meios de testes e análises feitas no passado) que o eixo é capaz de suportar as novas cargas a ele designado. Algumas ilustrações do trabalho realizado anteriormente (na fase de desenvolvimento do eixo) estão apresentadas nas figuras 9.4. e 9.5.

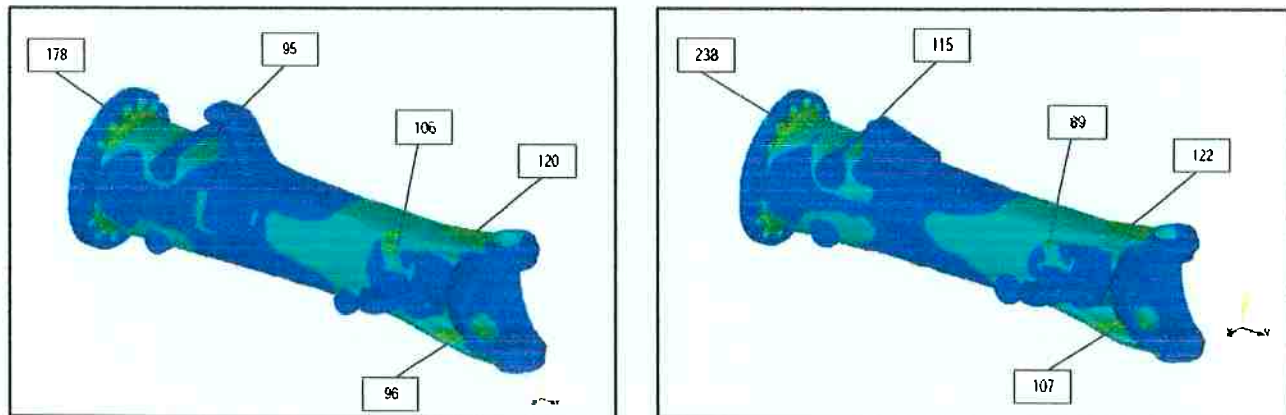


Figura 9.4 e 9.5 – Ilustram os estudos de Elementos Finitos realizados.

Um estudo feito pela ZFF prova que os eixos suspensos podem ter a sua massa reduzida, pois a energia que seria dissipada em impactos anteriormente pela estrutura, agora terá dois amortecedores que irão dissipar parte desta energia. [Gefederte Schleppvorderachse APL 2000, ZFP, 1992]. Todo o estudo é baseado em vibrações coletadas em veículos de teste e os resultados demonstram que é possível reduzir massa na ordem de 15% das pontes laterais.

Para a ilustração do modelo de Elementos Finitos criado (*Winfelt*), as figuras 9.6, 9.7 e 9.8 ilustram o posicionamento das coordenadas do eixo. Todas foram respeitadas (retiradas do modelo construído no *Pro-Engineer*), gerando assim um modelo real de massa e rigidez. Isso assegura a confiabilidade dos dados gerados pelo software. O eixo foi dividido em dezoito

elementos de viga, todos com seis graus de liberdade (R_x , R_y , R_z , M_x , M_y e M_z) entre translações e rotações.

Como resultado dessa divisão, a matriz de massa e rigidez dessa estrutura terá 108 elementos de massa e 108 de rigidez (18 elementos vezes 6 graus de liberdade).

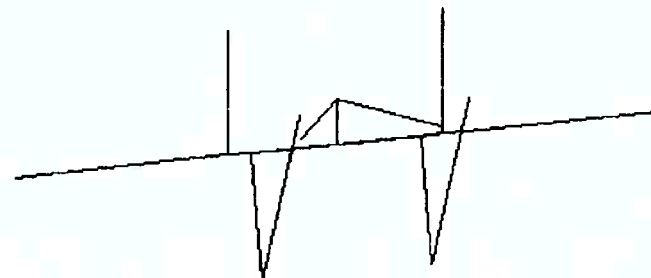


Figura 9.6 – Ilustração dos pontos analisados pelo software *Winfelt* – Oscilação

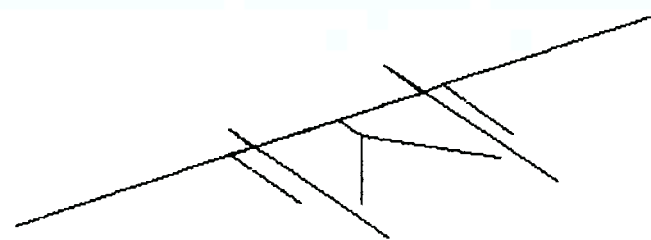


Figura 9.7 – Ilustração dos pontos analisados pelo software *Winfelt* – Super Steer

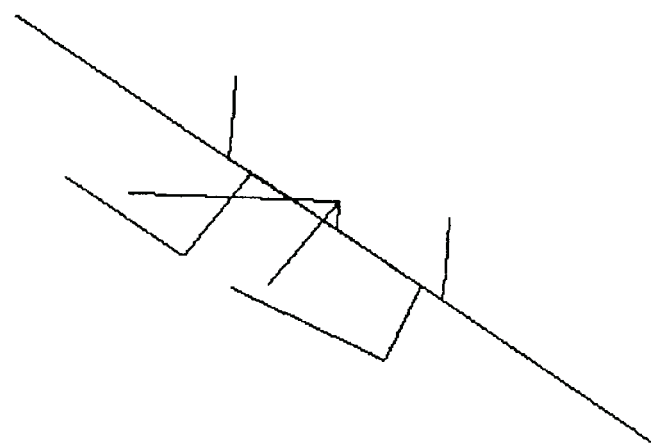


Figura 9.8 – Ilustração dos pontos analisados pelo software *Winfelt* – Batente de suspensão

10. Viabilidade de controle do eixo

Nessa etapa do projeto temos o objetivo de assegurar o controle do eixo. Como temos uma variável que não pode ser diretamente mensurada (ângulo de Cáster), temos que, por meio de um estudo de observabilidade e controlabilidade, garantir que esse mecanismo possa ser controlado.

10.1. Princípios de sistemas de controle

A idéia do sistema de controle é, por meio de um atuador (onde este pode ser mecânico, eletrônico, pneumático, etc.), intervir na resposta natural de um sistema. Ou seja, sua resposta será manipulada.

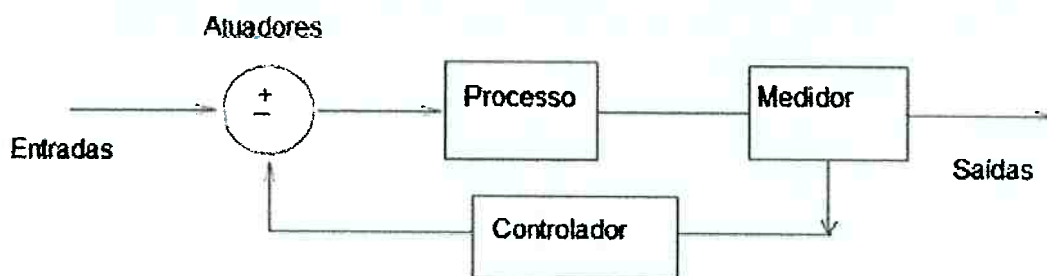


Figura 10.1.1 – Ilustração de controle automático a realimentação

10.2. Teste de controlabilidade de um sistema

Um sistema é dito controlável se for possível transferir o sistema de um estado arbitrário para outro estado desejado e arbitrário em período de tempo finito.

Considere o sistema descrito por:

$$x(k+1) = Gx(k) + Hu(k) \quad (10.2.1)$$

Onde assume-se que o controle é constante por trechos.

O sistema discreto no tempo é considerado controlável se existe uma história de controle $u(k)$ com um número finito de intervalos tal que o estado inicial $x(0)$ pode ser transferido para o estado final desejado x_f em no máximo 'n' períodos. No n-ésimo instante de tempo temos:

$$x(n) - G^n x(0) = [H \ G H \ \dots \ G^{n-1} H] \begin{bmatrix} u(n-1) \\ u(n-2) \\ \vdots \\ u(0) \end{bmatrix} \quad (10.2.2)$$

Pelo teorema de Cayley-Hamilton não adianta aumentar o número de intervalos de tempo além de n, pois G^n não irá aumentar o posto da matriz entre colchetes, doravante denominada matriz de controlabilidade.

Se o posto da matriz de controlabilidade for completo, então o sistema é dito controlável. Existem outros critérios para verificar a controlabilidade de um sistema numericamente mais estáveis.

O critério de controlabilidade empregado neste trabalho é um sistema de coeficientes constantes, para o qual a matriz A tem autovalores distintos, é completamente controlável, se e somente se, não há linhas nulas em:

$$B_n = \text{inv}(M)*B \quad (10.2.3)$$

onde M é a matriz modal de A. Essa rotina está calculada no anexo L.

10.3. Teste de observabilidade de um sistema

Considere um sistema não forçado descrito por:

$$x(k+1) = Gx(k) \quad (10.3.1)$$

$$y(k) = Cx(k)$$

O sistema é dito observável se o vetor estado inicial $x(0)$ for determinável a partir de um vetor de observação de $y(k)$ em tempo finito de intervalos. Vamos observar os primeiros n valores de $y(k)$.

$$\begin{aligned} y(0) &= Cx(0) \\ y(1) &= CGx(0) \\ \vdots &\quad \vdots \quad \vdots \\ y(n-1) &= CG^{n-1}x(0) \end{aligned} \quad (10.3.2)$$

As equações 10.3.2 podem ser agrupadas

$$\left\{ \begin{array}{c} y(0) \\ \vdots \\ y(n-1) \end{array} \right\} = \left[\begin{array}{c} C \\ CG \\ \vdots \\ CG^{n-1} \end{array} \right] x(0) \quad (10.3.3)$$

Para que o estado inicial seja determinável, é necessário que a matriz da equação (10.3.3) tenha posto completo.

$$O = \left[\begin{array}{c} C \\ CG \\ \vdots \\ CG^{n-1} \end{array} \right] \quad (10.3.4)$$

Pelo teorema de Cayley-Hamilton não adianta estender o número de observações por que G_n não irá alterar o posto da matriz de observabilidade. Define-se a matriz da equação 10.3.3 como matriz de observabilidade e o sistema será observável se ela tiver posto completo.

A partir do modelo de elementos finitos, equação 10.3.5

$$\ddot{\mathbf{M}\mathbf{d}} + \mathbf{K}\mathbf{d} = \mathbf{f} \quad (10.3.5)$$

Pode-se determinar as matrizes \mathbf{A} e \mathbf{B} do sistema de controle. Inicialmente isola-se o vetor de acelerações conforme a equação 10.3.6

$$\ddot{\mathbf{d}} = -\mathbf{M}^{-1} \mathbf{K} \mathbf{d} + \mathbf{M}^{-1} \mathbf{f} \quad (10.3.6)$$

A seguir defini-se o vetor estado:

$$\mathbf{x} = \begin{bmatrix} \mathbf{d} \\ \dot{\mathbf{d}} \end{bmatrix} \quad (10.3.7)$$

O sistema pode ser representado no espaço dos estados conforme a equação 10.3.8. E de forma mais compacta conforme a equação 10.3.9.

$$\begin{bmatrix} \dot{\mathbf{d}} \\ \ddot{\mathbf{d}} \end{bmatrix} = \begin{bmatrix} 0 & 1 \\ -\mathbf{M}^{-1} \mathbf{K} & 0 \end{bmatrix} \begin{bmatrix} \mathbf{d} \\ \dot{\mathbf{d}} \end{bmatrix} + \begin{bmatrix} 0 \\ \mathbf{M}^{-1} \end{bmatrix} \mathbf{f} \quad (10.3.8)$$

$$\dot{\mathbf{x}} = \mathbf{Ax} + \mathbf{Bf} \quad (10.3.9)$$

O sistema de coeficientes constantes, para o qual a matriz A tem autovalores distintos, é completamente observável se, e somente se, não há colunas nulas na matriz

$$C_n = C^*M \quad (10.3.10)$$

onde M é a matriz de auto-vetores de A. [Brogan, W] Anexo M. Os resultados podem ser encontrados no anexo N.

10.4. Sistema de controle para o eixo

Depois de assegurar que o ângulo de Cáster é realmente observável e controlável, é que será definida a estratégia de controle para o eixo. A teoria de controle assegura a existência de estratégia de controle conforme a equação 10.3.9.

Um modelo de vigas de elementos finitos foi desenvolvido, para que fossem geradas as matrizes de controlabilidade e observabilidade do sistema proposto. [Anexos I, J, K]

As matrizes de análise para os três modelos propostos encontram-se nos anexos F, G e H. Respectivamente simulando batente de suspensão; sobre-esterçamento; oscilação.

A patente ainda visa um controle variável de ângulo de Cáster. Esse efeito foi acrescentado no controle do eixo devido a um simples fator: o veículo tem duas funções bastante distintas - o trabalho; e o deslocamento até o trabalho. Com a possibilidade de variar o ângulo de Cáster, podemos otimizar o ângulo de Cáster para cada função. Sabemos que o ângulo de Cáster é o gerador do torque de auto-alinhamento do veículo. Para o trabalho é interessante um ângulo de Cáster maior, o que manterá melhor o veículo na sua direção. Já para o deslocamento, podemos diminuir o ângulo para diminuir os esforços no sistema de direção.

11. Cilindros de suspensão com dupla ação

Esses cilindros são hoje fornecidos para as grandes montadoras, e em breve seu funcionamento será descrito.

Os cilindros são componentes que viabilizam o mecanismo. Estes possuem dupla atuação, ou seja, na compressão e na expansão. Possuem reservatórios de óleo que possibilitam prescindir as molas helicoidais ou de qualquer outro tipo. Esses reservatórios são colocados com gerenciadores para controle de fluxo, variando assim a ação dos cilindros.

O corpo de válvulas responsável pelo gerenciamento da ação dos cilindros de suspensão pode ser observado na figura 11.1.



Figura 11.1 – Corpo de válvulas para gerenciamento da suspensão.

O desenho de instalação dos cilindros hidráulicos utilizados no estudo, todos fornecidos pela Ognibene, também pode ser encontrado na figura 11.2 a seguir.

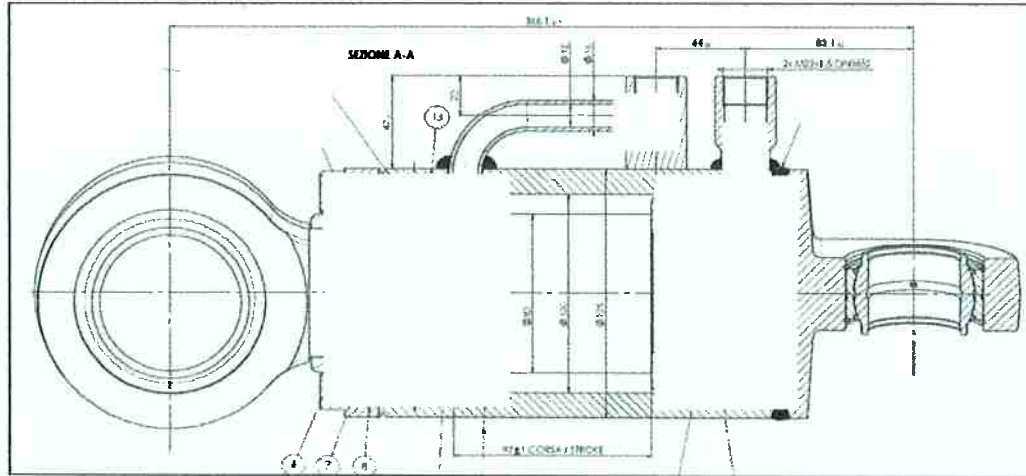


Figura 11.2 – Cilindro de dupla ação fornecidos pela Ognibene.

Um exemplo de como é instalado o cilindro que estamos descrevendo pode ser observado na figura 11.3, bem como um possível esquema hidráulico de sua instalação na figura 11.4.

Uma breve descrição de como pode trabalhar a suspensão: uma possível maneira de instalação para o eixo proposto, onde a bomba hidráulica (P) gera uma pressão para os cilindros de suspensão (CYL-L, CYL-R) e para os três acumuladores de pressão (ACC, ACCL e ACCR). As válvulas e também as válvulas de restrição (SVL, SVR, VM, WV e DIS) de fluxo estão todas montadas no bloco de válvulas ilustrado anteriormente. Os reservatórios de pressão trabalham como atuadores que determinam a constante da mola (sempre variável) e também o nível indicado para a suspensão. O sensor de posição (LS) registra o nível da suspensão, este está monitorado por um software, e será capaz de ajustar as válvulas para o controle do curso dos cilindros.



Figura 11.3 – Modelo de suspensão da Jonh Deere. Detalhes dos cilindros de suspensão com os acumuladores de pressão responsáveis pelo gerenciamento da suspensão.

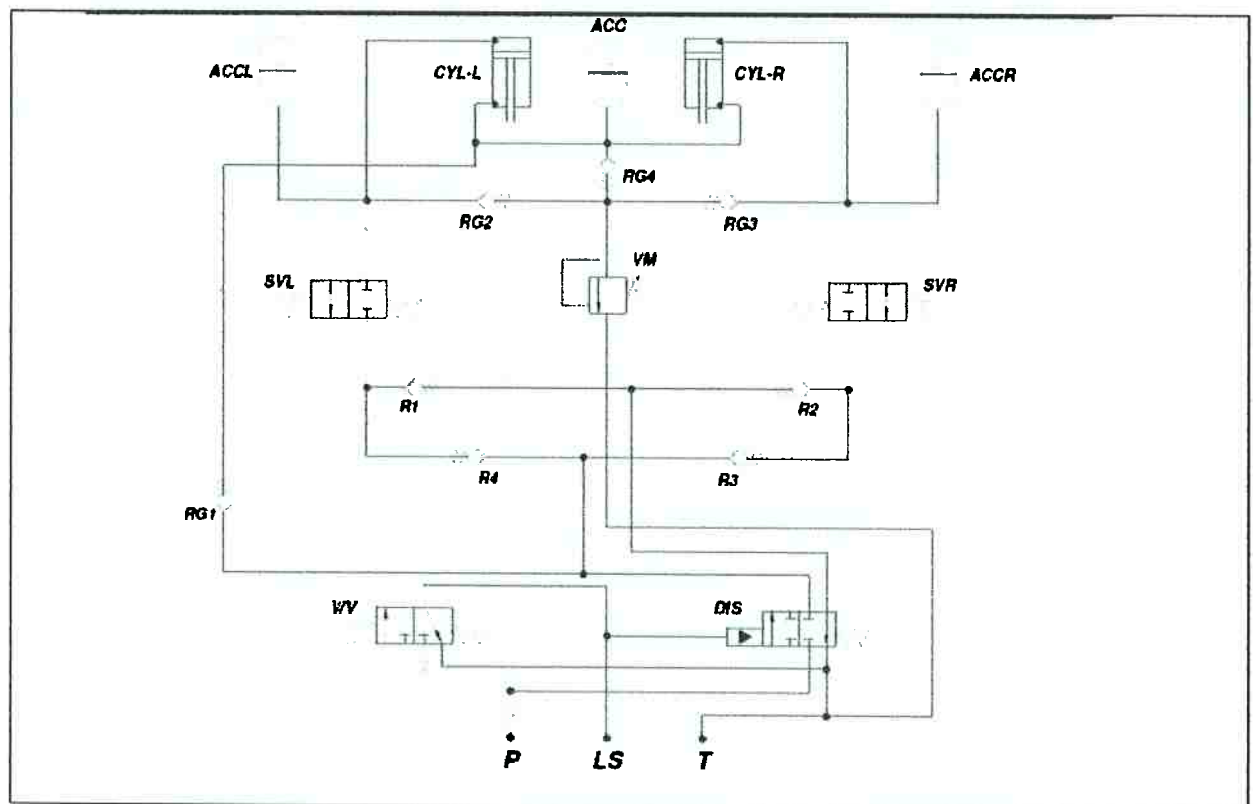


Figura 11.4 – Ilustração de um possível esquema hidráulico para o sistema

Um exemplo de gerenciamento de hidráulica, está representado na figura 11.5, utilizado em um eixo da Carraro.

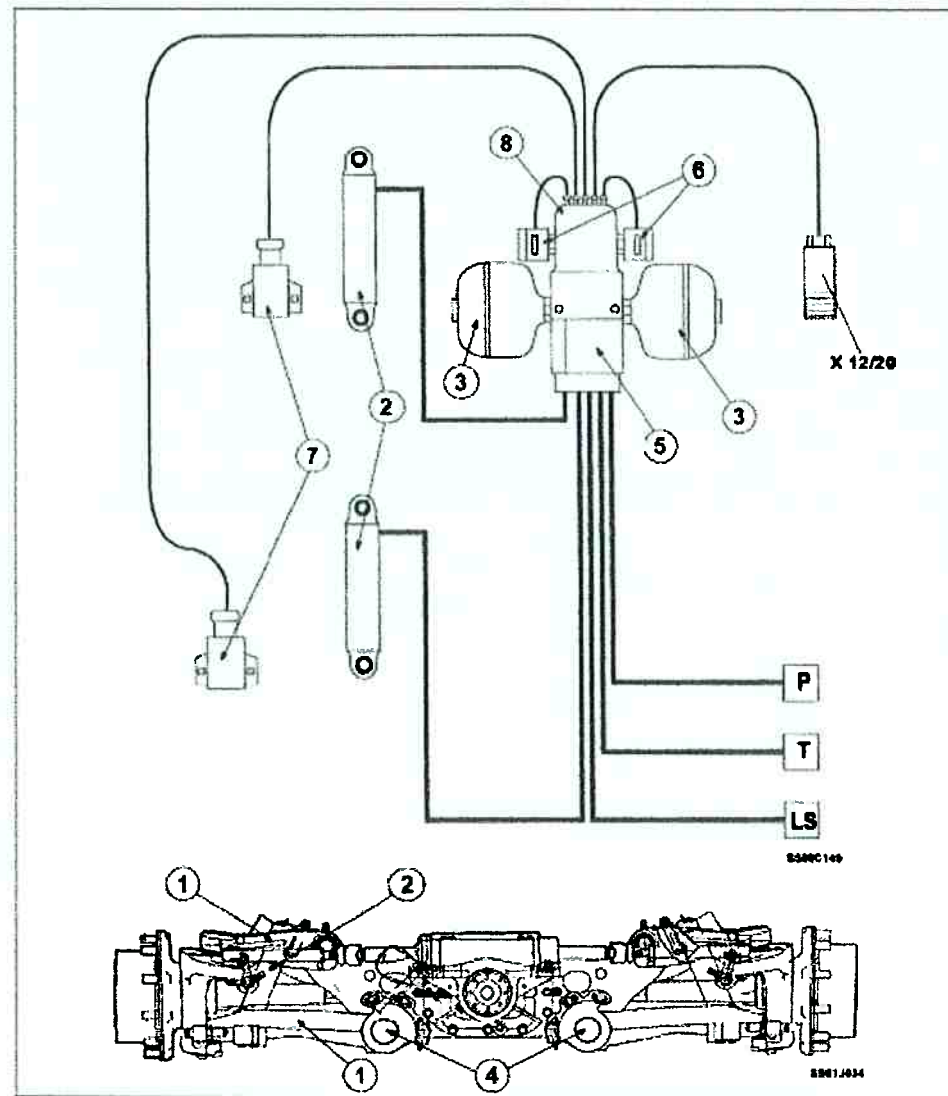


Figura 11.5 – Modelo extraído da Carraro

- | | |
|----------------------------|--------------------------------|
| 1- Braços de suspensão | 5- Comando hidráulico |
| 2- Cilindro Hidráulico | 6- Válvulas solenóide |
| 3- Reservatório hidráulico | 7- Sensor de ângulo de rotação |
| 4- Barras de torção | 8- Módulo eletrônico |

12. Proposta para redução de custos

Com um mercado tão competitivo, o conceito apresentado nesta dissertação, pode se tornar algo que o mercado não esteja preparado para absorver diretamente. Pensando nisso, com a utilização dos mesmos componentes, pode-se oferecer o eixo suspenso sem o sistema de Super-Steer. Seria então oferecido um eixo sem os dois cilindros que atuam no sobre-estriçamento. Juntamente com essa opção, pode-se ainda viabilizar o uso de cilindros de suspensão sem o gerenciamento eletrônico, isso tornaria o eixo menos oneroso para o consumidor final, tendo em vista que a parte eletrônica ainda é a mais cara da patente. Agora o ângulo de Cáster passa a ser constante.

Pode-se comparar com outras aplicações veiculares, que também trabalham exatamente desta forma, podemos citar o Jeep JPX, a Dodge Ram 1500 4x4, o Jeep Willis 4x4 e o Troller 4x4. Todos possuem fixação no eixo dianteiro com barras alocadas na parte inferior (cilindros no Super-Steer) e feixes de mola na parte superior (também usamos cilindros no eixo). Em nenhum desses exemplos, estão presentes barras para fixação do eixo no sentido longitudinal (como a Panhard, 4 points link ou mesmo o V link), diferentemente desta proposta que terá o V-Link para tal fixação.

Para ilustração, igualmente foi desenvolvido um modelo cinemático dentro do software para melhor entendimento do conceito proposto para redução de custos, veja as figuras 12.1 até 12.3.

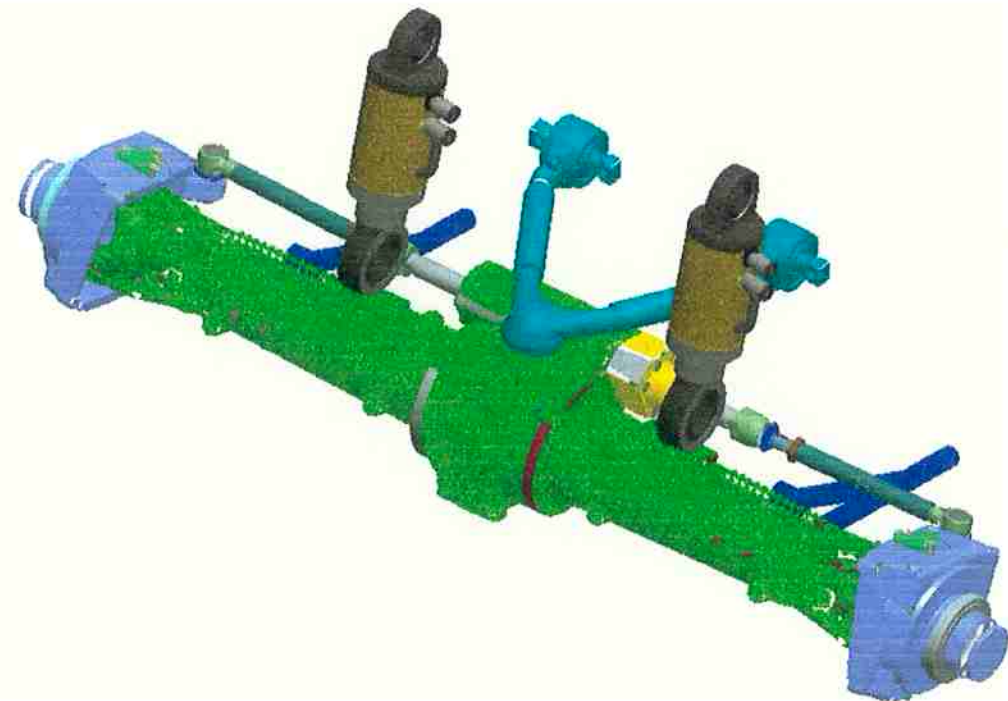


Figura 12.1 – Ilustração das novas barras de fixação traseira do eixo

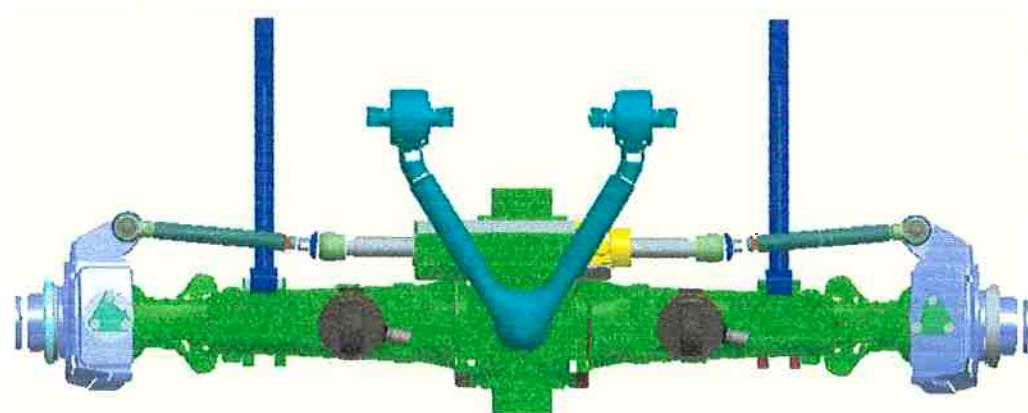


Figura 12.2 – Vista de topo do eixo suspenso sem sobre-esterçamento.

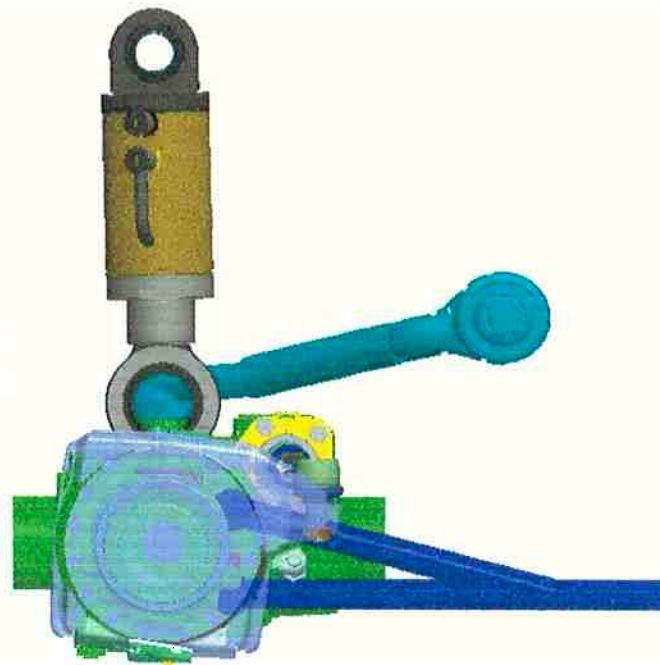


Figura 12.3 – Vista lateral do eixo sem sobre-esterçamento

Dos veículos citados como usuários desse tipo de fixação, alguns exemplos também podem ser encontrados posteriormente nas figuras 12.4 e 12.5.



Figura 12.4 – Veículo Willis montando o eixo dianteiro. Pode-se observar claramente as barras de ancoragem do eixo



Figura 12.5 – Fotos tiradas de um eixo dianteiro de Troller 4x4

Com toda a pesquisa feita em veículos normais de linha, podemos entender que esse tipo de suspensão é muito bem difundida e utilizada, mostrando que o eixo pode ser promissor no mercado que visa atender, desde de que com a redução de custo necessária.

13. Análise dos resultados obtidos

Da análise de carregamento estático pode-se afirmar que a estrutura e o modelo da estrutura tem comportamento hiperestático e erros grosseiros de modelo ou de projeto estão descartados.

A soma das linhas da matriz $\text{inv}(M)*B$, eq. (10.2.3), apresentada no anexo L revela que utilizar quatro cilindros como atuadores permite controlar todos os modos da estrutura, inclusive 102 modos vibratórios que não necessariamente teriam que ser controlados, visto que apenas seis modos de movimento de corpos rígidos, três translações e três rotações do eixo dianteiro, se referem ao problema de esterçamento. A utilização dos quatro cilindros nas fixações de projeto tem controlabilidade atestada pelo critério apresentado no anexo L.

A soma das linhas da matriz CM da eq. 10.3.10, apresentada no anexo N, revela valores todos diferentes de zero, atestando a observabilidade de todos os modos de vibração da estrutura, incluindo 102 modos que não necessariamente teriam que ser observados, visto que apenas 6 modos, três rotações e três translações, associados a movimentos de corpo rígido do eixo dianteiro devem necessariamente ser observados no problema de esterçamento. Portanto, todos os modos de vibração da estrutura são observáveis. Apenas os doze primeiros modos da matriz M precisam ser observáveis no problema de esterçamento. Apenas os doze primeiros elementos do vetor soma precisam ser diferentes de zero.

14. Comentários Finais

Foi proposto um mecanismo de sobre-esterçamento de uma máquina agrícola. A viabilidade física do mecanismo de sobre-esterçamento foi verificada sob o ponto de vista cinemático, sob o ponto de vista de controlabilidade, sob o ponto de vista de observabilidade e sob o ponto de vista de carregamentos estáticos. As forças nos cilindros necessárias para resistir carregamentos preliminares (estas verificadas na prática, ou seja, utilizando os componentes que são de série em eixos com mesma capacidade de carga), estando dentro de limites admissíveis dos cilindros comerciais, bem como os ângulos máximos permitidos das juntas esféricas. É necessário traçar a estratégia de controle para o eixo e suas atribuições específicas em estudos posteriores. A segurança em caso de falha de componentes deve ser estudado, ou seja, como deve reagir o sistema: travar os cilindros de sobre-esterçamento, inibir a suspensão ou parar a máquina. Todo esse estudo deve ser levado em consideração junto com o fabricante do equipamento e com a legislação do país em que será fornecida a máquina.

A proposta consiste em realizar o esterçamento em dois estágios com limites de velocidade. A máquina terá a possibilidade de girar o eixo completo somente até 13km/h, velocidade máxima utilizada hoje para realização de trabalhos no solo. Isso torna a dinâmica da máquina inalterada em altas velocidades onde poderia gerar alguma dificuldade dinâmica.

A variação do ângulo de Cáster pode ser efetivamente anulada através de controle ativo do comprimento dos 4 cilindros uma vez que o sistema possui controlabilidade e observabilidade.

15. Referências:

Brasil. ANFAVEA. Anuário Estatístico da Indústria Automobilística Brasileira.
São Paulo: Anfavea, 2006.

Brunstein, I. **Economia de Empresas**. São Paulo, Brasil – Editora Atlas S.A.:2005.

Castrucci, P. **Contrôle automático: teoria e projeto**. São Paulo, Brasil – Editora Edgard Blücher Ltda: 1969.

Brogan, W. **Modern Control Theory**. Eglewood Cliffs, New Jersey – Prentice Hall, 3rd Edition: 1991

Logan, D. L. **A fisrt course in the Finite Element Method 3rd edition**. Asia, Bangladore - Thomson books/cole, 2004.

Gillespie, T. D. **Fundamentals of vehicle dymanics** Ed. Society of automotive Engineers, Inc. – Warrendale PA, 1992.

Kaminski, C.P. **Desenvolvendo produtos com planejamento, criatividade e qualidade**. LTC Editora – Rio de Janeiro, RJ: 2000.

Madureira, O. M. de. **Projeto de Mecanismos**. São Paulo – Escola Politécnica, Universidade de São Paulo: 1975.

Puhn, F. **How to make your car handle**. Los Angeles – HP Books, California USA: 1981.

Wellstead, E.P.;Zarrop, B.M. **Self-tuning systems** – Baffins Lane, Chichester, England: 1991.

EUROPEAN PATENT SPECIFICATION. **A suspension system with an oscillating, rigid axle, particularly for tractors**. 99119479.6, 05 Setembro 2003.

EUROPEAN PATENT APPLICATION. **Compound steering mechanism**. 03016785.2, 10 março 2004.

EUROPEAN PATENT APPLICATION. Oscillations stops for tractors with compound steering mechanism. 93202935.8, 20 Outubro 1993.

EUROPEAN PATENT APPLICATION. Compound steering mechanism with front mounted implement attachment apparatus. 94201371.5, 16 Maio 1994.

EUROPEAN PATENT APPLICATION. Tie rod configuration for compound steering mechanism. 94201369.9, 16 Maio 1994.

UNITED STATES PATENT. Steering mechanism for tractors. 490245, 8 Março 1990.

UNITED STATES PATENT. Compound steering mechanism. 61470, 17 Maio 1993.

BOOK ANNOUNCEMENT 15 DECEMBER 2006. Produced by Wikimedia Foundation, Inc. Disponivel em <[http://en.wikipedia.org/wiki/Suspension %28vehicle%29](http://en.wikipedia.org/wiki/Suspension_%28vehicle%29)>. Acesso em 15/12/2006.

BOOK ANNOUNCEMENT 15 DECEMBER 2006. Produced by Wikimedia Foundation, Inc. Disponivel em <http://pt.wikipedia.org/wiki/Suspens%C3%A3o_automotiva>. Acesso em 15/12/2006.

BOOK ANNOUNCEMENT 15 DECEMBER 2006. Produced by Robert Q. Riley Enterprises, LLC. Disponivel em <<http://www.rqriley.com/suspensn.htm>>. Acesso em 15/12/2006.

BOOK ANNOUNCEMENT 15 DECEMBER 2006. Produced by Off-Road Direct. Disponivel em <<http://www.offroaddirect.com/tech.htm>>. Acesso em 15/12/2006.

BOOK ANNOUNCEMENT 15 DECEMBER 2006. Produced by FreePatentsOnline.com Disponivel em <<http://www.freepatentsonline.com/6729207.html>>. Acesso em 15/12/2006.

BOOK ANNOUNCEMENT 15 DECEMBER 2006. Produced by Ognibene.com Disponivel em <http://www.ognibene.com/eng/frset_01.htm> Acesso em 15/01/2007.

BOOK ANNOUNCEMENT 01 APRIL 2007. Produced by Fluro.de Disponivel em <<http://www.fluro.de/Products.htm>>. Acesso em 01/04/2007.

Achsaufhängung mit einer lenkbaren Radachse

Die Erfindung betrifft eine Achsaufhängung mit einer lenkbaren Radachse nach der im Oberbegriff von Anspruch 1 näher definierten Art.

Gattungsgemäße Achsaufhängungen werden insbesondere in landwirtschaftlichen Fahrzeugen, wie beispielsweise Ackerschleppern, eingesetzt. Hierbei ist es wesentlich, einen möglichst kleinen Wendekreis für das Fahrzeug zu erreichen.

Die WO 89/07545 A1 offenbart eine Achsaufhängung mit einer lenkbaren Radachse, bei welcher die Radköpfe im Sinne einer Lenkbewegung verdrehbar an der Achsbrücke angelenkt sind, und zusätzlich die Achsbrücke um einen Drehpunkt am Ende des Schublenkers verdrehbar ist. Dadurch ist es möglich, einen verringerten Wendekreis zu schaffen.

Der vorliegenden Erfindung liegt die Aufgabe zugrunde, eine Achsaufhängung mit einer lenkbaren Radachse zu schaffen, welche sich durch einen einfachen Aufbau und einen geringen Wendekreis für das Fahrzeug auszeichnet.

Die Aufgabe wird mit einer, auch die kennzeichnenden Merkmale des Hauptanspruchs aufweisenden, gattungsgemäßen Achsaufhängung gelöst.

Erfindungsgemäß weist die Achsaufhängung eine Radachse auf, bei welcher zwei Radköpfe im Sinne einer Lenkbewegung drehbar an der Achsbrücke angelenkt sind und auf der Achsbrücke ein Drehpunkt angeordnet ist, um welchen die Achsbrücke zusätzlich drehbar ist. Vorzugsweise ist der Drehpunkt mittig zwischen den Radköpfen angeordnet.

In einer Ausgestaltungsform der Erfindung ist ein V-förmiger Lenker drehbar mit dem Drehpunkt verbunden und zusätzlich drehbar an einem Fahrzeugrahmen des Fahrzeugs befestigt. Zwei hydraulische Zylinder sind einerseits mit einem Fahrzeugrahmen und andererseits mit der Achsbrücke verbindbar, wodurch die Achsbrücke um den Drehpunkt drehbar ist.

Es besteht auch die Möglichkeit, nur einen Lenkzylinder in Form eines doppelt wirkenden Lenkzylinders oder einen Lenkzylinder in Verbindung mit einer Feder zur Erzeugung der Rückstellkraft zu verwenden. Soll die Fahrzeugachse als gefederte Achse ausgeführt sein, so besteht die Möglichkeit, mittig zwischen den Radköpfen einen hydraulischen Federzylinder oder zwei auf der Achsbrücke angeordnete, von der Mitte der Achsbrücke beabstandete Federzyliner anzuordnen.

In einer weiteren Ausgestaltungsform der Erfindung besteht die Möglichkeit, die beiden hydraulischen Zylinder zur Verdrehung der Achsbrücke zu blockieren oder durch zwei in ihrer Länge nicht veränderbare Stäbe zu ersetzen, wodurch ohne weiteren Aufwand eine Achsaufhängung geschaffen wird, bei welcher nur die Radköpfe lenkbar sind.

Weitere Merkmale sind der Figuren-Beschreibung zu entnehmen.

Die einzige Figur zeigt eine Achsaufhängung mit einer Achsbrücke 1, an deren Enden Radköpfe 2 drehbar angelenkt sind. Ein Lenkzylinder 3 ist über Spurstangen 4 mit den Radköpfen 2 verbunden, wodurch die Radköpfe 2 im Sinne einer Lenkbewegung verdrehbar sind. Ein Drehpunkt 5 ist mittig zwischen den Radköpfen 2 angeordnet, wodurch ein V-förmiger Lenker 6 drehbar mit der Achsbrücke 1 verbunden ist. Der V-förmige Lenker 6 ist einerseits mit dem Drehpunkt 5 und andererseits mit seinen Enden 7 mit einem nicht dargestellten Fahrzeugrahmen verbunden. Zwei Federzylinder 8 sind mit der Achsbrücke 1 und dem nicht dargestellten Fahrzeugrahmen verbunden. Federn die

Federzylinder 8 ein, so bewegt sich die Radachse in den Enden 7 im Fahrzeugrahmen, da die Enden 7 im Fahrzeugrahmen drehbar gelagert sind. Zwei hydraulische Zylinder 9 sind einerseits mit dem nicht gezeigten Fahrzeugrahmen und andererseits mit der Achsbrücke verbunden, wodurch bei der Druckbeaufschlagung eines hydraulischen Zylinders 9 die Achsbrücke 1 um den Drehpunkt 5 verdreht wird, wodurch ein geringerer Wendekreis für das Fahrzeug ermöglicht wird.

Es besteht die Möglichkeit, den Lenkzylinder 3 und die hydraulischen Zylinder 9 mit einer gemeinsamen Steuereinheit anzusteuern, wodurch die Lenkzylinder 9 in Abhängigkeit des Lenkwinkels bzw. der Beaufschlagung des Lenkzylinders 3 angesteuert werden.

In einer weiteren Ausgestaltungsform besteht die Möglichkeit, die hydraulischen Zylinder 9 zu blockieren oder durch in der Länge nicht veränderbare Stäbe zu ersetzen, wodurche eine Achse entsteht, welche ausschließlich über den Lenkzylinder 3 die Radköpfe 2 im Sinne einer Lenkbewegung verdreht, um ein Fahrzeug mit einem üblichen Lenkverhalten zu schaffen.

Bezugszeichen

- 1 Achsbrücke
- 2 Radköpfe
- 3 Lenkzylinder
- 4 Spurstangen
- 5 Drehpunkt
- 6 V-förmiger Lenker
- 7 Enden
- 8 Federzylinder
- 9 hydraulischer Zylinder

Patentansprüche

1. Achsaufhängung mit einer lenkbaren Radachse, welche eine Achsbrücke (1) aufweist, an welcher im Lenksinne Radköpfe (2) drehbar angelenkt sind, wobei die Achsbrücke (1) um einen Drehpunkt (5) drehbar angeordnet ist, und mit Mittel (9) zum Verdrehen der Achsbrücke (1) um diesen Drehpunkt (5), dadurch **gekennzeichnet**, dass der Drehpunkt (5) auf der Achsbrücke (1) angeordnet ist, wobei durch das Verdrehen der Achsbrücke (1) ein geringerer Wendekreis möglich ist.
2. Achsaufhängung nach Anspruch 1, dadurch **gekennzeichnet**, dass der Drehpunkt (5) mittig zwischen den Radköpfen (2) angeordnet ist.
3. Achsaufhängung nach Anspruch 1, dadurch **gekennzeichnet**, dass mindestens ein V-förmiger Lenker (6) am Drehpunkt (5) drehbar angelenkt ist.
4. Achsaufhängung nach Anspruch 3, dadurch **gekennzeichnet**, dass der V-förmige Lenker (6) drehbar mit einem Fahrzeugrahmen verbindbar ist.
5. Achsaufhängung nach Anspruch 1, dadurch **gekennzeichnet**, dass die Mittel zum Verdrehen (9) der Achsbrücke (1) zwei hydraulische Zylinder (9) sind, welche einerseits mit einem Fahrzeugrahmen verbindbar und andererseits mit der Achsbrücke (1) verbunden sind.
6. Achsaufhängung nach Anspruch 1, dadurch **gekennzeichnet**, dass benachbart zum Drehpunkt (5) mindestens ein Federzylinder (8) mit der Achsbrücke (1) verbunden ist.

7. Achsaufhängung nach Anspruch 5, dadurch **g e k e n n z e i c h -**
n e t, dass die hydraulischen Zylinder (9) feststellbar oder durch in der Länge
unveränderbare Stäbe ersetzbar sind.

8. Achsaufhängung nach Anspruch 1, dadurch **g e k e n n z e i c h -**
n e t, dass die Mittel zum Verdrehen (9) der Achsbrücke (1) in Abhängigkeit
des Lenkeinschlages der Radköpfe (2) anlenkbar sind.

Zusammenfassung

Achsaufhängung mit einer lenkbaren Radachse

Eine Achsaufhängung einer lenkbaren Radachse weist eine Achsbrücke (1) auf, welche um einen Drehpunkt (5) über zwei hydraulische Zylinder (9) zusätzlich verdrehbar ist, um einen geringeren Lenkeinschlag zu schaffen.

Figur

ZF 000310

1/1

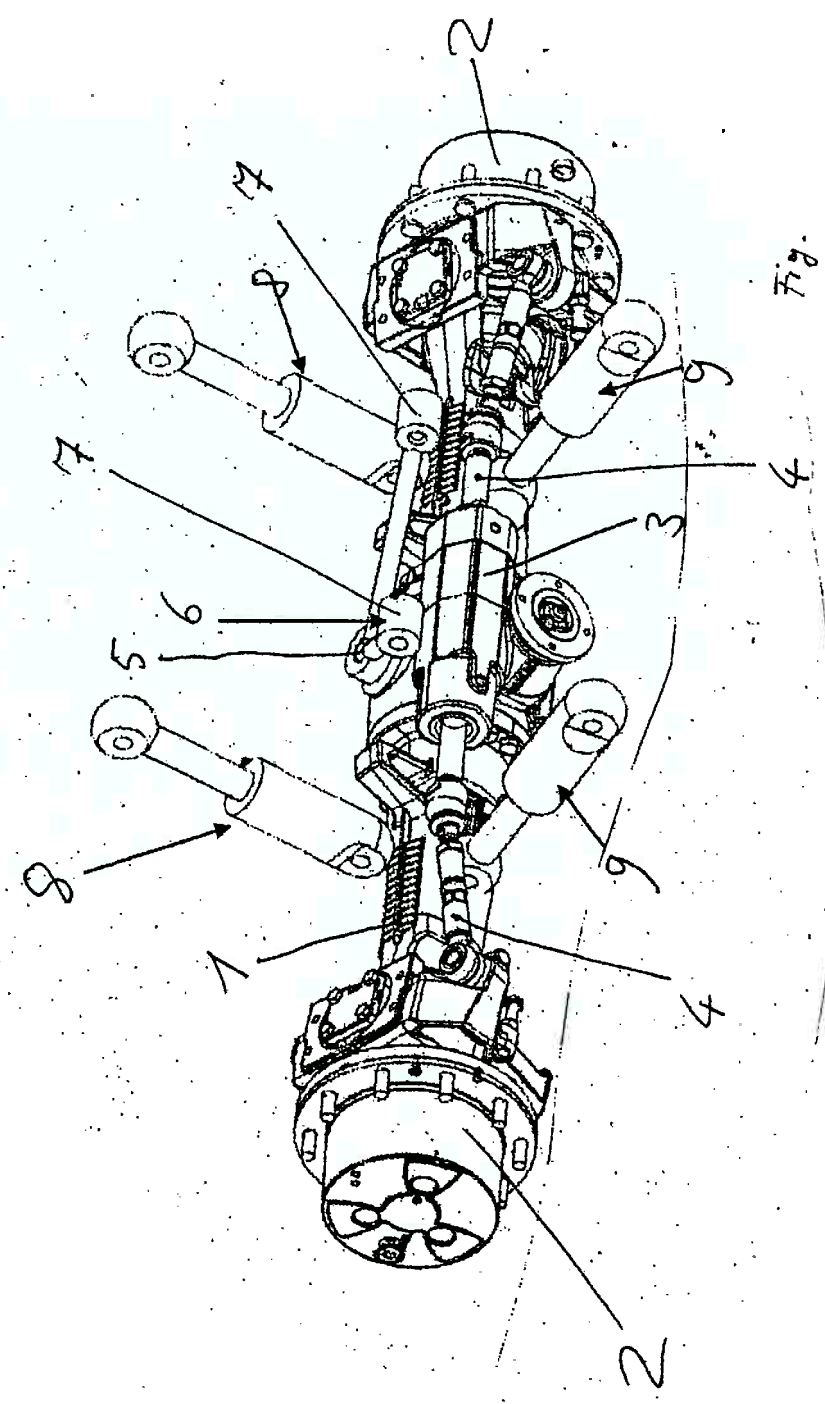


Fig.

ZF 000310

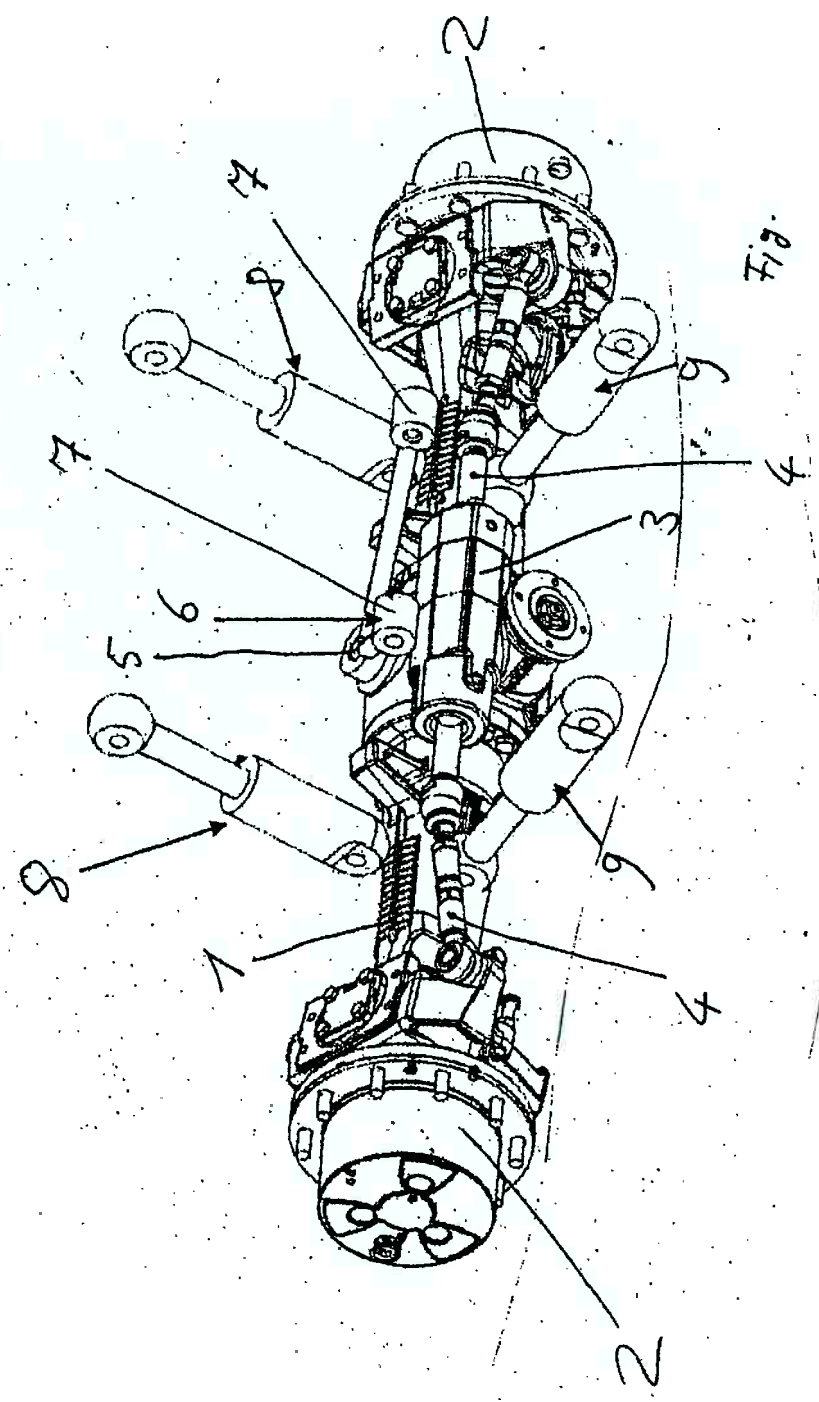


Fig.

ANFAVEA - Associação Nacional dos Fabricantes de Veículos Automotores
 Assessoria de Planejamento Econômico e Estatístico
 Indústria Automobilística Brasileira

Empresa : NEW HOLLAND LATINO AMERICANA LTDA
 Referencia : PRODUTO / MODELO
 Setor : Tratores /
 Ano : 2003 (Jan - Dez)
 Tabela n. : 1 Fl.: 5
 Emissão : 23/12/04 Hora : 16:14:01

	M	E	S	JAN	FEV	MAR	ABR	MAI	JUN	JUL	AUG	SET	OCT	NOV	DEZ	TOTAL
4.1 TRATORES DE RODAS				478	734	776	956	1001	929	1084	1126	1053	867	886	510	10459
4.1.1 2 DE 50 CV A 99 CV				129	311	187	314	297	334	364	396	190	133	207	641	2926
TL65	D			0	0	0	0	0	0	0	0	0	0	0	0	0
TL70	D			0	0	0	0	0	0	0	0	0	0	0	0	0
TL70 4X4	D			0	0	2	4	4	0	0	0	0	2	0	0	12
TL80	D			0	1	0	0	0	0	0	0	0	0	0	0	1
TL80 4X4	D			7	5	8	13	4	5	7	1	1	0	0	1	53
TL80	D			0	1	1	0	1	1	0	3	2	0	0	0	8
TL85	D			0	0	0	0	0	0	0	0	0	0	0	0	0
TL85 4X4	D			0	0	0	0	0	0	0	0	0	0	0	0	0
TL90	D			3	4	7	2	8	11	1	0	0	8	2	51	121
TL75	D			0	0	0	0	0	0	0	0	0	0	0	0	63
TL75E	D			14	21	0	1	0	1	0	6	0	0	0	0	0
TL75E 4X4	D			3	9	35	22	6	23	12	12	12	4	4	4	46
TL75E	D			10	6	0	1	1	1	0	0	0	2	3	0	127
TL75E	D			10	66	36	76	8	70	54	39	3	0	0	3	41
TL75E 4X4	D			50	198	102	123	211	206	215	315	143	87	42	71	411
TS 90 IR	D			0	0	0	0	0	0	0	0	0	0	0	0	0
TL65E 4X4	D			25	2	21	16	20	4	0	0	0	0	0	0	1788
TL85E 4X4	D			4	1	5	21	6	4	26	9	1	15	1	1	41
TL85E 4X4	D			10	13	17	12	10	31	6	19	14	0	0	0	151
TL85E	D			0	0	0	1	1	0	0	0	0	0	0	0	2
TL95E	D			0	0	0	0	0	0	0	0	0	0	0	0	5
TL85F 4X4	D			0	0	0	0	0	0	0	0	0	1	1	1	11
TL85F 4X4	D			0	0	0	0	0	0	0	0	0	0	0	0	3
TL75F 4X4	D			0	0	0	0	0	0	0	0	0	0	0	0	8
14.1.3 DE 100 CV A 199 CV				349	423	589	642	743	595	720	730	873	734	679	446	7523
7630	D			0	0	0	0	0	0	0	0	0	0	0	0	0
8430 DT	D			0	0	0	0	0	0	0	0	0	0	0	0	0
8630 DT	D			0	0	0	0	0	0	0	0	0	0	0	0	0
8830 DT	D			0	0	0	0	0	0	0	0	0	0	0	0	0
TL100 4X4	D			10	10	5	16	10	10	21	4	10	2	13	0	92

A - Álcool D - Diesel E - Eletricoo G - Gasolina KG - C K D Gasolina

KD - C K D Diesel

ANFAVEA - Associação Nacional dos Fabricantes de Veículos Automotores
Assessoria de Planejamento Econômico e Estatístico
Indústria Automobilística Brasileira

Empresa : NEW HOLLAND LATINO AMERICANA LTDA
Referencia : PRODUCAO / MODELO
Sector : Tratores
Año : 2003 (Jan - Dez)
Tabela n.º : 22/11/04 F1.: 6
Foto : 16.11.02

KD - CKD Diesel

KG - CKD Gaso

Gasolina

۶

Letraco

四

Diesel

-
D

d

- Alcool

A

ANFAVEA - Associação Nacional dos Fabricantes de Veículos Automotores
Assessoria de Planejamento Econômico e Estatístico
Indústria Automobilística Brasileira

Empresa : AGCO DO BRASIL COM. E IND. LTDA

Referência : PRODUÇÃO / MODELO

Série : Tratores

Ano : 2003 (Jan - Dez)

Tabela n.: 1 Pl.: 9

Emissão : 23/12/04 Hora : 16:14:03

	M	E	S	JAN	FEV	MAR	ABR	MAI	JUN	JUL	AGO	SET	OUT	NOV	DEZ	TOTAL
14.1 TRATORES DE RODAS				936	1074	1366	1606	1669	1840	1578	2236	1857	2006	2069	1111	19348
14.1.2 DE 50 CV A 99 CV				70	868	1064	1275	1307	1355	1339	1590	1266	1363	1538	798	14344
MF 265	D			33	16	58	32	47	35	30	84	38	53	33	2	461
MF 265 E	D			33	13	24	24	19	18	42	22	18	33	10	22	278
MF 265 4x4	D			3	3	20	7	2	1	10	14	11	5	16	13	115
MF 275	D			2	2	7	0	3	2	2	0	6	1	9	0	34
MF 275	D			6	79	151	96	148	112	95	112	97	65	12	14	1142
MF 275 4x4	D			48	62	86	125	155	99	138	87	68	60	25	1012	
MF 290	D			59	19	18	13	14	35	64	44	21	23	34	46	61
MF 290 4x4	D			38	32	47	39	49	31	39	31	33	62	35	37	502
MF 292	D			7	16	14	8	6	26	29	37	13	2	16	16	187
MF 292 IX4	D			111	182	111	177	218	226	241	148	217	246	204	195	2276
MF 293	D			14	19	11	30	18	26	9	6	9	63	6	242	
MF 295 E	D			0	0	1	1	1	0	0	0	1	0	3	0	7
MF 265 IX4 E	D			15	1	5	15	12	18	8	30	12	7	3	31	129
MF 283 IX4	D			71	124	75	262	165	126	208	122	159	115	159	64	1650
MF 275 IX4 E	D			4	21	17	18	19	19	45	19	45	12	54	46	332
MF 295 IX4 CANA	D			11	42	54	11	5	13	0	6	0	6	10	28	186
MF 250 IX4	D			0	0	5	7	1	2	5	0	0	0	0	6	29
MF 250 IX4 E	D			4	4	2	1	5	5	4	10	3	4	4	4	56
MF 275 E	D			3	2	1	1	5	3	5	8	7	3	0	8	46
MF 290 FARA	D			1	0	0	0	0	0	0	3	2	0	4	0	30
MF 5275	D			2	0	6	3	5	4	1	4	2	0	1	1	15
MF 5275 4x4	D			6	11	3	0	0	8	9	11	7	1	3	1	29
MF 5985	D			0	0	1	0	0	2	3	2	0	0	0	1	11
MF 5985 4x4	D			4	12	8	4	4	30	3	14	2	0	2	0	130
MF 5250	D			2	1	0	0	0	0	0	1	0	0	0	4	4
MF 5250 4x4	D			2	6	1	4	0	0	2	6	4	2	1	1	30
MF 5250 SE	D			0	0	0	0	0	0	0	0	0	0	0	0	0
MF 5900	D			0	0	1	3	6	0	1	0	0	9	0	0	20
MF 471	D			81	0	69	0	16	59	83	41	99	127	30	35	725
MF 491 IX4	D			3	5	45	68	24	0	9	25	16	24	3	9	263
MF 491	D			8	18	35	34	57	24	6	9	23	77	0	0	291
MF 262 SE	D			0	0	0	0	0	0	0	0	0	0	0	0	0

A - Álcool D - Diesel E - Elétrico G - Gasolina KG - C K D Gasolina KD - C K D Diesel

ANFAVEA - Associação Nacional dos Fabricantes de Veículos Automotores
As secretaria do Planejamento Econômico e Estatístico
Indústria Automobilística Brasileira

Empresa : AGCO DO BRASIL COM. E IND. LTDA
Referencia : PRODUCAO / MODELO
Sector : Tratores
Ano : 2003 (Jan - Dez)
Tabela : 1 Fl.: 10

M		E		S		JAN		FEB		MAR		APR		MAY		JUN		JUL		AGO		SET		OUT		NOV		DEZ		TOTAL	
MF	451	D		0		42		36		59		34		30		25		7		11		19		6		0		269			
MF	451	XK4	D		0	41		71		99		14		18		40		81		63		55		24		1		507			
MF	471	XK4	D		41	46		40		5		17		5		49		41		36		33		12		0		329			
AA	6.1.25	D		1	3	6		31		18		9		7		9		41		11		45		2		0		83			
MF	435	XK4	D		3	0		18		91		67		23		18		51		45		15		1		0		1291			
MF	435	XK4	D		6	0		7		9		25		18		15		12		79		23		1		0		506			
MF	440	XK4	D		15	0		20		50		55		0		57		69		79		37		67		0		158			
MF	440	XK4	D		15	0		50		37		32		57		7		109		20		74		99		0		422			
MF	445	XK4	D		0	0		10		2		5		0		2		61		0		0		2		0		778			
MF	5305	XK4	D		3	0		0		1		0		0		0		0		31		0		6		0		52			
MF	5305	XK4	D		61	0		0		23		18		19		11		91		19		13		25		0		45			
MF	415	XK4	D		0	2		6		20		5		3		20		51		19		13		15		0		113			
MF	415	XK4	D		0	3		1		5		3		1		4		61		11		5		13		0		45			
MF	425	XK4	D		0	0		0		1		1		1		0		0		1		1		3		0		16			
MF	425	XK4	D		0	0		0		1		1		0		0		0		0		0		0		0		2			
MF	490	D		16	0	6		0		0		0		0		0		0		0		0		0		0		22			
MF	5340	D		0	1	1		2		1		1		1		41		61		31		11		31		0		22			
MF	5340	D		0	12	2		2		8		3		3		12		21		10		15		1		0		75			
MF	5340	D		0	1	1		0		5		1		1		1		1		1		0		2		0		11			
AA	6.6.5	D		0	3	4		1		1		1		1		5		10		10		13		1		0		48			
AA	6.8.8	D		0	0	0		0		0		0		0		0		61		0		6		1		0		15			
MF	445	D		0	0	0		0		0		0		0		0		0		0		0		0		0		23			
AA	6.8.8	D		0	0	0		0		0		0		0		0		0		0		0		0		0		59			
MF	491	XK4	D		0	0		0		0		0		0		0		0		0		0		0		0		50			
MF	492	D		0	1	0		0		0		0		0		0		0		29		5		10		6		0		50	
MF	492	D		0	0	0		0		0		0		0		0		0		30		5		7		0		0		52	
AA	6.1.6.5	D		0	0	0		0		0		0		0		0		0		0		0		0		0		46			
MF	493	D		0	0	0		0		0		0		0		0		0		0		0		0		0		8			
MF	460	XK4	D		0	0		0		0		0		0		0		0		0		0		0		0		1		1	
MF	5300	D		0	0	0		0		0		0		0		0		0		0		0		0		0		0		1	
4.1.1.3 DE 100 CV A 199 CV			235		206		302		331		321		505		339		646		591		643		531		313		5004				

ANFAVEA - Associação Nacional dos Fabricantes de Veículos Automotores
Assessoria de Planejamento Econômico e Estatístico
Indústria Automobilística Brasileira

Empresa : JOHN DEERE BRASIL S.A.

Referencia : PRODUÇÃO / MODELO

Sector : Tratores

Ano : 2003 (Jan - Dez)

Tabela n.º 1 Fl.: 13

Emissão : 23/12/04 Hora : 16:14:04

	M	E	S	JAN	FEV	MAR	ABR	MAY	JUN	JUL	SET	OCT	NOV	DEZ	TOTAL		
14.1 TRATORES DE RODAS				0	270	402	439	420	567	646	595	876	624	561	414	5829	
14.1.2 DE 50 CV A 99 CV				0	162	245	234	204	312	315	286	395	298	265	210	2827	
5600	D			0	0	0	0	0	0	0	0	0	0	0	0	0	
5700	D			0	0	0	0	0	0	0	0	0	0	0	0	0	
5810 4X4	D			0	0	0	0	0	0	0	0	0	0	0	0	0	
5700 4X4	D			0	0	0	0	0	0	0	0	0	0	0	0	0	
5403 4X4	D			0	0	0	0	0	0	0	0	0	0	0	0	0	
5403 4X4	D			0	9	17	21	18	29	17	10	7	15	9	7	159	
6400 4X4	D			0	19	35	39	26	51	33	43	52	30	19	11	412	
5605	D			0	0	0	0	0	0	0	0	0	0	0	0	0	
5605 4X4	D			0	14	6	0	0	0	0	0	0	0	0	0	0	
5605 4X4	D			0	19	34	27	16	29	57	28	35	24	6	4	123	
5705	D			0	2	2	1	0	6	32	10	8	21	7	7	282	
5705 4X4	D			0	27	46	37	25	62	61	52	46	64	80	15	115	
6405	D			0	80	97	102	113	123	70	140	237	110	106	91	1269	
14.1.3 DE 100 CV A 199 CV				0	108	157	205	216	255	331	309	484	325	311	204	2902	
6300	D			0	0	0	0	0	0	0	0	0	0	0	0	0	
6300 4X4	D			0	0	0	0	0	0	0	0	0	0	0	0	0	
6600 4X4	D			0	0	0	0	0	0	0	0	0	0	0	0	0	
7500 4X4	D			0	0	0	0	0	0	0	0	0	0	0	0	0	
6500 4X2	D			0	0	0	0	0	0	0	0	0	0	0	0	0	
7810 4X2	D			0	0	0	0	0	0	0	0	0	0	0	0	0	
6610 4X4	D			0	50	60	76	102	102	64	104	268	139	108	56	1149	
7505 4X4	D			0	58	97	129	114	153	267	205	193	186	136	148	1733	
14.4 COLHEITADIRAS				1	216	280	300	322	224	235	294	234	296	358	372	261	3889
1165	D			1	15	0	0	6	16	0	15	0	0	0	0	0	0
1175	D			1	80	55	45	43	0	15	30	0	0	45	10	137	0
1185	D			1	0	0	0	0	0	0	85	0	187	0	124	67	683
1170	D			1	0	0	0	0	0	0	0	0	0	0	0	0	0

A - Alcool D - Diesel E - Eletrico G - Gasolina RG - C & D Gasolina RD - C & D Diesel

ANFAVEA - Associação Nacional dos Fabricantes de Veículos Automotores
 Assessoria de Planejamento Econômico e Estatístico
 Indústria Automobilística Brasileira

Empresa : JOHN DEERE BRASIL S.A.

Referencia : PRODUÇÃO / MODELO

Sector : Automóveis

Ano : 2003 (Jan - Dez)

Tabela n.: 1 F.: 14

Emissao : 23/12/04 Hora : 16:14:04

	M	E	S	JAN	FEB	MAR	ABR	MAY	JUN	JUL	AGO	SET	OCT	NOV	DEZ	TOTAL
	1450	D		77	160	158	136	86	92	61	103	25	119	117	73	1207
	1550	D		0	110	87	135	79	143	131	128	42	53	57	1136	
	9650	D		13	0	0	0	0	0	0	0	5	25	15	21	
	9750	D		31	10	0	0	0	0	0	0	7	45	21	33	1471
	TOTAL GERAL															
				216	550	702	761	644	802	940	826	1172	932	948	675	9218
	A -	Alcool	D -	Diesel	E -	Elétrico	G -	Gasolina	KG -	C K D Gasolina	KD -	C K D Diesel				

ANFAVEA - Associação Nacional dos Fabricantes de Veículos Automotores
 Assessoria de Planejamento Econômico e Estatístico
 Indústria Automobilística Brasileira

Empresa : VALIRÁ DO BRASIL S.A.

Referencia :

PRODUTO

/

MODELO

Setor : Tratores /

Año :

2003

(Jan - Dez)

Tabela N.º : 1

Fl. : 15

Emissao :

23/12/04

Hora :

15:14:05

	M	E	S	JAN	FEV	MAR	ABR	MAI	JUN	JUL	AGO	SET	OUT	NOV	DEZ	TOTAL
14.1 TRATORES DE RODAS				434	800	789	893	937	944	974	952	724	934	495	2111	9087
14.1.2 DE 50 CV A 99 CV				202	337	370	440	282	419	385	321	216	352	153	601	3537
685 F	D			0	0	0	0	0	0	0	0	0	0	0	0	0
685	D			23	22	12	26	9	13	25	39	37	33	3	3	245
685 4X4	D			51	9	14	8	7	8	26	7	7	18	7	1	117
785 F	D			0	0	0	0	0	0	0	0	0	0	0	0	0
785	D			301	61	53	27	22	22	39	29	14	24	11	0	352
785 4X4	D			501	55	129	155	115	142	104	96	55	91	18	3	1013
985 4X4	D			51	10	13	43	45	117	83	70	23	35	13	0	457
985 S	D			0	0	0	0	0	0	0	0	0	0	0	0	0
885 TS	D			0	0	0	0	0	0	0	0	0	0	0	0	0
885	D			21	7	7	0	0	0	1	0	0	3	0	0	13
885 4X4	D			51	0	2	0	1	0	0	0	0	0	1	0	9
885	D			31	10	2	0	0	1	0	0	0	1	0	0	17
800	D			21	14	15	13	8	12	8	7	3	3	3	0	95
685 4X4 F	D			0	0	0	0	0	0	0	0	0	0	0	0	0
685 4X4 F	D			0	0	0	0	0	0	0	0	0	0	0	0	0
785 4X4 F	D			0	0	0	0	0	0	0	0	0	0	0	0	0
985 4X4 S	D			0	0	0	0	0	0	0	0	0	0	0	0	0
885 4X4 TS	D			0	0	0	0	0	0	0	0	0	0	0	0	0
PRENDIM	D			0	0	0	0	0	0	0	0	0	0	0	0	0
PRENDIM 4X4	D			0	0	0	0	0	0	0	0	0	0	0	0	0
PCR	D			0	0	0	0	0	0	0	0	0	0	0	0	0
PCR 4X4 S	D			0	0	0	0	0	0	0	0	0	0	0	0	0
700	D			31	7	2	0	0	0	0	0	0	0	0	0	0
700 4X4	D			11	16	14	36	12	6	7	3	14	20	10	21	151
900 4X4	D			16	17	15	35	11	15	14	14	6	13	22	27	23
BF73 4X4	D			14	29	23	34	20	23	41	21	4	37	12	0	258
BF65	D			21	0	2	2	1	6	4	1	7	1	1	0	27
BF65 4X4	D			0	3	1	1	0	0	0	0	1	10	0	0	8
BF75	D			9	7	4	14	4	23	14	5	10	2	7	0	99
BMB5	D			6	19	20	1	3	1	0	0	0	0	0	0	54
BMB5 PCR	D			2	11	2	3	1	0	4	2	1	4	0	0	31
BM85 4X4 POR	D			4	27	20	22	7	2	5	3	14	0	0	0	113
BM85 4X4	D			10	13	21	18	10	3	7	10	20	12	4	11	129

A - Alcool D - Diesel E - Eletrico G - Gasolina KG - C K D Gasolina RD - C K D Diesel

ANFAVEA - Associação Nacional dos Fabricantes de Veículos Automotores
 Assessoria de Planejamento Econômico e Estatístico
 Indústria Automobilística Brasileira

Empresa : NEW HOLLAND LATINO AMERICANA LTDA

Referencia : PRODUTO / MODELO

Sector : Tratores / Rodas

Ano : 2004 (Jan - Dez)

Tabela n.º 1 El.º : 5

Emissão : 24/02/05

Hora : 20:05:17

	M	E	S	JAN	FEV	MAR	ABR	MAY	JUN	JUL	AGO	SET	OUT	NOV	DEZ	TOTAL
14.1 TRATORES DE RODAS				440	694	896	766	795	942	1182	1004	1047	931	747	10649	
14.1.2 DE 50 CV A 99 CV				661	183	304	273	283	330	344	298	315	330	201	88	3015
TL70	D			0	0	1	0	0	0	0	0	0	0	0	0	1
TL70 4X4	D			0	0	1	4	2	12	0	6	12	7	14	6	13
TL80 4X4	D			0	0	1	1	0	0	1	0	0	2	0	0	83
TL90	D			0	0	1	0	0	0	0	0	0	0	0	0	5
TL90 4X4	D			0	0	3	8	8	5	12	8	2	7	3	4	68
TL55E	D			2	0	0	8	9	5	8	9	0	10	4	8	2
TL55E 4X4	D			0	0	8	13	14	13	15	9	4	10	7	8	65
TL65E	D			0	0	3	2	25	25	27	20	2	11	0	1	102
TL75E	D			0	0	22	39	20	36	37	49	11	16	7	0	96
TL75E	D			0	0	8	22	19	142	153	161	12	16	10	1	264
TL75E 4X4	D			0	0	1	2	3	172	173	172	20	22	121	43	1776
TL85E	D			0	0	14	23	6	20	7	0	5	0	0	57	
TL85E 4X4	D			0	0	13	19	34	62	45	44	17	34	8	1	254
TL85E	D			0	0	0	0	0	16	11	16	20	9	13	0	154
TL95E	D			0	0	0	0	0	0	0	0	0	0	0	0	2
TL95E	D			0	0	0	0	0	0	0	0	0	0	0	0	10
TL55F	D			0	0	0	0	0	0	0	0	0	0	0	0	29
TL55F 4X4	D			0	0	0	0	0	0	0	0	0	0	0	0	1
TL65F	D			0	0	0	0	0	0	0	0	0	0	0	0	1
TL65F 4X4	D			0	0	0	0	0	0	0	0	0	0	0	0	1
14.1.3 DE 100 CV A 199 CV				374	511	592	493	512	612	838	877	689	717	730	6591	
TL100	D			0	0	1	1	1	1	1	1	1	1	1	1	81
TL100 4X4	D			0	0	2	2	15	4	8	11	2	3	6	10	18
7630	D			0	0	0	0	0	0	0	0	0	0	0	0	5
7630 4X4	D			0	0	171	148	239	162	229	273	405	288	258	223	2713
8030	D			0	0	11	37	26	20	39	59	49	62	43	31	411
8030 4X4	D			0	0	13	29	32	21	37	51	60	37	33	56	423
TM135	D			0	0	10	66	62	72	103	115	126	79	130	52	1036
TM150	D			0	0	10	41	22	19	56	38	61	29	46	7	261
TM165	D			0	0	25	41	34	19	26	31	83	41	20	29	440
TS100	D			0	0	21	26	24	28	22	16	54	17	51	29	393
TS100 4X4	D			0	0	0	0	0	0	0	0	0	0	0	0	81
TS110	D			0	0	0	0	0	0	0	0	0	0	0	0	309

A = Álcool

D = Diesel

E = Eletrico

G = Gasolina

RG = C K D Gasolina

RG = C K D Diesel

ANFAVEA - Associação Nacional dos Fabricantes de Veículos Automotores
 Assessoria de Planejamento Econômico e Estatístico
 Indústria Automobilística Brasileira

Empresa : NEW HOLLAND LATINO AMERICANA LTDA

Referencia : PRODUCAO / MODELO

Sector : Tratores

Ano : 2004 (Jan - Dez)

Tabela n.: 1 Fl.: 6

Emissao : 24/02/05 Hora : 20:05:18

	M	E	S	JAN	FEV	MAR	ABR	MAY	JUN	JUL	AGO	SET	OUT	NOV	DEZ	II	TOTAL
TS120 4X4	D			12	31	44	33	46	25	30	51	26	31	53	88	470	
TS90 4X4	D			46	71	68	28	48	88	46	55	61	39	128	288	966	
TS90	D			43	21	37	0	0	0	30	11	14	34	21	17	207	
TM180 4X4	D			0	1	0	0	0	0	1	2	2	38	8	3	80	
TS100	D			0	0	0	0	0	0	0	0	2	1	0	1	4	
TS120	D			0	0	0	0	0	0	0	0	0	0	6	0	6	
14.4 COHORTADATRAS																	
				198	488	399	227	228	213	262	242	214	301	265	290	3147	
TOTAL GERAL ----->																	
				638	1102	1295	993	1023	1155	1344	1417	1218	1348	1196	1037	13766	
				1	1	1	1	1	1	1	1	1	1	1	1	1	

A - Alcool D - Diesel E - Eletrico G - Gasolina RG - CKD Gasolina CKD - CKD Diesel

ANFAVEA - Associação Nacional dos Fabricantes de Veículos Automotores
 Assessoria de Planejamento Econômico e Estatístico
 Indústria Automobilística Brasileira

Empresa : RCG DO BRASIL COM. E IND. LTDA

Referencia : PRODUÇÃO / MODELO

Sector : Tratores

Ano : 2004 (Jan - Dez)

Tabela n.: 1 Fl.: 9

Emissão : 24/02/05 Hora : 20:05:19

	M	E	S	JAN	FEV	MAR	ABR	MAI	JUN	JUL	SET	OCT	NOV	DEZ	TOTAL			
4.1 TRATORES DE RODAS																		
				11621	17401	18461	21371	18781	19491	20181	21181	19531	21711	18851	111811	219751		
				1	1	1	1	1	1	1	1	1	1	1	1	1		
4.1.2 DE 50 CV A 99 CV																		
					9151	12181	13341	14171	14031	15091	15281	15481	14761	16201	14351	89811	162411	
					1	1	1	1	1	1	1	1	1	1	1	1		
	MF	265	D	24	21	35	23	18	31	43	45	22	42	21	701	31	3771	
	MF	265	E	17	13	71	14	16	10	31	37	21	12	13	51	1861	1861	
	MF	265	4X4	12	9	41	8	7	13	3	15	7	10	12	7	1071	1071	
	MF	250	D	31	2	100	0	3	5	0	21	0	8	41	51	351	351	
	MF	275	D	1131	79	1001	76	72	123	97	83	59	114	123	261	10651	10651	
	MF	275	4X4	631	50	79	99	101	33	52	68	37	70	110	48	8101	8101	
	MF	290	D	18	18	24	17	32	25	20	21	11	13	21	271	2401	2401	
	MF	290	4X4	231	36	36	37	63	38	36	26	21	83	181	4531	4531		
	MF	292	D	14	18	19	19	7	17	15	5	10	7	11	1	1231	1231	
	MF	292	4X4	2001	2301	2631	2801	1671	2551	2891	3011	3251	3721	3971	321	1301	29371	29371
	MF	283	D	17	9	18	23	23	30	61	51	21	2	0	1	31	2081	2081
	MF	250	E	01	1	1	1	2	4	0	21	2	0	0	0	14	14	14
	MF	265	4X4	91	6	61	161	6	13	4	71	9	19	61	51	1061	1061	
	MF	283	D	781	124	1461	1191	1221	217	194	161	1721	194	1651	1651	931	18381	18381
	MF	275	4X4	131	171	201	161	24	53	41	161	21	141	23	2461	2461		
	MF	290	D	101	22	201	151	10	20	51	61	0	141	12	151	1491	1491	
	MF	290	4X4	CANA														
	MF	250	4X4	D	1	2	2	3	2	0	8	0	51	31	51	321	321	
	MF	250	4X4	E	21	9	0	2	3	1	21	0	10	51	11	571	571	
	MF	275	E	4	7	3	4	13	5	16	14	0	71	61	91	881	881	
	MF	290	CANA	D	1	2	1	0	0	0	61	0	0	0	0	101	101	
	MF	5275	D	21	0	3	0	1	0	3	0	1	0	0	0	0	0	
	MF	5275	4X4	41	101	0	0	51	4	7	1	61	6	191	81	4321	4321	
	MF	5285	D	01	1	0	1	0	1	0	1	0	1	0	1	51	51	
	MF	525	4X4	D	31	151	161	32	24	0	121	161	231	171	161	1771	1771	
	MF	5250	4X4	D	01	0	0	0	0	21	21	0	31	11	0	71	151	
	MF	250	SE	D	01	0	0	0	0	1	1	0	1	0	0	61	61	
	MF	5300	4X4	D	01	0	0	7	4	0	21	0	39	681	671	1891	1891	
	MF	471	D	941	142	1601	581	551	901	53	681	781	41	91	311	8511	8511	
	MF	481	4X4	D	241	111	151	501	401	541	571	691	61	101	1432	1432		
	MF	481	D	341	18	91	36	561	19	161	371	31	121	0	611	2741	2741	
	MF	451	D	621	54	211	131	101	271	151	111	31	101	0	0	2261	2261	
	MF	451	4X4	D	281	321	291	341	401	631	561	581	281	0	0	311	4161	4161

A - Álcool D - Diesel E - Elétrico G - Gasolina RG - C R D Gasolina RD - C R D Diesel

ANFAVEA - Associação Nacional dos Fabricantes de Veículos Automotores
 Assessoria de Planejamento Econômico e Estatístico
 Indústria Automobilística Brasileira

Empresa : AGCO DO BRASIL COM. E IND. LTDA
 Referencia : PRODUÇÃO / MODELO
 Setor : Tratores
 ANO : 2004 (Jan - Dez)
 Tabela n.: 1 10
 Emissao : 24/02/05 Hora : 20:05:19

	M	E	S	JAN	FEV	MAR	ABR	MAY	JUN	JUL	AGO	SET	OCT	NOV	DEC	TOTAL	
MF	471 4x4	D		64	66	44	55	26	70	71	68	48	0	2	546		
AA	6.125	D		0	0	5	0	7	0	7	2	3	0	0	30		
MF	635	D		7	5	104	21	30	31	44	36	21	1	1	317		
MF	435 4x4	D		0	3	34	25	20	13	21	1	17	46	43	247		
MF	440	D		0	41	18	64	17	57	48	77	47	70	103	13	555	
MF	440 4x4	D		36	48	42	147	87	78	76	22	68	77	104	93	878	
MF	445 4x4	D		0	0	9	14	0	1	0	24	21	8	0	0	77	
MF	5355	D		0	0	0	0	5	0	9	3	0	0	4	4	24	
MF	5355 4x4	D		8	3	10	10	45	4	23	19	10	18	21	26	197	
MF	415	D		2	12	13	35	12	9	3	22	7	7	1	1	129	
MF	415 4x4	D		0	0	8	9	4	5	2	0	0	1	1	1	53	
MF	425 4x4	D		6	0	0	2	0	0	0	0	0	3	0	2	13	
MF	425	D		0	0	1	5	0	0	1	0	4	0	0	0	11	
MF	5340	D		0	4	3	0	2	2	2	2	0	0	3	3	27	
MF	5340 4x4	D		0	1	9	20	2	2	17	8	18	15	8	23	156	
AA	6.85	4x4		0	0	0	0	0	0	0	0	0	0	0	0	2	
AA	6.85	D		0	0	0	0	0	0	0	0	0	0	0	0	1	
MF	491 4x4	D		1	13	7	10	15	32	34	5	18	16	1	1	153	
MF	491	D		13	19	11	15	16	25	26	19	29	22	0	2	197	
MF	492 4x4	D		1	18	2	40	59	63	62	55	43	43	0	1	433	
MF	491	D		12	21	6	11	10	28	13	14	32	15	0	1	163	
MF	460 4x4	D		1	24	0	0	1	11	1	10	36	19	1	1	150	
MF	5300	D		1	0	0	0	0	0	0	0	0	0	18	25	72	
MF	460	D		0	6	1	0	3	6	0	12	0	0	6	0	34	
AA	6.75	D		0	0	0	2	0	0	0	0	0	0	0	0	4	
AA	6.95 4x4	D		0	0	4	0	10	3	3	2	0	1	1	0	23	
AA	6.95	D		0	0	0	0	0	0	5	1	0	0	1	0	12	
MF	250 A	D		0	0	0	0	0	0	0	0	0	3	2	0	8	
MF	5390	D		0	0	0	0	0	0	0	0	0	1	0	1	1	
AA	6.75 4x4	D		0	0	0	0	0	0	0	0	0	0	1	1	1	
14.1.3 DE 100 CV A 199 CV																	
				247	522	508	684	435	430	475	545	444	517	432	280	5519	
MF	297	D		1	1	1	1	1	1	1	1	1	1	1	1	1	
MF	299 4x4	D		1	4	4	5	4	13	6	14	4	8	0	0	63	
MF	297 4x4	D		23	40	75	99	57	28	21	63	56	79	80	30	651	
MF	550 4x4	D		78	126	88	127	74	51	55	83	145	88	31	1015	27	4851
MF	560 4x4	D		16	77	68	70	60	23	53	14	44	13	20	20	1317	
MF	660 4x4	D		17	51	63	22	18	27	14	25	16	8	6	6	304	
MF	660 4x4	D		33	141	109	142	147	147	159	179	110	57	34	10	1317	

A - Álcool D - Diesel

G - Gasolina

KG - C K D Gasolina

KD - C K D Diesel

ANFVEA - Associação Nacional dos Fabricantes de Veículos Automotores
Assessoria de Planejamento Econômico e Estatístico
Indústria Automobilística Brasileira

Empresa : AGCO DO BRASIL COM. E IND. LTDA
Referencia : PRODUCO / MODELO
Setor : Tratores
Ano : 2004 (Jan - Dez)
Tabela : n. 1
Emissao : 24/02/05
Fil. 11
Hora : 20:05:20

	M	E	S	JAN	FEB	MAR	ABR	MAY	JUN	JUL	AGO	SET	OCT	NOV	DEZ	TOTAL
MF 5310 4X4	D			16	4	5	21	10	6	11	36	12	25	54	48	
MF 5320 4X4	D			13	0	5	40	3	1	4	6	13	1	31	144	
AA 6.110	D			2	1	0	0	3	2	1	3	1	1	0	18	
AA 6.110	D			0	0	0	0	1	5	4	6	1	0	0	28	
AA 6.125	D			1	2	7	7	3	11	25	32	24	9	2	123	
AA 6.175	D			0	0	0	0	3	0	0	0	0	0	0	0	
MF 298	D			5	19	9	1	4	6	3	2	0	0	0	64	
AA 6.175 4X4	D			7	29	7	14	24	33	4	0	0	0	0	152	
MF 298 4X4	D			6	6	7	17	0	3	7	19	2	0	0	89	
MF 630 4X4	D			6	11	13	18	22	1	26	13	18	2	0	11	
AA 6.150 4X4	D			11	0	0	0	0	0	0	0	0	0	0	183	
MF 655	D			0	0	0	0	0	0	0	0	0	0	0	30	
MF 465 4X4	D			0	0	4	1	4	3	7	0	1	0	0	62	
MF 475	D			0	0	0	0	0	0	0	0	0	0	0	12	
MF 475 4X4	D			3	9	4	5	9	1	14	20	0	0	0	146	
MF 530 4X4	D			6	6	5	4	6	6	10	7	2	0	0	91	
MF 530 4X4	D			6	11	0	0	0	0	16	6	7	1	0	84	
MF 530 4X4	D			5	6	8	5	2	4	5	5	0	0	0	102	
AA 6.190 4X4	D			1	2	0	0	0	0	1	4	2	1	0	54	
AA 6.190 4X4	D			1	2	0	0	0	0	1	4	2	1	0	54	
AA 6.220	D			0	0	1	0	0	0	1	0	0	0	0	20	
MF 5310	D			0	0	0	0	0	0	0	0	0	0	0	40	
MF 6330 4X4	D			0	0	1	1	0	0	0	1	0	0	0	6	
MF 5305	D			0	0	0	0	0	0	0	0	0	0	0	11	
MF 530 4X4	D			0	0	0	0	0	0	0	0	0	0	0	1	
MF 299	D			0	0	0	0	0	0	0	0	0	0	0	6	
4.4.1.4 ACIMA DE 200 CV				0	0	4	36	40	10	15	29	33	34	38	215	
MF 6360 4X4	D			0	0	1	0	1	0	1	15	1	1	0	215	
AA 666 GTH	D			0	0	4	36	40	10	15	25	33	34	38	215	
4.4.4 COLHETADEIRAS				241	245	247	173	181	164	133	250	220	225	131	2440	
TOTAL GERAL ----->				1429	1985	2033	2310	2059	2113	2151	2368	2203	2391	210	24451	

ANFAVEA - Associação Nacional dos Fabricantes de Veículos Automotores
 Assessoria de Planejamento Econômico e Estatístico
 Indústria Automobilística Brasileira

Empresa : VOLTA DO BRASIL S.A.

Referencia : PRODUÇÃO / MODELO

Sector : Tratores

Ano : 2004 (Jan - Dez)

Tabela n.: 1 Fl.: 14

Emissão : 24/02/05 Hora : 20:05:21

	M	E	S	JAN	FEV	MAR	ABR	MAI	JUN	JUL	AGO	SET	OUT	NOV	DEZ	TOTAL
4.1 TRATORES DE RODAS				612	745	967	918	932	962	966	960	951	935	785	145	9898
4.1.2 DE 50 CV A 99 CV																
685 4X4	D			13	9	48	7	1	4	20	16	24	15	26	12	197
685 4X4	D			18	8	13	12	26	18	18	33	20	30	18	8	222
785 4X4	D			19	10	35	9	23	10	23	29	33	34	31	51	261
785 4X4	D			64	78	63	43	46	51	30	55	56	85	63	101	644
985 4X4	D			11	6	31	14	0	2	2	1	0	0	0	0	65
800 4X4	D			0	1	0	1	0	2	0	3	0	0	0	0	7
800 4X4	D			3	12	8	9	9	9	5	7	21	21	1	1	73
800 4X4	D			0	6	8	9	0	10	10	4	0	0	0	0	46
700 4X4	D			0	23	20	17	26	14	19	5	31	31	1	1	140
700 4X4	D			8	23	20	17	27	26	50	12	5	23	5	2	233
900 4X4	D			12	23	24	20	13	16	23	11	12	18	19	31	180
BF75 4X4	D			10	10	24	21	2	11	11	5	4	7	7	4	57
BF75 4X4	D			5	9	21	1	1	0	1	0	0	0	0	0	7
BF75	D			0	1	1	1	0	1	1	0	0	0	0	0	56
BM55 PCR	D			0	3	4	5	3	7	3	4	6	6	10	11	0
BM55 PCR	D			1	0	0	0	0	0	0	0	0	0	0	0	0
BM55 4X4 PCR	D			4	4	0	1	0	1	0	0	0	0	0	0	9
BM55 4X4	D			8	35	20	6	1	0	2	8	5	0	0	0	96
BM55 4X4	D			18	18	17	11	5	6	1	2	0	2	0	1	81
600 4X4	D			3	2	2	3	0	0	0	0	0	0	0	0	10
BL77 4X4	D			7	3	4	2	3	1	2	1	6	3	2	1	31
BL77 4X4	D			28	10	17	33	27	10	11	12	25	21	43	51	242
BL88 4X4	D			11	20	41	53	73	53	24	23	89	89	93	187	585
BL88	D			3	0	1	0	0	0	0	0	0	0	0	0	0
4.1.3 DE 100 CV A 199 CV				1	372	458	585	631	661	691	712	734	645	586	454	6622
1580 4X4	D			21	26	12	1	1	1	0	0	0	0	0	0	0
1780 4X4	D			43	63	56	61	56	43	58	33	33	34	34	14	60
1280 4X4	D			11	22	24	23	25	20	30	16	34	11	11	1	548
BM10 4X4	D			3	2	3	3	8	1	5	6	9	5	2	2	269
BM10 4X4	D			55	27	28	83	92	77	96	112	102	105	107	251	909

A - Álcool

D - Diesel

E - Elétrico

G - Gasolina

KG - C K D Gasolina

RG - C K D Diesel

ANFAVEA - Associação Nacional dos Fabricantes de Veículos Automotores
Assessoria de Planejamento Econômico e Estatístico
Indústria Automobilística Brasileira

Empresa : VALTRA DO BRASIL S.A.

Referencia : PRODUCAO / MODELO

Setor : Tratores

Ano : 2004 (Jan - Dez)

Labela n.: 1 Fl.: 15
Emissao : 24/02/05 Hora : 20:05:22

Alquiler de camiones para la construcción y el transporte de mercancías.

ANFAVEA - Associação Nacional dos Fabricantes de Veículos Automotores
 Assessoria de Planejamento Econômico e Estatístico
 Indústria Automobilística Brasileira

Empresa : OUTRAS EMPRESAS

Referencia : PRODUÇÃO / MODELO

Sector : Tratores

Ano : 2004 (Jan - Dez)

Tabela n.: 1 Fl.: 16

Emissão : 24/02/05 Hora : 20:05:22

	M	E	S	JAN	FEB	MAR	ABR	MAI	JUN	JUL	AGO	SET	OUT	NOV	DEZ	TOTAL
4.1 TRATORES DE RODAS				45	56	80	72	77	62	83	65	90	90	47	11	844
4.1.1 ATÉ 49 CV				10	19	22	12	10	6	9	17	15	24	17	8	169
1030 D	0	0	0	0	0	0	0	0	0	0	0	0	0	0	2	2
1045 D	0	0	0	0	0	0	1	0	0	0	0	0	0	0	0	1
1145 IX4 D	0	0	0	0	1	1	1	0	0	1	0	0	0	0	0	3
1045 IX4 D	4	4	4	4	4	4	0	0	0	0	0	0	0	0	0	16
1145 IX4 D	6	15	18	7	8	6	9	16	15	24	17	6	17	6	147	
4.1.2 DE 50 CV A 99 CV	35	37	58	60	67	71	71	53	66	50	66	73	39	1	675	
1055 IX4 D	14	11	13	10	12	7	1	1	1	0	0	0	0	0	0	69
1155-4 D	17	21	41	45	50	58	52	59	43	58	67	36	36	1	547	
2060 IX4 D	4	5	4	5	5	6	0	6	7	8	6	31	31	59	59	
4.3 CULTIVADORES MOTORIZADOS	105	140	157	118	158	140	148	162	170	150	155	100	1	1703		
YANMAR D	105	140	157	118	158	140	148	162	170	150	155	1	1	1	1	1703
TOTAL GERAL ----->	150	196	237	190	235	217	210	245	235	240	245	147	1	1	1	257

A - Álcool D - Diesel E - Elétrico G - Gasolina KG - C KD Gasolina RD - C KD Diesel

Anexo D – Produção de máquinas agrícolas de 2005

ANFAVEA - Associação Nacional dos Fabricantes de Veículos Automotores
Assessoria de Planejamento Econômico e Estatístico
Indústria Automobilística Brasileira

Impressa	: AGRALI S.A.
Referencia	: PRODUCAO / MODELO
Setor	: Tratores
Ano	: 2005 (Jan - Dez)
n.º	: 1
Ameliação	: 10/01/06
	Frl.: 18:47:26

1. **COULD YOU TELL ME** - **THE PRACTICAL**
2. **REVIEW OF THE PRACTICAL**
3. **TESTS**
4. **TESTS**
5. **TESTS**
6. **TESTS**
7. **TESTS**
8. **TESTS**
9. **TESTS**
10. **TESTS**
11. **TESTS**
12. **TESTS**
13. **TESTS**
14. **TESTS**
15. **TESTS**
16. **TESTS**
17. **TESTS**
18. **TESTS**
19. **TESTS**
20. **TESTS**
21. **TESTS**
22. **TESTS**
23. **TESTS**
24. **TESTS**
25. **TESTS**
26. **TESTS**
27. **TESTS**
28. **TESTS**
29. **TESTS**
30. **TESTS**
31. **TESTS**
32. **TESTS**
33. **TESTS**
34. **TESTS**
35. **TESTS**
36. **TESTS**
37. **TESTS**
38. **TESTS**
39. **TESTS**
40. **TESTS**
41. **TESTS**
42. **TESTS**
43. **TESTS**
44. **TESTS**
45. **TESTS**
46. **TESTS**
47. **TESTS**
48. **TESTS**
49. **TESTS**
50. **TESTS**
51. **TESTS**
52. **TESTS**
53. **TESTS**
54. **TESTS**
55. **TESTS**
56. **TESTS**
57. **TESTS**
58. **TESTS**
59. **TESTS**
60. **TESTS**
61. **TESTS**
62. **TESTS**
63. **TESTS**
64. **TESTS**
65. **TESTS**
66. **TESTS**
67. **TESTS**
68. **TESTS**
69. **TESTS**
70. **TESTS**
71. **TESTS**
72. **TESTS**
73. **TESTS**
74. **TESTS**
75. **TESTS**
76. **TESTS**
77. **TESTS**
78. **TESTS**
79. **TESTS**
80. **TESTS**
81. **TESTS**
82. **TESTS**
83. **TESTS**
84. **TESTS**
85. **TESTS**
86. **TESTS**
87. **TESTS**
88. **TESTS**
89. **TESTS**
90. **TESTS**
91. **TESTS**
92. **TESTS**
93. **TESTS**
94. **TESTS**
95. **TESTS**
96. **TESTS**
97. **TESTS**
98. **TESTS**
99. **TESTS**
100. **TESTS**
101. **TESTS**
102. **TESTS**
103. **TESTS**
104. **TESTS**
105. **TESTS**
106. **TESTS**
107. **TESTS**
108. **TESTS**
109. **TESTS**
110. **TESTS**
111. **TESTS**
112. **TESTS**
113. **TESTS**
114. **TESTS**
115. **TESTS**
116. **TESTS**
117. **TESTS**
118. **TESTS**
119. **TESTS**
120. **TESTS**
121. **TESTS**
122. **TESTS**
123. **TESTS**
124. **TESTS**
125. **TESTS**
126. **TESTS**
127. **TESTS**
128. **TESTS**
129. **TESTS**
130. **TESTS**
131. **TESTS**
132. **TESTS**
133. **TESTS**
134. **TESTS**
135. **TESTS**
136. **TESTS**
137. **TESTS**
138. **TESTS**
139. **TESTS**
140. **TESTS**
141. **TESTS**
142. **TESTS**
143. **TESTS**
144. **TESTS**
145. **TESTS**
146. **TESTS**
147. **TESTS**
148. **TESTS**
149. **TESTS**
150. **TESTS**
151. **TESTS**
152. **TESTS**
153. **TESTS**
154. **TESTS**
155. **TESTS**
156. **TESTS**
157. **TESTS**
158. **TESTS**
159. **TESTS**
160. **TESTS**
161. **TESTS**
162. **TESTS**
163. **TESTS**
164. **TESTS**
165. **TESTS**
166. **TESTS**
167. **TESTS**
168. **TESTS**
169. **TESTS**
170. **TESTS**
171. **TESTS**
172. **TESTS**
173. **TESTS**
174. **TESTS**
175. **TESTS**
176. **TESTS**
177. **TESTS**
178. **TESTS**
179. **TESTS**
180. **TESTS**
181. **TESTS**
182. **TESTS**
183. **TESTS**
184. **TESTS**
185. **TESTS**
186. **TESTS**
187. **TESTS**
188. **TESTS**
189. **TESTS**
190. **TESTS**
191. **TESTS**
192. **TESTS**
193. **TESTS**
194. **TESTS**
195. **TESTS**
196. **TESTS**
197. **TESTS**
198. **TESTS**
199. **TESTS**
200. **TESTS**
201. **TESTS**
202. **TESTS**
203. **TESTS**
204. **TESTS**
205. **TESTS**
206. **TESTS**
207. **TESTS**
208. **TESTS**
209. **TESTS**
210. **TESTS**
211. **TESTS**
212. **TESTS**
213. **TESTS**
214. **TESTS**
215. **TESTS**
216. **TESTS**
217. **TESTS**
218. **TESTS**
219. **TESTS**
220. **TESTS**
221. **TESTS**
222. **TESTS**
223. **TESTS**
224. **TESTS**
225. **TESTS**
226. **TESTS**
227. **TESTS**
228. **TESTS**
229. **TESTS**
230. **TESTS**
231. **TESTS**
232. **TESTS**
233. **TESTS**
234. **TESTS**
235. **TESTS**
236. **TESTS**
237. **TESTS**
238. **TESTS**
239. **TESTS**
240. **TESTS**
241. **TESTS**
242. **TESTS**
243. **TESTS**
244. **TESTS**
245. **TESTS**
246. **TESTS**
247. **TESTS**
248. **TESTS**
249. **TESTS**
250. **TESTS**
251. **TESTS**
252. **TESTS**
253. **TESTS**
254. **TESTS**
255. **TESTS**
256. **TESTS**
257. **TESTS**
258. **TESTS**
259. **TESTS**
260. **TESTS**
261. **TESTS**
262. **TESTS**
263. **TESTS**
264. **TESTS**
265. **TESTS**
266. **TESTS**
267. **TESTS**
268. **TESTS**
269. **TESTS**
270. **TESTS**
271. **TESTS**
272. **TESTS**
273. **TESTS**
274. **TESTS**
275. **TESTS**
276. **TESTS**
277. **TESTS**
278. **TESTS**
279. **TESTS**
280. **TESTS**
281. **TESTS**
282. **TESTS**
283. **TESTS**
284. **TESTS**
285. **TESTS**
286. **TESTS**
287. **TESTS**
288. **TESTS**
289. **TESTS**
290. **TESTS**
291. **TESTS**
292. **TESTS**
293. **TESTS**
294. **TESTS**
295. **TESTS**
296. **TESTS**
297. **TESTS**
298. **TESTS**
299. **TESTS**
300. **TESTS**

ANFAVEA - Associação Nacional dos Fabricantes de Veículos Automotores
Assessoria de Planejamento Econômico e Estatístico
Indústria Automobilística Brasileira

Empresa : NEW HOLLAND LATINO AMERICANA LTDA

Referencia : PRODUÇÃO / MODELO

Setor : Tratores

Ano : 2005 (Jan - Dez)

Tabela n.: 1 Fl.: 5

Emissao : 16/01/06 Hora : 18:47:27

	M	E	S	JAN	FEV	MAR	ABR	MAY	JUN	JUL	AGO	SET	OUT	NOV	DEZ	TOTAL
14.1 TRATORES DE RODAS				246	627	738	748	666	910	551	635	432	258	303	310	6444
14.1.2 DE 50 CV A 99 CV				61	147	222	225	80	236	163	320	157	110	150	151	2022
TL70	D			0	0	0	0	0	0	0	0	0	0	0	0	0
TL70 4X4	D			0	0	0	0	0	0	0	0	0	0	0	0	0
TL80 4X4	D			3	4	5	5	5	5	0	0	0	0	0	0	22
TL90	D			2	1	0	0	0	0	0	0	0	0	0	0	3
TL90 4X4	D			9	19	12	0	0	0	0	0	0	0	0	0	42
TL55E	D			0	0	5	1	5	1	5	0	0	0	0	0	17
TL55E 4X4	D			10	7	9	10	1	13	0	0	0	0	0	0	59
TL65E	D			6	9	1	0	0	0	0	0	0	0	0	0	21
TL75E	D			2	2	22	21	5	33	20	11	24	0	0	0	155
TL75E 4X4	D			6	9	139	139	45	192	140	103	9	46	62	0	1003
TL85E	4X4	D		20	3	0	0	0	0	0	0	0	0	0	0	24
TL85E 4X4	D			0	2	1	1	6	0	31	101	31	47	21	9	201
TL95E	4X4	D		3	3	10	15	0	0	0	0	0	0	0	0	147
TL95E	D			0	0	0	0	0	0	0	0	0	0	0	0	3
TL95E	4X4	D		0	0	0	0	0	0	0	0	0	0	0	0	10
TL95F	4X4	D		0	0	0	0	0	0	0	0	0	0	0	0	13
TL65	D			0	0	0	0	0	0	0	0	0	0	0	0	25
TL65 4X4	D			0	0	0	0	0	0	0	0	0	0	0	0	0
TL65F	4X4	D		0	0	0	0	0	0	0	0	0	0	0	0	1
TL65F 4X4	D			0	1	0	1	0	0	0	0	0	0	0	0	1
TL66E	D			0	0	0	0	0	0	0	0	0	0	0	0	12
TL66E	4X4	D		0	0	0	0	0	0	0	0	0	0	0	0	62
(4.1.3 DE 100 CV A 199 CV				185	480	516	521	606	674	315	386	275	148	153	159	442
TL100	4X4	D		6	5	7	14	29	3	0	0	0	0	0	0	64
TL100	D			0	0	0	0	0	0	0	0	0	0	0	0	0
760	4X4	D		43	109	200	191	284	248	147	155	56	0	0	0	142
8030	4X4	D		18	19	44	50	55	91	22	13	44	1	20	4	381
TM35	4X4	D		9	2	3	14	7	43	10	15	24	9	6	5	147
TM50	4X4	D		16	9	7	28	14	36	31	34	19	31	20	37	270

A - Álcool D - Diesel E - Elétrico G - Gasolina RG - C K D Gasolina

RD - C K D Diesel

ANFAVEA - Associação Nacional dos Fabricantes de Veículos Automotores
 Assessoria de Planejamento Econômico e Estatístico
 Indústria Automobilística Brasileira

Empresa : AGCO DO BRASIL COM. E IND. LTDA
 Referencia : PRODUÇÃO / MODELO
 Setor : Tratores
 Ano : 2005 (Jan - Dez)
 Tabela n.: 1
 Emissao : 10/01/06 Hora : 14:47:27

	M	E	S	JAN	FEV	MAR	ABR	MAY	JUN	JUL	SET	OCT	NOV	DEZ	TOTAL	
14.1 TRATORES DE RODAS				1852	1703	2197	2135	2147	2064	1933	2057	1331	1316	1278	01	20013
14.1.2 DE 50 CV A 99 CV				1662	1514	1859	1737	1756	1581	1440	1562	1127	1063	1088	01	16388
MF 265	D			20	21	11	61	37	21	46	36	24	1	1	1	278
MF 265 E	D			36	56	90	55	68	79	48	159	3	64	16	0	694
MF 265 4x4	D			9	12	14	30	17	10	24	98	18	17	1	1	250
MF 250	D			6	2	8	1	7	2	2	3	0	13	54	0	98
MF 275	D			87	46	112	147	127	50	59	72	106	60	24	0	890
MF 275 4x4	D			62	58	60	110	116	98	44	29	63	108	53	0	822
MF 290	D			22	38	37	22	24	24	24	18	8	43	43	0	285
MF 290 4x4	D			74	9	33	52	66	45	20	39	23	23	70	0	508
MF 292	D			8	4	12	20	4	13	9	8	1	20	6	0	105
MF 292 4x4	D			195	182	177	129	238	202	203	127	43	87	102	0	1685
MF 283	D			12	7	18	10	33	18	29	15	12	8	5	0	167
MF 250 E	D			3	0	0	1	0	4	2	0	0	0	0	0	14
MF 265 4x4 E	D			6	16	28	32	29	38	15	18	11	19	4	0	216
MF 283 4x4	D			131	64	178	298	300	174	264	148	151	75	60	0	1843
MF 275 4x4 E	D			18	64	47	44	48	34	23	7	16	86	40	0	427
MF 290 4x4 CANA	D			4	47	17	4	14	15	8	6	9	2	4	0	129
MF 250 4x4	D			3	4	0	2	3	6	1	0	1	0	5	0	35
MF 250 4x4 E	D			4	0	0	5	9	12	3	11	0	4	3	0	41
MF 275 E	D			4	10	8	5	6	12	36	8	9	19	1	0	135
MF 290 CANA	D			0	0	0	0	0	0	0	0	0	0	0	0	0
MF 5275	D			0	0	2	0	2	0	3	0	0	0	0	0	7
MF 5275 4x4	D			1	0	2	2	1	0	1	0	0	0	0	0	18
MF 5285	D			0	1	1	0	0	0	0	0	0	0	0	0	3
MF 5285 4x4	D			4	5	11	0	14	8	1	10	0	1	1	0	64
MF 5290 4x4	D			0	3	6	0	0	1	16	1	7	0	1	0	35
MF 250 SS	D			0	0	1	2	0	0	1	1	0	0	0	0	5
MF 5300 4x4	D			13	5	1	0	0	0	3	0	0	0	0	0	22
MF 471	D			175	153	136	64	67	52	46	74	37	16	0	0	820
MF 481 4x4	D			66	53	80	41	30	58	34	59	61	29	0	0	511
MF 481	D			54	78	73	33	32	27	14	37	16	6	0	0	370
MF 451 4x4	D			34	41	1	16	11	11	17	53	6	0	0	0	191
MF 451	D			111	88	25	59	22	32	16	1	97	17	0	0	468

A - Alcohol D - Diesel G - Elettrico E - Gasolina RG - C K D Gasolina RD - C K D Diesel

ANFAVEA - Associação Nacional dos Fabricantes de Veículos Automotores
Assessoria de Planejamento Econômico e Estatístico
Indústria Automobilística Brasileira

Empresa : AGCO DO BRASIL COM. E IND. LTDA
Referência : Produção / Modelo
Setor : Tratores
Ano : 2005 (Jan - Dez)
Tabela n.: 1 El.: 10
Emissão : 10/01/06 Hora : 18:47:27

	M	E	S	JAN	FEV	MAR	ABR	MAY	JUN	JUL	AGO	SET	OUT	NOV	DEZ	TOTAL	
MF 471 4X4	D			92	116	112	45	56	71	52	94	72	33	0	0	743	
AA 6.125	D			2	0	0	0	0	22	8	13	42	23	0	0	139	
MF 435 4X4	D			4	9	28	6	0	18	12	33	11	21	155	0	297	
MF 440 4X4	D			32	19	65	40	24	35	41	21	19	21	0	0	372	
MF 440 4X4	D			52	56	54	84	116	141	30	94	21	11	86	0	785	
MF 445 4X4	D			83	1	0	135	148	36	65	16	24	23	0	0	956	
MF 5335 4X4	D			0	0	0	0	0	0	0	0	0	0	0	0	84	
MF 5335 4X4	D			10	7	15	19	13	24	10	71	16	4	1	3	149	
MF 4115	D			0	0	51	2	7	4	4	10	13	16	14	0	149	
MF 4115 4X4	D			2	0	0	7	1	10	4	7	5	1	0	0	128	
MF 4225 4X4	D			0	2	1	3	4	0	0	1	1	0	0	2	14	
MF 4225	D			0	0	0	2	3	0	0	0	0	0	0	0	9	
MF 5340	D			2	7	19	1	0	1	0	1	0	0	2	3	36	
MF 5340 4X4	D			1	3	1	7	13	33	0	8	3	8	1	0	103	
AA 6.65 4X4	D			0	0	0	0	0	0	0	0	0	0	0	0	0	
AA 6.85	D			0	0	0	0	0	0	0	0	0	0	0	0	0	
MF 491 4X4	D			28	6	42	18	13	16	2	13	7	1	0	0	153	
MF 492 4X4	D			40	26	37	28	23	6	15	34	12	0	0	0	229	
MF 492 4X4	D			84	46	73	53	22	28	81	58	23	4	0	0	580	
MF 491	D			19	17	35	5	7	11	7	10	5	4	0	0	120	
MF 460 4X4	D			12	16	25	21	10	24	11	0	17	6	3	0	135	
MF 5300	D			15	0	0	0	0	0	0	0	0	0	0	0	0	
MF 460	D			0	3	0	0	0	15	0	0	3	0	0	0	24	
AA 6.75	D			0	0	0	0	0	0	0	0	3	0	0	0	0	
AA 6.95 4X4	D			5	0	6	0	0	0	0	18	7	5	1	0	53	
AA 6.95	D			5	3	0	2	0	0	0	5	5	0	0	0	25	
MF 250 A	D			0	0	0	2	1	0	0	0	1	0	0	0	6	
MF 5290	D			0	0	0	0	0	0	0	0	0	0	0	0	0	
MF 290 CANA RM	D			0	0	0	0	0	0	0	0	0	0	0	0	9	
AA 6.65	D			0	0	10	0	0	0	0	0	0	0	0	0	10	
AA 6.65 4X4	D			0	0	5	0	0	0	0	0	0	0	0	0	5	
AA 6.75 4X4	D			0	0	0	0	0	0	0	0	3	0	0	0	9	
MF 481 4X4 E	D			0	0	0	0	0	0	0	0	0	0	1	1	1	
MF 283 4X4 E	D			0	0	0	0	0	0	0	0	0	2	0	0	2	
14.1.3 DE 100 CV à 199 CV																	3624
MF 297	D			1	6	9	8	5	4	13	9	9	14	6	0	92	
A - Alcool D - Diesel E - Eletricô																	RD - C K D Gasolina RG - Gasolina

ANFATEA - Associação Nacional dos Fabricantes de Veículos Automotores
Assessoria de Planejamento Econômico e Estatístico
Indústria Automotiva Brasileira

Empresa : AGCO DO BRASIL COM. E IND. LTDA
 Referencia : PRODUTO / MODELO
 Referor : Tratores
 Ano : 2005 (Jan - Dez)
 Abaixo : 10/01/06 Hora : 18:47:27
 emissao : 11 F.: 11

ANFAVEA - Associação Nacional dos Fabricantes de Veículos Automotores
 Assessoria de Planejamento Econômico e Estatístico
 Indústria Automobilística Brasileira

Empresa : NSCO DO BRASIL COM. E IND. LTDA

Referencia : PRODUCAO / MODELO

Setor : Tratores /

Ano : 2005 (Jan - Dez)

Tabela n.: 1 F.: 12

Emissao : 10/01/06 Hora : 15:47:27

	M	E	S	JAN	FEB	MAR	ABR	MAI	JUN	JUL	AGO	SET	OUT	NOV	DEZ	TOTAL
	3640	D		5	14	5	6	0	1	6	26	6	2	2	2	75
	5650	D		67	137	22	44	0	49	38	21	42	64	67	30	575
	MF 38	D		11	11	3	3	0	0	6	0	2	0	0	0	42
	MF 34	D		41	37	44	17	0	10	9	12	11	7	1	1	200
	AA 550 GTH	D		25	25	29	20	0	17	9	15	1	4	4	0	149
	AA 660 GTH	D		0	0	4	0	0	0	2	0	0	0	0	0	15
	TOTAL GERAL ----->															
				2071	1857	2304	2225	2177	2135	2033	2131	1406	1375	1362	33	21069

A - Alcohol D - Diesel

E - Elétrico

G - Gasolina

RG - C R D Gasolina

RD - C R D Diesel

ANFAVEA - Associação Nacional dos Fabricantes de Veículos Automotores
Assessoria de Planejamento Econômico e Estatístico
Indústria Automobilística Brasileira

Empresa : JOHN DEERE BRASIL S.A.
Referencia : PRODUCAO / MODELO
Setor : Tratores
Ano : 2005 (Jan - Dez)

ANFAVEA - Associação Nacional dos Fabricantes de Veículos Automotores
 Assessoria de Planejamento Econômico e Estatístico
 Indústria Automobilística Brasileira

Empresa : VALTRA DO BRASIL S.A.

Referência : PRODUÇÃO / MODELO

Setor : Tratores

Ano : 2005 (Jan - Dez)

Tabela n.: 1 E.L.: 15

Emissão : 10/01/06 Hora : 18:47:27

	M	E	S	JAN	FEV	MAR	ABR	MAY	JUN	JUL	SET	OUT	NOV	DEZ	TOTAL		
14.1 TRATORES DE RODAS				550	804	840	767	910	900	756	826	547	567	457	0	7924	
14.1.2 DE 50 CV A 99 CV				270	345	340	364	473	456	361	339	294	353	245	0	3840	
685 4x4	D	D	D	20	14	11	6	11	8	6	7	9	17	13	0	122	
685 4x4	D	D	D	29	28	8	24	31	100	86	72	51	65	50	37	0	550
785 4x4	D	D	D	13	24	44	79	71	63	13	19	15	8	14	16	11	208
785 4x4	D	D	D	84	83	79	71	71	70	103	112	66	117	31	0	87	0
985 4x4	D	D	D	0	0	0	0	0	0	0	0	0	0	0	0	0	0
800 4x4	D	D	D	0	0	0	0	0	0	0	0	0	0	0	0	0	0
900 4x4	D	D	D	0	0	0	0	0	0	0	0	0	0	0	0	0	0
700 4x4	D	D	D	31	21	4	0	0	0	2	1	1	1	0	0	0	56
900 4x4	D	D	D	1	1	1	1	1	1	1	1	1	1	1	1	1	36
BF75 4X4	D	D	D	31	22	6	4	6	3	3	8	19	4	5	10	29	0
BF65 4X4	D	D	D	6	6	4	26	21	40	54	40	40	36	14	24	15	0
BF65 4X4	D	D	D	0	2	1	15	9	23	12	8	4	0	12	9	0	93
BF75	D	D	D	5	9	4	12	12	32	18	15	1	4	3	1	2	47
BM85 PCR	D	D	D	0	0	0	0	0	0	0	0	0	0	0	0	0	130
BM85 4X4 PCR	D	D	D	4	1	1	4	0	0	0	0	0	0	0	0	0	0
BM85 4X4	D	D	D	24	37	19	6	15	14	4	2	1	15	4	20	0	160
600 4x4	D	D	D	0	0	0	0	0	0	0	0	0	0	0	0	0	0
BL77	D	D	D	5	2	22	21	6	4	0	0	0	0	0	0	0	42
BL77 4X4	D	D	D	14	24	36	29	42	42	5	16	11	6	6	6	0	23
BL88 4X4	D	D	D	32	77	76	91	79	70	74	62	59	29	24	0	67	0
BL88	D	D	D	3	7	4	16	9	8	2	0	3	7	2	0	0	61
WT315N 4X4	D	D	D	0	0	0	0	0	0	0	5	0	6	0	0	0	11
WT360 4X4	D	D	D	0	0	0	0	0	0	0	0	0	0	0	0	0	32
WT444	D	D	D	0	0	0	0	0	0	0	0	0	0	0	0	0	3
WT390 4X4	D	D	D	0	0	0	0	0	0	0	0	0	0	0	0	0	25
WT460	D	D	D	0	0	0	0	0	0	0	0	0	0	0	0	0	5
WT390 4X4 PCR	D	D	D	0	0	0	0	0	0	0	0	0	0	0	0	0	16
WT460 4X4 PCR	D	D	D	0	0	0	0	0	0	0	0	0	0	0	0	0	3
A - Álcool				280	459	500	403	437	444	395	487	253	214	212	0	4094	
E - Diesel				1	1	1	1	1	1	1	1	1	1	1	1	1	1

A - Álcool D - Diesel E - Elétrico G - Gásolina KG - Gasolina KD - C/KD Gasolina

ANFAVEA - Associação Nacional dos Fabricantes de Veículos Automotores
 Assessoria de Planejamento Econômico e Estatístico
 Indústria Automobilística Brasileira

Empresa : NEW HOLLAND LATINO AMERICANA LTDA

Referencia : PRODUÇÃO / MODELO

Seror : Tratores

Ano : 2006 (Jan - Nov)

Tabela n.: 1 Pl.: 5

Emissao : 19/12/06 Hora : 17:43:02

	M	E	S	JAN	FEV	MAR	ABR	MAI	JUN	JUL	SET	OUT	NOV	DEZ	TOTAL	
4.1 TRATORES DE RODAS																
	1	1	1	1	1	1	1	1	1	1	1	1	1	1	1	1
4.1.2 DE 50 CV A 99 CV																
	1	218	1	205	1	201	1	224	1	372	1	330	1	360	1	235
TL50E 4X4	D	5	0	0	0	0	0	0	0	45	3	0	0	0	0	0
TL70E	D	9	17	12	7	21	14	44	16	18	21	10	20	0	0	73
TL75E 4X4	D	93	83	113	120	202	198	141	141	60	21	31	0	0	0	189
TL85E 4X4	D	53	55	43	51	74	67	57	25	50	69	37	0	0	0	1205
TL95E 4X4	D	13	39	33	27	61	37	54	30	33	29	30	0	0	0	581
TL60E 4X4	D	18	2	0	41	0	0	1	1	1	2	6	4	0	0	386
TL60E	D	26	9	0	15	14	19	19	22	8	1	2	0	0	0	327
TL80	D	-1	0	0	0	0	0	0	0	0	0	0	0	0	0	0
4.1.3 DE 100 CV A 199 CV																
	1	232	1	279	1	432	1	355	1	477	1	492	1	537	1	347
TL100	D	0	0	0	0	0	0	0	0	0	0	0	0	0	0	0
7630 4X4	D	36	77	88	160	197	136	246	122	142	189	134	0	0	0	1527
8030 4X4	D	5	13	34	15	36	53	59	30	33	104	86	0	0	0	468
TM115 4X4	D	19	16	38	10	29	50	24	18	55	31	19	0	0	0	309
TM150 4X4	D	20	21	10	22	77	64	63	34	80	47	31	0	0	0	469
TM165 4X4	D	-7	5	11	4	28	9	26	4	11	9	8	0	0	0	108
TS100 4X4	D	13	3	1	10	4	13	0	0	0	0	2	0	0	0	46
TS110 4X4	D	-1	38	19	29	44	42	25	21	42	9	16	0	0	0	263
TS120 4X4	D	17	18	46	14	22	26	47	19	27	25	57	0	0	0	318
TS90 4X4	D	99	69	177	69	31	47	14	46	68	78	42	0	0	0	740
TS180 4X4	D	0	15	0	1	1	1	1	20	34	0	4	0	0	0	85
TS180 4X4 CANA	D	29	0	1	10	24	29	31	12	13	18	22	0	0	0	189
TS180 4X4 CANA	D	2	4	7	12	0	10	2	0	0	0	0	0	0	0	377
4.4 COLETADELAS																
	1	621	1	921	1	481	1	441	1	151	0	241	1	461	1	561
TC 55	D	31	3	5	16	10	6	0	8	1	1	1	0	0	0	57
TC 57	D	61	31	14	13	14	1	1	7	45	37	29	0	0	0	197
TC 59	D	46	28	36	14	16	6	0	9	0	2	27	0	0	0	187

A - Alcohol D - Diesel E - Eletrico G - Gasolina KG - C KD Gasolina RD - C KD Diesel

ANFAVEA - Associação Nacional dos Fabricantes de Veículos Automotores
 Assessoria de Planejamento Econômico e Estatístico
 Indústria Automobilística Brasileira

Empresa : AGCO DO BRASIL COM. E IND. LTDA

Referencia : PRODUTO / MODELO

Sector : Tratores

Ano : 2006 (Jan - Nov)

Tabela n.: 1 El.: 9

Emissao : 19/12/06 Hora : 11:43:03

	M	E	S	JAN	FEV	MAR	ABR	MAI	JUN	JUL	SET	OUT	NOV	DEZ	TOTAL	
14.1 TRTORES DE RODAS																
				1018	1173	1449	1206	1436	1205	1128	1409	1266	1457	1315	0	14062
14.1.2 DE 50 CV A 99 CV																
				917	1012	1139	927	1172	1009	873	1201	1013	1120	1065	0	11468
MF 265 D	17	18		33	32	42	77	33	45	41	54	13	0	0	0	405
MF 265 E	46	48	49	14	4	9	6	6	7	0	24	0	0	0	0	213
MF 265 4X4	8	7	15	15	38	42	35	29	11	8	3	3	0	0	0	211
MF 250 D	11	3	7	21	5	8	16	10	2	3	1	0	0	0	0	87
MF 275 D	90	54	57	52	107	86	33	81	103	78	16	0	0	0	0	757
MF 275 4X4	83	51	77	149	100	77	118	83	138	87	0	0	0	0	0	1060
MF 290 D	15	13	26	15	17	17	11	11	7	17	15	0	0	0	0	158
MF 290 4X4	22	33	31	24	30	37	61	61	68	59	45	0	0	0	0	471
MF 292 D	2	10	15	8	1	1	5	5	1	3	0	0	0	0	0	61
MF 292 4X4	202	131	161	111	163	90	38	88	152	194	174	0	0	0	0	1524
MF 293 D	6	10	17	28	5	16	9	10	17	8	21	0	0	0	0	1471
MF 250 E	0	1	0	0	0	0	0	0	0	0	0	0	0	0	0	1
MF 265 4X4 E	10	12	16	15	11	0	1	2	0	0	12	0	0	0	0	79
MF 283 4X4	80	108	191	97	86	68	50	143	101	179	148	0	0	0	0	1251
MF 275 4X4 E	30	28	19	19	11	0	0	0	0	0	0	0	0	0	0	133
MF 290 4X4 CANA	21	32	25	39	17	11	13	12	9	11	11	0	0	0	0	182
MF 250 4X4	3	1	1	1	1	2	6	2	6	3	41	0	0	0	0	677
MF 250 4X4 E	19	26	20	13	0	0	25	7	14	2	0	0	0	0	0	181
MF 275 E	3	8	3	0	0	0	0	0	0	0	0	0	0	0	0	25
MF 5225 4X4	0	1	1	0	0	2	0	0	1	0	1	0	0	0	0	6
MF 5225 4X4 D	0	0	3	2	3	0	1	1	1	5	4	0	0	0	0	23
MF 5290 4X4	0	0	0	5	6	3	0	1	1	0	1	0	0	0	0	22
MF 250 SE	0	0	0	0	0	0	0	0	0	0	0	0	0	0	0	4
MF 5300 4X4	1	1	0	0	1	1	0	1	0	2	0	0	0	0	0	9
MF 471 4X4	36	23	1	0	0	0	0	0	0	0	0	0	0	0	0	60
MF 481 4X4	12	31	22	0	0	0	0	0	0	0	0	0	0	0	0	65
MF 451 4X4	13	16	6	0	0	0	0	0	0	0	0	0	0	0	0	35
MF 451 4X4 D	31	11	0	0	0	0	0	0	0	0	0	0	0	0	0	42
MF 451 4X4 E	19	19	6	0	0	0	0	0	0	0	0	0	0	0	0	44
AA 6.125	31	6	8	4	11	0	0	0	0	0	0	0	0	0	0	49
MF 435 D	0	28	10	0	0	16	45	32	36	84	61	0	0	0	0	37

A = Álcool D = Diesel E = Eletrico G = Gasolina KG = C K D Gasolina KD = C K D Diesel

ANFAVEA - Associação Nacional dos Fabricantes de Veículos Automotores
Assessoria de Planejamento Econômico e Estatístico
Indústria Automobilística Brasileira

Empresa : AGCO DO BRASIL COM. E IND. LTDA

Referencia : PRODUÇÃO / MODELO

Seror :

Ano : 2006 (Jan - Nov)

Tabela n.º : 10

Emissao : 19/12/06 Hora : 17:43:03

	M	E	S	JAN	FEV	MAR	ABR	MAY	JUN	JUL	AGO	SET	OCT	NOV	DEZ	TOTAL
MF 435 4X4	D			33	24	19	19	31	1	29	0	6	4	0	0	174
MF 440 4X4	D			10	28	55	65	55	1	35	19	41	67	0	0	531
MF 440 4X4	D			35	106	59	74	115	53	98	94	37	42	39	0	852
MF 5355 4X4	D			0	1	0	0	0	0	0	0	0	0	0	0	71
MF 5355 4X4	D			10	7	17	26	26	26	25	26	3	78	13	0	2571
MF 415	D			2	1	2	0	8	0	0	1	0	0	0	0	261
MF 415 4X4	D			2	4	3	1	1	9	6	0	0	0	0	0	61
MF 425	D			0	1	1	0	0	0	0	0	0	0	0	0	2
MF 5340	D			0	1	1	0	0	0	0	0	0	0	0	0	21
MF 5340 4X4	D			0	1	2	4	4	1	20	1	4	0	0	0	39
MF 491 4X4	D			0	1	0	0	0	0	0	0	0	0	0	0	6
MF 492	D			5	6	0	0	0	0	0	0	0	0	0	0	17
MF 492 4X4	D			43	56	26	0	0	0	0	0	0	0	0	0	126
MF 491	D			3	5	6	0	0	0	0	0	0	0	0	0	14
MF 460 4X4	D			7	9	27	11	19	0	62	65	8	15	20	91	334
MF 460	D			0	4	5	4	4	0	0	0	0	0	0	0	36
AA 6.75	D			1	1	6	15	2	0	0	0	0	0	0	0	21
AA 6.95 4X4	D			2	3	6	7	11	0	17	8	2	0	0	0	63
AA 6.95	D			1	2	8	6	6	0	0	3	0	0	0	0	35
AA 6.75 4X4	D			1	0	0	4	1	0	0	1	0	0	0	0	9
NE 481 4X4 E	D			0	0	0	1	1	0	0	0	0	0	0	0	1
MF 490 4X4	D			0	1	0	0	0	0	0	0	0	0	0	0	1
MF 473	D			0	0	0	0	0	0	0	0	0	0	0	0	34
MF 473 4X4	D			0	0	0	0	0	0	0	0	0	0	0	0	34
MF 493	D			0	0	0	0	0	0	0	0	0	0	0	0	3
MF 493 4X4	D			0	0	0	0	0	0	0	0	0	0	0	0	11
MF 496	D			0	0	0	0	0	0	0	0	0	0	0	0	4
MF 496 4X4	D			0	0	0	0	0	0	0	0	0	0	0	0	5
MF 573	D			0	0	0	0	0	0	0	0	0	0	0	0	144
MF 573 4X4	D			0	0	0	0	0	0	0	0	0	0	0	0	208
MF 593	D			0	0	0	0	0	0	0	0	0	0	0	0	66
MF 593 4X4	D			0	0	0	0	0	0	0	0	0	0	0	0	191
MF 593 4X4	D			0	0	0	0	0	0	0	0	0	0	0	0	73
MF 596	D			0	0	0	0	0	0	0	0	0	0	0	0	110
MF 596 4X4	D			0	0	0	0	0	0	0	0	0	0	0	0	93
MF 5275	D			0	0	0	0	0	0	0	0	0	0	0	0	2
MF 593	D			0	0	0	0	0	0	0	0	0	0	0	0	11
AA 6.80 4X4	D			0	0	0	0	0	0	0	0	0	0	0	0	4
MF 445 4X4	D			0	0	0	0	0	0	0	0	0	0	0	0	5
MF 445 4X4	D			0	0	0	0	0	0	0	0	0	0	0	0	9

+

A - Alcool D - Diesel E - Eletrico G - Gasolina KG - C KD Gasolina

RD - C KD Diesel

ANFAVEA - Associação Nacional dos Fabricantes de Veículos Automotores
Assessoria de Planejamento Econômico e Estatístico
Indústria Automobilística Brasileira

Empresa : AGCO DO BRASIL COM. E IND. LTDA

Referência : PRODUÇÃO / MODELO

Sector : Tratores

Ano : 2006 (Jan - Nov)

Tabela n.: 1 El.: 11

Emissão : 19/12/06 Hora : 17:43:03

	M	E	S	JAN	FEV	MAR	ABR	MAY	JUN	JUL	SET	OCT	NOV	DEZ	TOTAL	
	MF 283 4X4 E	D		0	0	0	0	0	0	0	0	0	0	0	0	0
	MF 297 4X4	D		11	28	37	30	21	23	32	29	59	59	25	0	45
	MF 297 4X4	D		22	25	42	39	18	37	24	17	29	42	21	0	354
	MF 650 4X4	D		3	7	23	14	8	6	20	19	32	32	17	0	316
	MF 660 4X4	D		20	18	25	13	43	9	15	25	11	13	7	0	178
	MF 680 4X4	D		21	34	59	60	56	61	51	39	69	68	50	0	199
	MF 5310 4X4	D		1	2	0	1	1	3	1	5	3	4	5	0	569
	MF 5320 4X4	D		1	0	2	2	1	0	0	0	11	0	0	2	261
	AA 6.110	D		1	2	1	1	3	5	0	10	5	3	0	0	9
	AA 6.110 4X4	D		2	3	6	6	1	0	11	5	5	5	0	0	40
	AA 6.125 4X4	D		2	6	11	16	17	17	14	16	7	10	1	0	44
	AA 6.175 4X4	D		2	4	8	0	0	0	0	0	0	0	0	0	100
	MF 298 4X4	D		0	0	17	0	14	0	0	5	0	4	0	0	50
	MF 630 4X4	D		2	5	14	1	1	7	10	3	5	5	0	0	49
	AA 6.150 4X4	D		3	4	8	32	5	0	0	0	0	0	0	0	52
	MF 465 4X4	D		2	4	2	5	38	9	6	0	16	16	86	0	174
	MF 475 4X4	D		0	2	27	17	12	18	46	24	1	0	0	0	182
	MF 5360 4X4	D		1	2	3	0	0	0	0	0	0	0	0	0	35
	MF 5365 4X4	D		5	3	10	11	5	1	1	0	0	0	0	0	8
	AA 6.190 4X4	D		1	2	0	3	0	0	0	0	0	0	0	0	6
	AA 6.220 4X4	D		0	1	1	4	0	1	0	0	0	0	0	0	6
	MF 5365	D		0	1	0	0	1	1	0	0	0	0	0	0	2
	AA 6.60	D		0	1	2	0	5	6	1	1	1	1	0	0	22
	AA 6.60 4X4	D		0	1	2	0	1	3	2	1	1	1	0	0	11
	AA 6.80	D		0	1	4	2	3	2	1	1	1	1	0	0	18
	MF 6350 4X4	D		0	0	0	0	0	0	1	1	4	1	0	0	22
	MF 6360 4X4	D		0	0	0	0	1	4	5	0	4	25	0	0	39
	14.4 COLEHITADEIRAS															
				102	88	67	48	0	0	52	0	0	42	11	0	410
	3640	D			1	7	0	0	0	0	4	0	0	1	0	23
	5650	D			2	55	42	31	0	0	48	0	0	2	0	26
	MF 38	D			64	3	2	1	0	0	0	0	30	6	0	10
	MF 34	D			20	9	6	0	0	0	0	1	31	0	0	46

A - Alcool D - Diesel E - Eletricô G - Gasolina RG - C K D Gasolina RD - C K D Diesel

ANFAVEA - Associação Nacional dos Fabricantes de Veículos Automotores
Assessoria de Planejamento Econômico e Estatístico
Indústria Automobilística Brasileira

Empresa : AGCO DO BRASIL COM. E IND. LTDA
Referencia : PRODUCAO / MODELO
Satutor : Autoveiculos
Data : 2006 (Jan - Nov)
Atividade : 1 F1 : 12

ANFAVEA - Associação Nacional dos Fabricantes de Veículos Automotores
Assessoria de Planejamento Econômico e Estatístico
Indústria Automobilística Brasileira

Empresa : VALTRA DO BRASIL S.A.

Referencia :

PRODUÇÃO / MODELO

Selar : Tratores

Anc : 2006 (Jan - Nov)

Tabela n.º 15 Fl.: 15

Emissão : 19/12/06 Hora : 17:43:03

	M	E	S	JAN	FEV	MAR	ABR	MAY	JUN	JUL	AGO	SET	OUT	NOV	DEZ	TOTAL
14.1 TRATORES DE RODAS				436	568	742	569	743	681	641	697	579	611	579	0	6846
14.1.2 DE 50 CV A 99 CV				230	251	317	217	288	290	318	358	277	190	182	0	2918
685 4X4	D			25	14	12	2	1	1	1	1	1	1	1	1	115
785 4X4	D			15	25	6	16	16	16	5	19	13	5	4	0	213
785 4X4	D			7	22	5	7	10	22	28	25	22	28	18	0	155
800 4X4	D			40	50	60	57	53	46	38	78	69	78	27	0	565
700	D			2	0	1	0	0	0	0	0	0	0	0	0	86
700 4X4	D			1	1	0	0	0	0	0	0	0	0	0	0	71
900 4X4	D			5	0	0	0	0	0	0	0	0	0	0	0	53
BF75 4X4	D			10	4	5	4	3	11	7	10	10	12	12	11	92
BF65 4X4	D			24	38	56	26	39	37	34	34	32	16	44	0	380
BF65 4X4	D			7	10	10	5	5	10	7	6	6	4	16	31	83
BF65 4X4	D			11	1	4	7	6	10	5	4	5	5	6	0	54
BF75 4X4	D			6	12	10	7	8	6	12	10	10	4	9	6	90
BN85 PCR	D			0	0	9	0	4	2	0	0	0	0	0	0	15
BN85 4X4 PCR	D			18	15	47	5	8	7	26	11	17	8	31	0	165
BL77 4X4	D			0	0	2	4	2	1	4	5	5	1	1	0	25
BL77 4X4	D			23	12	3	10	23	22	28	20	17	12	5	0	175
BL88 4X4	D			34	34	48	16	48	32	39	39	26	37	1	0	445
BL88 4X4	D			11	4	4	0	1	4	0	2	1	1	0	0	23
WT35N 4X4	D			0	3	0	1	2	6	7	2	4	0	0	0	25
WT350 4X4	D			7	31	10	11	11	12	14	8	0	0	0	0	76
WT450 4X4	D			4	4	3	0	0	0	2	1	1	0	1	0	16
WT35N	D			0	0	1	0	0	0	0	0	0	0	0	0	1
585 4X4	D			0	0	0	0	0	0	6	20	16	1	0	0	43
800	D			0	0	0	0	0	0	0	0	0	0	0	0	4
WT350	D			0	0	0	0	0	0	0	0	0	0	0	0	0
585	D			0	0	0	0	0	0	1	2	5	0	0	0	8
14.1.3 DE 100 CV A 199 CV				206	317	425	352	455	391	323	339	302	421	397	0	3928
1780 4X4	D			28	1	38	34	25	39	24	27	22	32	44	0	348
1280 4X4	D			25	28	16	14	22	11	13	11	10	22	26	0	198

A - Álcool

D - Diesel

E - Elétrico

G - Gasolina

KG - Gasolina

RD - C RD Gasolina

RD - C RD Diesel

ANFAVEA - Associação Nacional dos Fabricantes de Veículos Automotores
 Assessoria de Planejamento Econômico e Estatístico
 Indústria Automobilística Brasileira

Empresa : VALTRA DO BRASIL S.A.

Referencia :

PRODÓCIO / MODELO

Sector :

Tratores

Ano :

2006

(Jan - Nov)

Tabela n.º:

16

Emissão :

19/12/06

Hora :

17:43:03

	N	E	S	JAN	FEB	MAR	ABR	MAY	JUN	JUL	AGO	SET	OCT	NOV	DEZ	TOTAL
	BM100	D		6	0	1	2	12	2	0	0	2	2	0	0	26
	BM100	4X4	D	3	24	27	36	57	52	33	37	25	35	20	0	349
	BR110	4X4	D	38	74	81	62	19	48	62	68	57	64	76	0	709
	BR110	4X4	D	4	12	17	27	30	30	27	27	15	15	28	0	215
	BH110	4X4	D	13	14	27	25	46	40	25	24	37	27	33	0	311
	BH110	4X4	D	15	6	15	9	15	27	28	19	22	32	0	0	213
	BH110	4X4	D	33	61	167	121	129	108	99	94	74	171	128	0	1175
	BM100	4X4 PCR	D	31	32	17	17	18	18	43	43	37	38	9	0	309
	WT450	4X4	D	11	2	3	0	4	3	0	0	1	0	0	0	14
	WT550	4X4	D	1	18	2	0	2	2	0	0	0	0	0	0	25
	WT450	4X4	D	8	3	3	2	2	3	2	1	1	0	0	0	27
	WT550	4X4	D	0	0	0	2	1	2	0	0	0	0	0	0	7
	WT550	4X4	D	0	0	0	0	0	0	0	0	0	0	0	0	2
	TOTAL GERAL				436	568	742	569	743	681	641	697	579	611	579	6846
	A -	Alcool	D -	Diesel	E -	Elétrico	G -	Gasolina	KG -	C K D Gasolina	KD -	C K D Diesel				

ANEXO F – Modelo simulando batente superior
Apenas os elementos não nulos das matrizes de massa e rigidez estão representados

$m(1,1)=47.5741;$	$m(37,37)=13.2559;$	$m(73,73)=38.1507;$
$m(2,2)=47.5741;$	$m(38,38)=13.2559;$	$m(74,74)=38.1507;$
$m(3,3)=47.5741;$	$m(39,39)=13.2559;$	$m(75,75)=38.1507;$
$m(4,4)=0.247434;$	$m(40,40)=0.0939244;$	$m(76,76)=2.24107;$
$m(5,5)=0.247434;$	$m(41,41)=0.0939244;$	$m(77,77)=2.24107;$
$m(6,6)=0.247434;$	$m(42,42)=0.0939244;$	$m(78,78)=2.24107;$
$m(7,7)=114.829;$	$m(43,43)=13.1318;$	$m(79,79)=37.8105;$
$m(8,8)=114.829;$	$m(44,44)=13.1318;$	$m(80,80)=37.8105;$
$m(9,9)=114.829;$	$m(45,45)=13.1318;$	$m(81,81)=37.8105;$
$m(10,10)=14.0101;$	$m(46,46)=0.0936255;$	$m(82,82)=2.23492;$
$m(11,11)=14.0101;$	$m(47,47)=0.0936255;$	$m(83,83)=2.23492;$
$m(12,12)=14.0101;$	$m(48,48)=0.0936255;$	$m(84,84)=2.23492;$
$m(13,13)=61.2105;$	$m(49,49)=13.2559;$	$m(85,85)=67.5031;$
$m(14,14)=61.2105;$	$m(50,50)=13.2559;$	$m(86,86)=67.5031;$
$m(15,15)=61.2105;$	$m(51,51)=13.2559;$	$m(87,87)=67.5031;$
$m(16,16)=-2.12209;$	$m(52,52)=0.0939244;$	$m(88,88)=2.12456;$
$m(17,17)=-2.12209;$	$m(53,53)=0.0939244;$	$m(89,89)=2.12456;$
$m(18,18)=-2.12209;$	$m(54,54)=0.0939244;$	$m(90,90)=2.12456;$
$m(19,19)=6.58762;$	$m(55,55)=13.1318;$	$m(91,91)=6.2926;$
$m(20,20)=6.58762;$	$m(56,56)=13.1318;$	$m(92,92)=6.2926;$
$m(21,21)=6.58762;$	$m(57,57)=13.1318;$	$m(93,93)=6.2926;$
$m(22,22)=-0.110216;$	$m(58,58)=0.0936255;$	$m(94,94)=0.0024707;$
$m(23,23)=-0.110216;$	$m(59,59)=0.0936255;$	$m(95,95)=0.0024707;$
$m(24,24)=-0.110216;$	$m(60,60)=0.0936255;$	$m(96,96)=0.0024707;$
$m(25,25)=3.23176;$	$m(61,61)=38.1507;$	$m(97,97)=145.063;$
$m(26,26)=3.23176;$	$m(62,62)=38.1507;$	$m(98,98)=145.063;$
$m(27,27)=3.23176;$	$m(63,63)=38.1507;$	$m(99,99)=145.063;$
$m(28,28)=0.0549588;$	$m(64,64)=2.24107;$	$m(100,100)=14.142;$
$m(29,29)=0.0549588;$	$m(65,65)=2.24107;$	$m(101,101)=14.142;$
$m(30,30)=0.0549588;$	$m(66,66)=2.24107;$	$m(102,102)=14.142;$
$m(31,31)=3.23176;$	$m(67,67)=37.8105;$	$m(103,103)=30.2337;$
$m(32,32)=3.23176;$	$m(68,68)=37.8105;$	$m(104,104)=30.2337;$
$m(33,33)=3.23176;$	$m(69,69)=37.8105;$	$m(105,105)=30.2337;$
$m(34,34)=0.0549588;$	$m(70,70)=2.23492;$	$m(106,106)=0.131896;$
$m(35,35)=0.0549588;$	$m(71,71)=2.23492;$	$m(107,107)=0.131896;$
$m(36,36)=0.0549588;$	$m(72,72)=2.23492;$	$m(108,108)=0.131896;$

$k(1,1)=4.40737e+10;$
 $k(1,6)=-6.69239e+07;$
 $k(1,19)=-3.9367e+08;$
 $k(1,97)=-2.184e+10;$
 $k(1,103)=-2.184e+10;$
 $k(2,2)=2.26628e+10;$
 $k(2,20)=-2.47059e+09;$
 $k(2,98)=-1.00961e+10;$
 $k(2,102)=-1.26202e+09;$
 $k(2,104)=-1.00961e+10;$
 $k(2,108)=1.26202e+09;$
 $k(3,3)=2.05859e+10;$
 $k(3,4)=6.69239e+07;$
 $k(3,21)=-3.9367e+08;$
 $k(3,99)=-1.00961e+10;$
 $k(3,101)=1.26202e+09;$
 $k(3,105)=-1.00961e+10;$
 $k(3,107)=-1.26202e+09;$
 $k(4,3)=6.69239e+07;$
 $k(4,4)=7.64811e+07;$
 $k(4,21)=-6.69239e+07;$
 $k(4,100)=-3.2552e+07;$
 $k(4,106)=-3.2552e+07;$
 $k(5,5)=4.20672e+08;$
 $k(5,99)=-1.26202e+09;$
 $k(5,101)=1.05168e+08;$
 $k(5,105)=1.26202e+09;$
 $k(5,107)=1.05168e+08;$
 $k(6,1)=-6.69239e+07;$
 $k(6,6)=4.32049e+08;$
 $k(6,19)=6.69239e+07;$
 $k(6,98)=1.26202e+09;$
 $k(6,102)=1.05168e+08;$
 $k(6,104)=-1.26202e+09;$
 $k(6,108)=1.05168e+08;$
 $k(7,7)=4.5124e+09;$
 $k(7,97)=-4.5124e+09;$
 $k(8,8)=8.90469e+07;$
 $k(8,12)=-5.38734e+07;$
 $k(8,98)=-8.90469e+07;$
 $k(8,102)=-5.38734e+07;$
 $k(9,9)=8.90469e+07;$
 $k(9,11)=5.38734e+07;$
 $k(9,99)=-8.90469e+07;$
 $k(9,101)=5.38734e+07;$
 $k(10,10)=6.72562e+06;$
 $k(10,100)=-6.72562e+06;$
 $k(11,9)=5.38734e+07;$
 $k(11,11)=4.34579e+07;$
 $k(11,99)=-5.38734e+07;$
 $k(11,101)=2.17289e+07;$
 $k(12,8)=-5.38734e+07;$
 $k(12,12)=4.34579e+07;$
 $k(12,98)=5.38734e+07;$
 $k(12,102)=2.17289e+07;$
 $k(13,13)=8.46512e+09;$
 $k(13,85)=-8.46512e+09;$
 $k(14,14)=5.8789e+08;$
 $k(14,18)=1.89594e+08;$
 $k(14,86)=-5.8789e+08;$
 $k(14,90)=1.89594e+08;$
 $k(15,15)=5.8789e+08;$
 $k(15,17)=-1.89594e+08;$
 $k(15,87)=-5.8789e+08;$
 $k(15,89)=-1.89594e+08;$
 $k(16,16)=1.26171e+07;$
 $k(16,88)=-1.26171e+07;$

 $k(17,15)=-1.89594e+08;$
 $k(17,17)=8.15256e+07;$
 $k(17,87)=1.89594e+08;$
 $k(17,89)=4.07628e+07;$
 $k(18,14)=1.89594e+08;$
 $k(18,18)=8.15256e+07;$
 $k(18,86)=-1.89594e+08;$
 $k(18,90)=4.07628e+07;$
 $k(19,1)=-3.9367e+08;$
 $k(19,6)=6.69239e+07;$
 $k(19,19)=7.79613e+08;$
 $k(19,25)=-1.92971e+08;$
 $k(19,26)=-1.89029e+07;$
 $k(19,27)=-3.6976e+08;$
 $k(19,28)=1.00711e-11;$
 $k(19,29)=-841306;$
 $k(19,30)=43009.4;$
 $k(19,31)=-1.92971e+08;$
 $k(19,32)=1.89029e+07;$
 $k(19,33)=3.6976e+08;$
 $k(19,34)=-1.00711e-11;$
 $k(19,35)=-841306;$
 $k(19,36)=43009.4;$
 $k(20,2)=-2.47059e+09;$
 $k(20,20)=2.47853e+09;$
 $k(20,21)=7.32374e+07;$
 $k(20,25)=-1.89029e+07;$
 $k(20,26)=-3.97005e+06;$
 $k(20,27)=-3.66187e+07;$
 $k(20,28)=841306;$
 $k(20,29)=8.61444e-12;$
 $k(20,30)=-434290;$
 $k(20,31)=1.89029e+07;$
 $k(20,32)=-3.97005e+06;$
 $k(20,33)=-3.66187e+07;$
 $k(20,34)=841306;$
 $k(20,35)=-8.61444e-12;$
 $k(20,36)=434290;$
 $k(21,3)=-3.9367e+08;$
 $k(21,4)=-6.69239e+07;$
 $k(21,20)=7.32374e+07;$
 $k(21,21)=1.83046e+09;$
 $k(21,25)=-3.6976e+08;$
 $k(21,26)=-3.66187e+07;$
 $k(21,27)=-7.18395e+08;$
 $k(21,28)=-43009.4;$
 $k(21,29)=434290;$
 $k(21,30)=1.86321e-13;$
 $k(21,31)=3.6976e+08;$
 $k(21,32)=-3.66187e+07;$
 $k(21,33)=-7.18395e+08;$
 $k(21,34)=-43009.4;$
 $k(21,35)=-434290;$
 $k(21,36)=-1.86321e-13;$
 $k(22,22)=3;$
 $k(23,23)=3;$
 $k(24,24)=3;$
 $k(25,19)=-1.92971e+08;$
 $k(25,20)=-1.89029e+07;$
 $k(25,21)=-3.6976e+08;$
 $k(25,25)=-1.92971e+08;$
 $k(25,26)=1.89029e+07;$
 $k(25,27)=3.6976e+08;$
 $k(25,28)=-1.00711e-11;$
 $k(25,29)=841306;$
 $k(25,30)=-43009.4;$
 $k(26,19)=-1.89029e+07;$
 $k(26,20)=-3.97005e+06;$

 $k(26,21)=-3.66187e+07;$
 $k(26,25)=1.89029e+07;$
 $k(26,26)=3.97005e+06;$
 $k(26,27)=-3.66187e+07;$
 $k(26,28)=-841306;$
 $k(26,29)=-8.61444e-12;$
 $k(26,30)=434290;$
 $k(27,19)=-3.6976e+08;$
 $k(27,20)=-3.66187e+07;$
 $k(27,21)=-7.18395e+08;$
 $k(27,25)=3.6976e+08;$
 $k(27,26)=-3.66187e+07;$
 $k(27,27)=7.18395e+08;$
 $k(27,28)=43009.4;$
 $k(27,29)=-434290;$
 $k(27,30)=-1.86321e-13;$
 $k(28,19)=1.00711e-11;$
 $k(28,20)=841306;$
 $k(28,21)=-43009.4;$
 $k(28,25)=-1.00711e-11;$
 $k(28,26)=-841306;$
 $k(28,27)=43009.4;$
 $k(28,28)=338245;$
 $k(28,29)=-8902.94;$
 $k(28,30)=-174150;$
 $k(29,19)=-841306;$
 $k(29,20)=-8.61444e-12;$
 $k(29,21)=434290;$
 $k(29,25)=841306;$
 $k(29,26)=-8.61444e-12;$
 $k(29,27)=-434290;$
 $k(29,28)=-8902.94;$
 $k(29,29)=427262;$
 $k(29,30)=-17246.8;$
 $k(30,19)=43009.4;$
 $k(30,20)=-434290;$
 $k(30,21)=-1.86321e-13;$
 $k(30,25)=-43009.4;$
 $k(30,26)=-434290;$
 $k(30,27)=-1.86321e-13;$
 $k(30,28)=-174150;$
 $k(30,29)=-17246.8;$
 $k(30,30)=90779.7;$
 $k(31,19)=-1.92971e+08;$
 $k(31,20)=1.89029e+07;$
 $k(31,21)=3.6976e+08;$
 $k(31,31)=-1.92971e+08;$
 $k(31,32)=-1.89029e+07;$
 $k(31,33)=-3.6976e+08;$
 $k(31,34)=1.00711e-11;$
 $k(31,35)=841306;$
 $k(31,36)=-43009.4;$
 $k(32,19)=1.89029e+07;$
 $k(32,20)=-3.97005e+06;$
 $k(32,21)=-3.66187e+07;$
 $k(32,31)=-1.89029e+07;$
 $k(32,32)=-3.97005e+06;$
 $k(32,33)=3.66187e+07;$
 $k(32,34)=-841306;$
 $k(32,35)=-8.61444e-12;$
 $k(32,36)=-434290;$
 $k(33,19)=-3.6976e+08;$
 $k(33,20)=-3.66187e+07;$
 $k(33,21)=-7.18395e+08;$
 $k(33,31)=-3.6976e+08;$
 $k(33,32)=3.66187e+07;$
 $k(33,33)=7.18395e+08;$
 $k(33,34)=43009.4;$

k(33,35)=434290;
 k(33,36)=1.86321e-13;
 k(34,19)=-1.00711e-11;
 k(34,20)=841306;
 k(34,21)=-43009.4;
 k(34,31)=1.00711e-11;
 k(34,32)=-841306;
 k(34,33)=43009.4;
 k(34,34)=338245;
 k(34,35)=8902.94;
 k(34,36)=174150;
 k(35,19)=-841306;
 k(35,20)=-8.61444e-12;
 k(35,21)=-434290;
 k(35,31)=841306;
 k(35,32)=8.61444e-12;
 k(35,33)=434290;
 k(35,34)=8902.94;
 k(35,35)=427262;
 k(35,36)=-17246.8;
 k(36,19)=43009.4;
 k(36,20)=434290;
 k(36,21)=-1.86321e-13;
 k(36,31)=-43009.4;
 k(36,32)=-434290;
 k(36,33)=1.86321e-13;
 k(36,34)=174150;
 k(36,35)=-17246.8;
 k(36,36)=90779.7;
 k(37,37)=6.93248e+08;
 k(37,43)=-2.99578e+08;
 k(37,48)=-8.76266e+07;
 k(37,85)=-3.9367e+08;
 k(37,90)=6.69239e+07;
 k(38,38)=1.13014e+10;
 k(38,44)=-8.83077e+09;
 k(38,86)=-2.47059e+09;
 k(39,39)=6.93248e+08;
 k(39,45)=-2.99578e+08;
 k(39,46)=8.76266e+07;
 k(39,87)=-3.9367e+08;
 k(39,88)=6.69239e+07;
 k(40,40)=2;
 k(41,41)=2;
 k(42,42)=2;
 k(43,37)=-2.99578e+08;
 k(43,43)=2.99578e+08;
 k(43,48)=8.76266e+07;
 k(44,38)=-8.83077e+09;
 k(44,44)=-8.83077e+09;
 k(45,39)=-2.99578e+08;
 k(45,45)=2.99578e+08;
 k(45,46)=-8.76266e+07;
 k(46,39)=8.76266e+07;
 k(46,45)=-8.76266e+07;
 k(46,46)=2.56308e+07;
 k(48,37)=-8.76266e+07;
 k(48,43)=8.76266e+07;
 k(48,48)=2.56308e+07;
 k(49,49)=6.93248e+08;
 k(49,55)=-2.99578e+08;
 k(49,60)=-8.76266e+07;
 k(49,91)=-3.9367e+08;
 k(49,96)=6.69239e+07;
 k(50,50)=1.13014e+10;
 k(50,56)=-8.83077e+09;
 k(50,92)=-2.47059e+09;
 k(51,51)=6.93248e+08;
 k(51,57)=-2.99578e+08;
 k(51,58)=8.76266e+07;
 k(51,93)=-3.9367e+08;
 k(51,94)=-6.69239e+07;
 k(52,52)=2;
 k(53,53)=2;
 k(54,54)=2;
 k(55,49)=-2.99578e+08;
 k(55,55)=2.99578e+08;
 k(55,60)=8.76266e+07;
 k(56,50)=-8.83077e+09;
 k(56,56)=8.83077e+09;
 k(57,51)=-2.99578e+08;
 k(57,57)=2.99578e+08;
 k(57,58)=-8.76266e+07;
 k(58,51)=8.76266e+07;
 k(58,57)=-8.76266e+07;
 k(58,58)=2.56308e+07;
 k(60,49)=-8.76266e+07;
 k(60,55)=8.76266e+07;
 k(60,60)=2.56308e+07;
 k(61,61)=3.16626e+07;
 k(61,67)=-1.255e+07;
 k(61,71)=-5.27099e+06;
 k(61,72)=-9.16148e+06;
 k(61,97)=1.91126e+07;
 k(61,101)=2.48464e+06;
 k(61,102)=-8.5529e+06;
 k(62,62)=3.13998e+09;
 k(62,63)=-1.08396e+09;
 k(62,68)=-2.30735e+09;
 k(62,69)=1.32029e+09;
 k(62,70)=5.27099e+06;
 k(62,98)=-8.32633e+08;
 k(62,99)=-2.3633e+08;
 k(62,100)=-2.48464e+06;
 k(63,62)=-1.08396e+09;
 k(63,63)=8.59939e+08;
 k(63,68)=1.32029e+09;
 k(63,69)=-7.72172e+08;
 k(63,70)=9.16148e+06;
 k(63,98)=-2.3633e+08;
 k(63,99)=-8.77671e+07;
 k(63,100)=8.5529e+06;
 k(64,64)=2;
 k(65,65)=2;
 k(66,66)=2;
 k(67,61)=-1.255e+07;
 k(67,67)=1.255e+07;
 k(67,71)=5.27099e+06;
 k(67,72)=9.16148e+06;
 k(68,62)=-2.30735e+09;
 k(68,63)=1.32029e+09;
 k(68,68)=2.30735e+09;
 k(68,69)=-1.32029e+09;
 k(68,70)=-5.27099e+06;
 k(69,62)=1.32029e+09;
 k(69,63)=-7.72172e+08;
 k(69,68)=-1.32029e+09;
 k(69,69)=7.72172e+08;
 k(69,70)=-9.16148e+06;
 k(70,62)=5.27099e+06;
 k(70,63)=9.16148e+06;
 k(70,68)=-5.27099e+06;
 k(70,69)=-9.16148e+06;
 k(70,70)=8.90169e+06;
 k(71,61)=-5.27099e+06;
 k(71,67)=5.27099e+06;
 k(71,71)=2.21381e+06;
 k(71,72)=3.84782e+06;
 k(72,61)=-9.16148e+06;
 k(72,67)=9.16148e+06;
 k(72,71)=3.84782e+06;
 k(72,72)=-6.68788e+06;
 k(73,73)=3.16626e+07;
 k(73,79)=-1.255e+07;
 k(73,83)=-5.27099e+06;
 k(73,84)=-9.16148e+06;
 k(73,103)=-1.91126e+07;
 k(73,107)=2.48464e+06;
 k(73,108)=-8.5529e+06;
 k(74,74)=3.13998e+09;
 k(74,75)=-1.08396e+09;
 k(74,80)=-2.30735e+09;
 k(74,81)=1.32029e+09;
 k(74,82)=5.27099e+06;
 k(74,104)=-8.32633e+08;
 k(74,105)=-2.3633e+08;
 k(74,106)=-2.48464e+06;
 k(75,74)=-1.08396e+09;
 k(75,75)=8.59939e+08;
 k(75,80)=1.32029e+09;
 k(75,81)=-7.72172e+08;
 k(75,82)=9.16148e+06;
 k(75,104)=-2.3633e+08;
 k(75,105)=-8.77671e+07;
 k(75,106)=8.5529e+06;
 k(76,76)=2;
 k(77,77)=2;
 k(78,78)=2;
 k(79,73)=-1.255e+07;
 k(79,79)=1.255e+07;
 k(79,83)=5.27099e+06;
 k(79,84)=9.16148e+06;
 k(80,74)=-2.30735e+09;
 k(80,75)=1.32029e+09;
 k(80,80)=2.30735e+09;
 k(80,81)=-1.32029e+09;
 k(80,82)=-5.27099e+06;
 k(81,74)=1.32029e+09;
 k(81,75)=-7.72172e+08;
 k(81,80)=-1.32029e+09;
 k(81,81)=7.72172e+08;
 k(81,82)=-9.16148e+06;
 k(82,74)=5.27099e+06;
 k(82,75)=9.16148e+06;
 k(82,80)=-5.27099e+06;
 k(82,81)=-9.16148e+06;
 k(82,82)=8.90169e+06;
 k(83,73)=-5.27099e+06;
 k(83,79)=5.27099e+06;
 k(83,83)=2.21381e+06;
 k(83,84)=3.84782e+06;
 k(84,73)=-9.16148e+06;
 k(84,79)=9.16148e+06;
 k(84,83)=3.84782e+06;
 k(84,84)=6.68788e+06;
 k(85,13)=-8.46512e+09;
 k(85,37)=-3.9367e+08;
 k(85,85)=9.28588e+10;
 k(85,90)=-6.69239e+07;
 k(85,97)=-8.4e+10;
 k(86,14)=-5.8789e+08;
 k(86,18)=-1.89594e+08;
 k(86,38)=-2.47059e+09;
 k(86,86)=5.77485e+11;
 k(86,90)=1.84793e+10;
 k(86,98)=-5.74427e+11;
 k(86,102)=1.86689e+10;

$k(87,15) = -5.8789e+08;$
 $k(87,17) = 1.89594e+08;$
 $k(87,39) = -3.9367e+08;$
 $k(87,87) = 5.75409e+11;$
 $k(87,88) = 6.69239e+07;$
 $k(87,89) = -1.84793e+10;$
 $k(87,99) = -5.74427e+11;$
 $k(87,101) = -1.86689e+08;$
 $k(88,16) = -1.26171e+07;$
 $k(88,39) = -6.69239e+07;$
 $k(88,87) = 6.69239e+07;$
 $k(88,88) = 1.49194e+08;$
 $k(88,100) = -1.252e+08;$
 $k(89,15) = -1.89594e+08;$
 $k(89,17) = 4.07628e+07;$
 $k(89,87) = -1.84793e+10;$
 $k(89,89) = -8.9051e+08;$
 $k(89,99) = 1.86689e+10;$
 $k(89,101) = 4.04492e+08;$
 $k(90,14) = 1.89594e+08;$
 $k(90,18) = 4.07628e+07;$
 $k(90,37) = -6.69239e+07;$
 $k(90,85) = -6.69239e+07;$
 $k(90,86) = 1.84793e+10;$
 $k(90,90) = 9.01887e+08;$
 $k(90,98) = -1.86689e+10;$
 $k(90,102) = 4.04492e+08;$
 $k(91,49) = -3.9367e+08;$
 $k(91,91) = -8.43937e+10;$
 $k(91,96) = -6.69239e+07;$
 $k(91,103) = -8.4e+10;$
 $k(92,50) = -2.47059e+09;$
 $k(92,92) = 5.76898e+11;$
 $k(92,96) = -1.86689e+10;$
 $k(92,104) = -5.74427e+11;$
 $k(92,108) = -1.86689e+10;$
 $k(93,51) = -3.9367e+08;$
 $k(93,93) = 5.74821e+11;$
 $k(93,94) = 6.69239e+07;$
 $k(93,95) = 1.86689e+10;$
 $k(93,105) = -5.74427e+11;$
 $k(93,107) = -1.86689e+10;$
 $k(94,51) = -6.69239e+07;$
 $k(94,93) = 6.69239e+07;$
 $k(94,94) = 1.36577e+08;$
 $k(94,106) = -1.252e+08;$
 $k(95,93) = 1.86689e+10;$
 $k(95,95) = 8.08985e+08;$
 $k(95,105) = -1.86689e+10;$
 $k(95,107) = 4.04492e+08;$
 $k(96,49) = 6.69239e+07;$
 $k(96,91) = -6.69239e+07;$
 $k(96,92) = -1.86689e+10;$
 $k(96,96) = 8.20362e+08;$
 $k(96,104) = 1.86689e+10;$
 $k(96,108) = 4.04492e+08;$
 $k(97,1) = -2.184e+10;$
 $k(97,7) = -4.5124e+09;$
 $k(97,61) = -1.91126e+07;$
 $k(97,85) = -8.4e+10;$
 $k(97,97) = 1.10372e+11;$
 $k(97,101) = -2.48464e+06;$
 $k(97,102) = 8.5529e+06;$
 $k(98,2) = -1.00961e+10;$
 $k(98,6) = 1.26202e+09;$
 $k(98,8) = -8.90469e+07;$
 $k(98,12) = 5.38734e+07;$
 $k(98,62) = -8.32633e+08;$
 $k(98,63) = -2.3633e+08;$

 $k(98,86) = -5.74427e+11;$
 $k(98,90) = -1.86689e+10;$
 $k(98,98) = 5.85445e+11;$
 $k(98,99) = 2.3633e+08;$
 $k(98,100) = 2.48464e+06;$
 $k(98,102) = -1.7353e+10;$
 $k(99,3) = -1.00961e+10;$
 $k(99,5) = -1.26202e+09;$
 $k(99,9) = -8.90469e+07;$
 $k(99,11) = -5.38734e+07;$
 $k(99,62) = -2.3633e+08;$
 $k(99,63) = -8.77671e+07;$
 $k(99,87) = -5.74427e+11;$
 $k(99,89) = 1.86689e+10;$
 $k(99,98) = 2.3633e+08;$
 $k(99,99) = 5.847e+11;$
 $k(99,100) = -8.5529e+06;$
 $k(99,101) = 1.7353e+10;$
 $k(100,4) = -3.2552e+07;$
 $k(100,10) = -6.72562e+06;$
 $k(100,62) = -2.48464e+06;$
 $k(100,63) = 8.5529e+06;$
 $k(100,88) = -1.252e+08;$
 $k(100,98) = 2.48464e+06;$
 $k(100,99) = -8.5529e+06;$
 $k(100,100) = 1.68628e+08;$
 $k(101,3) = 1.26202e+09;$
 $k(101,5) = 1.05168e+08;$
 $k(101,9) = 5.38734e+07;$
 $k(101,11) = 2.17289e+07;$
 $k(101,61) = 2.48464e+06;$
 $k(101,87) = -1.86689e+10;$
 $k(101,89) = 4.04492e+08;$
 $k(101,97) = -2.48464e+06;$
 $k(101,99) = 1.7353e+10;$
 $k(101,101) = 1.0631e+09;$
 $k(101,102) = -1.11188e+06;$
 $k(102,2) = -1.26202e+09;$
 $k(102,6) = 1.05168e+08;$
 $k(102,8) = -5.38734e+07;$
 $k(102,12) = 2.17289e+07;$
 $k(102,61) = -8.5529e+06;$
 $k(102,86) = 1.86689e+10;$
 $k(102,90) = 4.04492e+08;$
 $k(102,97) = 8.5529e+06;$
 $k(102,98) = -1.7353e+10;$
 $k(102,101) = -1.11188e+06;$
 $k(102,102) = 1.06661e+09;$
 $k(103,1) = -2.184e+10;$
 $k(103,73) = -1.91126e+07;$
 $k(103,91) = -8.4e+10;$
 $k(103,103) = 1.05859e+11;$
 $k(103,107) = -2.48464e+06;$
 $k(103,108) = 8.5529e+06;$
 $k(104,2) = -1.00961e+10;$
 $k(104,6) = -1.26202e+09;$
 $k(104,74) = -8.32633e+08;$
 $k(104,75) = -2.3633e+08;$
 $k(104,92) = -5.74427e+11;$
 $k(104,96) = 1.86689e+10;$
 $k(104,104) = 5.85356e+11;$
 $k(104,105) = 2.3633e+08;$
 $k(104,106) = 2.48464e+06;$
 $k(104,108) = 1.74069e+10;$
 $k(105,3) = -1.00961e+10;$
 $k(105,5) = 1.26202e+09;$
 $k(105,74) = -2.3633e+08;$
 $k(105,75) = -8.77671e+07;$
 $k(105,93) = -5.74427e+11;$

ANEXO G Modelo simulando total esterçamento
 Apenas os elementos não nulos das matrizes de massa e rigidez estão representados

$m(1,1)=47.5741;$	$m(37,37)=15.3884;$	$m(73,73)=37.113;$
$m(2,2)=47.5741;$	$m(38,38)=15.3884;$	$m(74,74)=37.113;$
$m(3,3)=47.5741;$	$m(39,39)=15.3884;$	$m(75,75)=37.113;$
$m(4,4)=0.247434;$	$m(40,40)=0.147345;$	$m(76,76)=2.06448;$
$m(5,5)=0.247434;$	$m(41,41)=0.147345;$	$m(77,77)=2.06448;$
$m(6,6)=0.247434;$	$m(42,42)=0.147345;$	$m(78,78)=2.06448;$
$m(7,7)=114.829;$	$m(43,43)=15.2643;$	$m(79,79)=36.7935;$
$m(8,8)=114.829;$	$m(44,44)=15.2643;$	$m(80,80)=36.7935;$
$m(9,9)=114.829;$	$m(45,45)=15.2643;$	$m(81,81)=36.7935;$
$m(10,10)=14.0101;$	$m(46,46)=0.147046;$	$m(82,82)=2.05938;$
$m(11,11)=14.0101;$	$m(47,47)=0.147046;$	$m(83,83)=2.05938;$
$m(12,12)=14.0101;$	$m(48,48)=0.147046;$	$m(84,84)=2.05938;$
$m(13,13)=61.2105;$	$m(49,49)=15.3884;$	$m(85,85)=67.5031;$
$m(14,14)=61.2105;$	$m(50,50)=15.3884;$	$m(86,86)=67.5031;$
$m(15,15)=61.2105;$	$m(51,51)=15.3884;$	$m(87,87)=67.5031;$
$m(16,16)=2.12209;$	$m(52,52)=0.147345;$	$m(88,88)=2.12456;$
$m(17,17)=2.12209;$	$m(53,53)=0.147345;$	$m(89,89)=2.12456;$
$m(18,18)=2.12209;$	$m(54,54)=0.147345;$	$m(90,90)=2.12456;$
$m(19,19)=6.5925;$	$m(55,55)=15.2643;$	$m(91,91)=6.2926;$
$m(20,20)=6.5925;$	$m(56,56)=15.2643;$	$m(92,92)=6.2926;$
$m(21,21)=6.5925;$	$m(57,57)=15.2643;$	$m(93,93)=6.2926;$
$m(22,22)=0.110466;$	$m(58,58)=0.147046;$	$m(94,94)=0.0024707;$
$m(23,23)=0.110466;$	$m(59,59)=0.147046;$	$m(95,95)=0.0024707;$
$m(24,24)=0.110466;$	$m(60,60)=0.147046;$	$m(96,96)=0.0024707;$
$m(25,25)=3.2342;$	$m(61,61)=39.0962;$	$m(97,97)=145.021;$
$m(26,26)=3.2342;$	$m(62,62)=39.0962;$	$m(98,98)=145.021;$
$m(27,27)=3.2342;$	$m(63,63)=39.0962;$	$m(99,99)=145.021;$
$m(28,28)=0.0550836;$	$m(64,64)=2.41868;$	$m(100,100)=14.14;$
$m(29,29)=0.0550836;$	$m(65,65)=2.41868;$	$m(101,101)=14.14;$
$m(30,30)=0.0550836;$	$m(66,66)=2.41868;$	$m(102,102)=14.14;$
$m(31,31)=3.2342;$	$m(67,67)=38.7973;$	$m(103,103)=30.213;$
$m(32,32)=3.2342;$	$m(68,68)=38.7973;$	$m(104,104)=30.213;$
$m(33,33)=3.2342;$	$m(69,69)=38.7973;$	$m(105,105)=30.213;$
$m(34,34)=0.0550836;$	$m(70,70)=2.41451;$	$m(106,106)=0.130838;$
$m(35,35)=0.0550836;$	$m(71,71)=2.41451;$	$m(107,107)=0.130838;$
$m(36,36)=0.0550836;$	$m(72,72)=2.41451;$	$m(108,108)=0.130838;$

$k(1,1)=4.40737e+10;$
 $k(1,6)=-6.69239e+07;$
 $k(1,19)=-3.9367e+08;$
 $k(1,97)=-2.184e+10;$
 $k(1,103)=-2.184e+10;$
 $k(2,2)=-2.26628e+10;$
 $k(2,20)=-2.47059e+09;$
 $k(2,98)=-1.00961e+10;$
 $k(2,102)=-1.26202e+09;$
 $k(2,104)=-1.00961e+10;$
 $k(2,108)=1.26202e+09;$
 $k(3,3)=2.05859e+10;$
 $k(3,4)=6.69239e+07;$
 $k(3,21)=-3.9367e+08;$
 $k(3,99)=-1.00961e+10;$
 $k(3,101)=1.26202e+09;$
 $k(3,105)=-1.00961e+10;$
 $k(3,107)=-1.26202e+09;$
 $k(4,3)=6.69239e+07;$
 $k(4,4)=7.64811e+07;$
 $k(4,21)=-6.69239e+07;$
 $k(4,100)=-3.2552e+07;$
 $k(4,106)=-3.2552e+07;$
 $k(5,5)=4.20672e+08;$
 $k(5,99)=-1.26202e+09;$
 $k(5,101)=1.05168e+08;$
 $k(5,105)=1.26202e+09;$
 $k(5,107)=1.05168e+08;$
 $k(6,1)=-6.69239e+07;$
 $k(6,6)=4.32049e+08;$
 $k(6,19)=6.69239e+07;$
 $k(6,98)=1.26202e+09;$
 $k(6,102)=1.05168e+08;$
 $k(6,104)=-1.26202e+09;$
 $k(6,108)=1.05168e+08;$
 $k(7,7)=4.5124e+09;$
 $k(7,97)=-4.5124e+09;$
 $k(8,8)=8.90469e+07;$
 $k(8,12)=-5.38734e+07;$
 $k(8,98)=-8.90469e+07;$
 $k(8,102)=-5.38734e+07;$
 $k(9,9)=8.90469e+07;$
 $k(9,11)=5.38734e+07;$
 $k(9,99)=-8.90469e+07;$
 $k(9,101)=5.38734e+07;$
 $k(10,10)=6.72562e+06;$
 $k(10,100)=-6.72562e+06;$
 $k(11,9)=5.38734e+07;$
 $k(11,11)=-4.34579e+07;$
 $k(11,99)=-5.38734e+07;$
 $k(11,101)=2.17289e+07;$
 $k(12,8)=5.38734e+07;$
 $k(12,12)=4.34579e+07;$
 $k(12,98)=-5.38734e+07;$
 $k(12,102)=2.17289e+07;$
 $k(13,13)=-8.46512e+09;$
 $k(13,85)=-8.46512e+09;$
 $k(14,14)=5.8789e+08;$
 $k(14,18)=1.89594e+08;$
 $k(14,86)=-5.8789e+08;$
 $k(14,90)=1.89594e+08;$
 $k(15,15)=5.8789e+08;$
 $k(15,17)=-1.89594e+08;$
 $k(15,87)=-5.8789e+08;$
 $k(15,89)=-1.89594e+08;$
 $k(16,16)=1.26171e+07;$
 $k(16,88)=-1.26171e+07;$
 $k(17,15)=-1.89594e+08;$
 $k(17,17)=8.15256e+07;$
 $k(17,87)=1.89594e+08;$
 $k(17,89)=4.07628e+07;$
 $k(18,14)=1.89594e+08;$
 $k(18,18)=8.15256e+07;$
 $k(18,86)=-1.89594e+08;$
 $k(18,90)=-4.07628e+07;$
 $k(19,1)=-3.9367e+08;$
 $k(19,6)=6.69239e+07;$
 $k(19,19)=7.7874e+08;$
 $k(19,25)=-1.92535e+08;$
 $k(19,26)=2.48402e+07;$
 $k(19,27)=-3.68923e+08;$
 $k(19,28)=-2.45395e-11;$
 $k(19,29)=-839400;$
 $k(19,30)=-56518.2;$
 $k(19,31)=-1.92535e+08;$
 $k(19,32)=2.48402e+07;$
 $k(19,33)=3.68923e+08;$
 $k(19,34)=2.45395e-11;$
 $k(19,35)=-839400;$
 $k(19,36)=-56518.2;$
 $k(20,2)=-2.47059e+09;$
 $k(20,20)=2.48125e+09;$
 $k(20,21)=-9.62408e+07;$
 $k(20,25)=2.48402e+07;$
 $k(20,26)=-5.33329e+06;$
 $k(20,27)=4.81204e+07;$
 $k(20,28)=-839400;$
 $k(20,29)=-9.76108e-13;$
 $k(20,30)=-433306;$
 $k(20,31)=2.48402e+07;$
 $k(20,32)=-5.33329e+06;$
 $k(20,33)=4.81204e+07;$
 $k(20,34)=-839400;$
 $k(20,35)=-9.76108e-13;$
 $k(20,36)=433306;$
 $k(21,3)=-3.9367e+08;$
 $k(21,4)=-6.69239e+07;$
 $k(21,20)=-9.62408e+07;$
 $k(21,21)=1.82721e+09;$
 $k(21,25)=-3.68923e+08;$
 $k(21,26)=4.81204e+07;$
 $k(21,27)=-7.16771e+08;$
 $k(21,28)=-56518.2;$
 $k(21,29)=433306;$
 $k(21,30)=2.02752e-13;$
 $k(21,31)=3.68923e+08;$
 $k(21,32)=4.81204e+07;$
 $k(21,33)=-7.16771e+08;$
 $k(21,34)=-56518.2;$
 $k(21,35)=-433306;$
 $k(21,36)=-2.02752e-13;$
 $k(22,22)=3;$
 $k(23,23)=3;$
 $k(24,24)=3;$
 $k(25,19)=-1.92535e+08;$
 $k(25,20)=2.48402e+07;$
 $k(25,21)=-3.68923e+08;$
 $k(25,25)=1.92535e+08;$
 $k(25,26)=-2.48402e+07;$
 $k(25,27)=3.68923e+08;$
 $k(25,28)=2.45395e-11;$
 $k(25,29)=-839400;$
 $k(25,30)=-56518.2;$
 $k(26,19)=2.48402e+07;$
 $k(26,20)=-5.33329e+06;$
 $k(26,21)=4.81204e+07;$
 $k(26,25)=-2.48402e+07;$
 $k(26,26)=5.33329e+06;$
 $k(26,27)=-4.81204e+07;$
 $k(26,28)=-839400;$
 $k(26,29)=9.76108e-13;$
 $k(26,30)=-433306;$
 $k(27,19)=-3.68923e+08;$
 $k(27,20)=-4.81204e+07;$
 $k(27,21)=-7.16771e+08;$
 $k(27,25)=-3.68923e+08;$
 $k(27,26)=-4.81204e+07;$
 $k(27,27)=7.16771e+08;$
 $k(27,28)=-56518.2;$
 $k(27,29)=-433306;$
 $k(27,30)=-2.02752e-13;$
 $k(28,19)=-2.45395e-11;$
 $k(28,20)=839400;$
 $k(28,21)=56518.2;$
 $k(28,25)=2.45395e-11;$
 $k(28,26)=-839400;$
 $k(28,27)=-56518.2;$
 $k(28,28)=338125;$
 $k(28,29)=-11699.3;$
 $k(28,30)=-173756;$
 $k(29,19)=-839400;$
 $k(29,20)=-9.76108e-13;$
 $k(29,21)=-433306;$
 $k(29,25)=839400;$
 $k(29,26)=9.76108e-13;$
 $k(29,27)=-433306;$
 $k(29,28)=11699.3;$
 $k(29,29)=426294;$
 $k(29,30)=22663.8;$
 $k(30,19)=-56518.2;$
 $k(30,20)=-433306;$
 $k(30,21)=2.02752e-13;$
 $k(30,25)=56518.2;$
 $k(30,26)=433306;$
 $k(30,27)=-2.02752e-13;$
 $k(30,28)=-173756;$
 $k(30,29)=22663.8;$
 $k(30,30)=91220.4;$
 $k(31,19)=-1.92535e+08;$
 $k(31,20)=-2.48402e+07;$
 $k(31,21)=3.68923e+08;$
 $k(31,31)=1.92535e+08;$
 $k(31,32)=2.48402e+07;$
 $k(31,33)=-3.68923e+08;$
 $k(31,34)=-2.45395e-11;$
 $k(31,35)=-839400;$
 $k(31,36)=-56518.2;$
 $k(32,19)=-2.48402e+07;$
 $k(32,20)=-5.33329e+06;$
 $k(32,21)=4.81204e+07;$
 $k(32,31)=2.48402e+07;$
 $k(32,32)=5.33329e+06;$
 $k(32,33)=-4.81204e+07;$
 $k(32,34)=-839400;$
 $k(32,35)=-9.76108e-13;$
 $k(32,36)=-433306;$
 $k(33,19)=3.68923e+08;$
 $k(33,20)=4.81204e+07;$
 $k(33,21)=-7.16771e+08;$
 $k(33,31)=-3.68923e+08;$
 $k(33,32)=-4.81204e+07;$
 $k(33,33)=7.16771e+08;$
 $k(33,34)=-56518.2;$
 $k(33,35)=433306;$
 $k(33,36)=2.02752e-13;$
 $k(34,19)=2.45395e-11;$

k(34,20)=839400;
 k(34,21)=56518.2;
 k(34,31)=-2.45395e-11;
 k(34,32)=-839400;
 k(34,33)=-56518.2;
 k(34,34)=338125;
 k(34,35)=-11699.3;
 k(34,36)=173756;
 k(35,19)=-839400;
 k(35,20)=9.76108e-13;
 k(35,21)=-433306;
 k(35,31)=839400;
 k(35,32)=-9.76108e-13;
 k(35,33)=433306;
 k(35,34)=-11699.3;
 k(35,35)=426294;
 k(35,36)=22663.8;
 k(36,19)=-56518.2;
 k(36,20)=433306;
 k(36,21)=-2.02752e-13;
 k(36,31)=56518.2;
 k(36,32)=-433306;
 k(36,33)=2.02752e-13;
 k(36,34)=173756;
 k(36,35)=22663.8;
 k(36,36)=91220.4;
 k(37,37)=5.84414e+08;
 k(37,43)=-1.90744e+08;
 k(37,48)=-6.48529e+07;
 k(37,85)=-3.9367e+08;
 k(37,90)=6.69239e+07;
 k(38,38)=1.00676e+10;
 k(38,44)=-7.59706e+09;
 k(38,86)=-2.47059e+09;
 k(39,39)=5.84414e+08;
 k(39,45)=-1.90744e+08;
 k(39,46)=6.48529e+07;
 k(39,87)=-3.9367e+08;
 k(39,88)=-6.69239e+07;
 k(40,40)=2;
 k(41,41)=2;
 k(42,42)=2;
 k(43,37)=-1.90744e+08;
 k(43,43)=1.90744e+08;
 k(43,48)=6.48529e+07;
 k(44,38)=-7.59706e+09;
 k(44,44)=-7.59706e+09;
 k(45,39)=-1.90744e+08;
 k(45,45)=1.90744e+08;
 k(45,46)=-6.48529e+07;
 k(46,39)=6.48529e+07;
 k(46,45)=-6.48529e+07;
 k(46,46)=2.205e+07;
 k(48,37)=-6.48529e+07;
 k(48,43)=6.48529e+07;
 k(48,48)=2.205e+07;
 k(49,49)=5.84414e+08;
 k(49,55)=-1.90744e+08;
 k(49,60)=-6.48529e+07;
 k(49,91)=-3.9367e+08;
 k(49,96)=6.69239e+07;
 k(50,50)=1.00676e+10;
 k(50,56)=-7.59706e+09;
 k(50,92)=-2.47059e+09;
 k(51,51)=5.84414e+08;
 k(51,57)=-1.90744e+08;
 k(51,58)=6.48529e+07;
 k(51,93)=-3.9367e+08;
 k(51,94)=-6.69239e+07;
 k(52,52)=2;
 k(53,53)=2;
 k(54,54)=2;
 k(55,49)=-1.90744e+08;
 k(55,55)=1.90744e+08;
 k(55,60)=6.48529e+07;
 k(56,50)=-7.59706e+09;
 k(56,56)=7.59706e+09;
 k(57,51)=-1.90744e+08;
 k(57,57)=1.90744e+08;
 k(57,58)=-6.48529e+07;
 k(58,51)=6.48529e+07;
 k(58,57)=-6.48529e+07;
 k(58,58)=2.205e+07;
 k(60,49)=-6.48529e+07;
 k(60,55)=6.48529e+07;
 k(60,60)=2.205e+07;
 k(61,61)=3.97906e+07;
 k(61,67)=-1.16165e+07;
 k(61,71)=-5.37263e+06;
 k(61,72)=-8.48005e+06;
 k(61,97)=-2.81741e+07;
 k(61,101)=2.46523e+06;
 k(61,102)=-1.12696e+07;
 k(62,62)=3.11636e+09;
 k(62,63)=-1.13778e+09;
 k(62,68)=-2.13617e+09;
 k(62,69)=1.34603e+09;
 k(62,70)=5.37263e+06;
 k(62,98)=-9.8019e+08;
 k(62,99)=-2.08253e+08;
 k(62,100)=-2.46523e+06;
 k(63,62)=-1.13778e+09;
 k(63,63)=9.38141e+08;
 k(63,68)=1.34603e+09;
 k(63,69)=-8.64412e+08;
 k(63,70)=8.48005e+06;
 k(63,98)=-2.08253e+08;
 k(63,99)=-7.37295e+07;
 k(63,100)=1.12696e+07;
 k(64,64)=2;
 k(65,65)=2;
 k(66,66)=2;
 k(67,61)=-1.16165e+07;
 k(67,67)=1.16165e+07;
 k(67,71)=-5.37263e+06;
 k(67,72)=8.48005e+06;
 k(68,62)=-2.13617e+09;
 k(68,63)=1.34603e+09;
 k(68,68)=-2.13617e+09;
 k(68,69)=-1.34603e+09;
 k(68,70)=-5.37263e+06;
 k(69,62)=1.34603e+09;
 k(69,63)=-8.64412e+08;
 k(69,68)=-1.34603e+09;
 k(69,69)=8.64412e+08;
 k(69,70)=-8.48005e+06;
 k(70,62)=-5.37263e+06;
 k(70,63)=8.48005e+06;
 k(70,68)=-5.37263e+06;
 k(70,69)=-8.48005e+06;
 k(70,70)=8.67528e+06;
 k(71,61)=-5.37263e+06;
 k(71,67)=5.37263e+06;
 k(71,71)=2.48484e+06;
 k(71,72)=3.92202e+06;
 k(72,61)=-8.48005e+06;
 k(72,67)=8.48005e+06;
 k(72,71)=3.92202e+06;
 k(72,72)=6.19044e+06;
 k(73,73)=3.6698e+07;
 k(73,79)=-1.36197e+07;
 k(73,83)=-5.07333e+06;
 k(73,84)=-9.94237e+06;
 k(73,103)=-2.30783e+07;
 k(73,107)=4.0964e+06;
 k(73,108)=-9.23133e+06;
 k(74,74)=3.30909e+09;
 k(74,75)=-9.23227e+08;
 k(74,80)=-2.50344e+09;
 k(74,81)=1.27049e+09;
 k(74,82)=5.07333e+06;
 k(74,104)=-8.0565e+08;
 k(74,105)=-3.47266e+08;
 k(74,106)=-4.0964e+06;
 k(75,74)=-9.23227e+08;
 k(75,75)=8.39097e+08;
 k(75,80)=1.27049e+09;
 k(75,81)=-6.61919e+08;
 k(75,82)=-9.94237e+06;
 k(75,104)=-3.47266e+08;
 k(75,105)=-1.77178e+08;
 k(75,106)=9.23133e+06;
 k(76,76)=2;
 k(77,77)=2;
 k(78,78)=2;
 k(79,73)=-1.36197e+07;
 k(79,79)=1.36197e+07;
 k(79,83)=-5.07333e+06;
 k(79,84)=9.94237e+06;
 k(80,74)=-2.50344e+09;
 k(80,75)=1.27049e+09;
 k(80,80)=2.50344e+09;
 k(80,81)=-1.27049e+09;
 k(80,82)=-5.07333e+06;
 k(81,74)=1.27049e+09;
 k(81,75)=-6.61919e+08;
 k(81,80)=-1.27049e+09;
 k(81,81)=6.61919e+08;
 k(81,82)=-9.94237e+06;
 k(82,74)=5.07333e+06;
 k(82,75)=-9.94237e+06;
 k(82,80)=-5.07333e+06;
 k(82,81)=-9.94237e+06;
 k(82,82)=9.14774e+06;
 k(83,73)=-5.07333e+06;
 k(83,79)=-5.07333e+06;
 k(83,83)=1.88982e+06;
 k(83,84)=3.70353e+06;
 k(84,73)=-9.94237e+06;
 k(84,79)=-9.94237e+06;
 k(84,83)=3.70353e+06;
 k(84,84)=7.25793e+06;
 k(85,13)=-8.46512e+09;
 k(85,37)=-3.9367e+08;
 k(85,85)=9.28588e+10;
 k(85,90)=-6.69239e+07;
 k(85,97)=-8.4e+10;
 k(86,14)=-5.8789e+08;
 k(86,18)=-1.89594e+08;
 k(86,38)=-2.47059e+09;
 k(86,86)=5.77485e+11;
 k(86,90)=1.84793e+10;
 k(86,98)=-5.74427e+11;
 k(86,102)=1.86689e+10;
 k(87,15)=-5.8789e+08;
 k(87,17)=1.89594e+08;
 k(87,39)=-3.9367e+08;

$k(87,87)=5.75409e+11;$
 $k(87,88)=6.69239e+07;$
 $k(87,89)=-1.84793e+10;$
 $k(87,99)=-5.74427e+11;$
 $k(87,101)=-1.86689e+10;$
 $k(88,16)=-1.26171e+07;$
 $k(88,39)=6.69239e+07;$
 $k(88,87)=6.69239e+07;$
 $k(88,88)=1.49194e+08;$
 $k(88,100)=-1.252e+08;$
 $k(89,15)=-1.89594e+08;$
 $k(89,17)=4.07628e+07;$
 $k(89,87)=-1.84793e+10;$
 $k(89,89)=8.9051e+08;$
 $k(89,99)=1.86689e+10;$
 $k(89,101)=4.04492e+08;$
 $k(90,14)=1.89594e+08;$
 $k(90,18)=4.07628e+07;$
 $k(90,37)=6.69239e+07;$
 $k(90,85)=-6.69239e+07;$
 $k(90,86)=1.84793e+10;$
 $k(90,90)=9.01887e+08;$
 $k(90,98)=-1.86689e+10;$
 $k(90,102)=4.04492e+08;$
 $k(91,49)=-3.9367e+08;$
 $k(91,91)=8.43937e+10;$
 $k(91,96)=-6.69239e+07;$
 $k(91,103)=-8.4e+10;$
 $k(92,50)=-2.47059e+09;$
 $k(92,92)=5.76898e+11;$
 $k(92,96)=-1.86689e+10;$
 $k(92,104)=-5.74427e+11;$
 $k(92,108)=-1.86689e+10;$
 $k(93,51)=-3.9367e+08;$
 $k(93,93)=5.74821e+11;$
 $k(93,94)=6.69239e+07;$
 $k(93,95)=1.86689e+10;$
 $k(93,105)=-5.74427e+11;$
 $k(93,107)=1.86689e+10;$
 $k(94,51)=-6.69239e+07;$
 $k(94,93)=6.69239e+07;$
 $k(94,94)=1.36577e+08;$
 $k(94,106)=-1.252e+08;$
 $k(95,93)=1.86689e+10;$
 $k(95,95)=8.08985e+08;$
 $k(95,105)=-1.86689e+10;$
 $k(95,107)=4.04492e+08;$
 $k(96,49)=6.69239e+07;$
 $k(96,91)=-6.69239e+07;$
 $k(96,92)=-1.86689e+10;$
 $k(96,96)=8.20362e+08;$
 $k(96,104)=1.86689e+10;$
 $k(96,108)=4.04492e+08;$
 $k(97,1)=-2.184e+10;$
 $k(97,7)=-4.5124e+09;$
 $k(97,61)=-2.81741e+07;$
 $k(97,85)=-8.4e+10;$
 $k(97,97)=1.10381e+11;$
 $k(97,101)=-2.46523e+06;$
 $k(97,102)=1.12696e+07;$
 $k(98,2)=-1.00961e+10;$
 $k(98,6)=1.26202e+09;$
 $k(98,8)=-8.90469e+07;$
 $k(98,12)=5.38734e+07;$
 $k(98,62)=-9.8019e+08;$
 $k(98,63)=-2.08253e+08;$
 $k(98,86)=-5.74427e+11;$
 $k(98,90)=-1.86689e+10;$
 $k(98,98)=5.85592e+11;$
 $k(98,99)=2.08253e+08;$
 $k(98,100)=2.46523e+06;$
 $k(98,102)=-1.7353e+10;$
 $k(99,3)=-1.00961e+10;$
 $k(99,5)=-1.26202e+09;$
 $k(99,9)=-8.90469e+07;$
 $k(99,11)=-5.38734e+07;$
 $k(99,62)=2.08253e+08;$
 $k(99,63)=-7.37295e+07;$
 $k(99,87)=-5.74427e+11;$
 $k(99,89)=1.86689e+10;$
 $k(99,98)=2.08253e+08;$
 $k(99,99)=5.84686e+11;$
 $k(99,100)=-1.12696e+07;$
 $k(99,101)=1.7353e+10;$
 $k(100,4)=-3.2552e+07;$
 $k(100,10)=-6.72562e+06;$
 $k(100,62)=-2.46523e+06;$
 $k(100,63)=1.12696e+07;$
 $k(100,88)=-1.252e+08;$
 $k(100,98)=2.46523e+06;$
 $k(100,99)=-1.12696e+07;$
 $k(100,100)=1.69201e+08;$
 $k(101,3)=1.26202e+09;$
 $k(101,5)=1.05168e+08;$
 $k(101,9)=5.38734e+07;$
 $k(101,11)=2.17289e+07;$
 $k(101,61)=2.46523e+06;$
 $k(101,87)=-1.86689e+10;$
 $k(101,89)=4.04492e+08;$
 $k(101,97)=-2.46523e+06;$
 $k(101,99)=1.7353e+10;$
 $k(101,101)=1.06299e+09;$
 $k(101,102)=-986092;$
 $k(102,2)=-1.26202e+09;$
 $k(102,6)=1.05168e+08;$
 $k(102,8)=-5.38734e+07;$
 $k(102,12)=2.17289e+07;$
 $k(102,61)=-1.12696e+07;$
 $k(102,86)=1.86689e+10;$
 $k(102,90)=4.04492e+08;$
 $k(102,97)=1.12696e+07;$
 $k(102,98)=-1.7353e+10;$
 $k(102,101)=-986092;$
 $k(102,102)=1.06729e+09;$
 $k(103,1)=-2.184e+10;$
 $k(103,73)=2.30783e+07;$
 $k(103,91)=-8.4e+10;$
 $k(103,103)=1.05863e+11;$
 $k(103,107)=-4.0964e+06;$
 $k(103,108)=9.23133e+06;$
 $k(104,2)=-1.00961e+10;$
 $k(104,6)=-1.26202e+09;$
 $k(104,74)=-8.0565e+08;$
 $k(104,75)=-3.47266e+08;$
 $k(104,92)=-5.74427e+11;$
 $k(104,96)=1.86689e+10;$
 $k(104,104)=5.85329e+11;$
 $k(104,105)=3.47266e+08;$
 $k(104,106)=4.0964e+06;$
 $k(104,108)=1.74069e+10;$
 $k(105,3)=-1.00961e+10;$
 $k(105,5)=1.26202e+09;$
 $k(105,74)=-3.47266e+08;$
 $k(105,75)=-1.77178e+08;$
 $k(105,93)=-5.74427e+11;$
 $k(105,95)=-1.86689e+10;$
 $k(105,104)=3.47266e+08;$
 $k(105,105)=5.847e+11;$

ANEXO H – Modelo simulando oscilação
 Apenas os elementos não nulos das matrizes de massa e rigidez estão representados

$m(1,1)=48.423;$	$m(38,38)=17.5209;$	$m(75,75)=38.1507;$
$m(2,2)=48.423;$	$m(39,39)=17.5209;$	$m(76,76)=2.24107;$
$m(3,3)=48.423;$	$m(40,40)=0.217986;$	$m(77,77)=2.24107;$
$m(4,4)=0.260937;$	$m(41,41)=0.217986;$	$m(78,78)=2.24107;$
$m(5,5)=0.260937;$	$m(42,42)=0.217986;$	$m(79,79)=37.8105;$
$m(6,6)=0.260937;$	$m(43,43)=17.3968;$	$m(80,80)=37.8105;$
$m(7,7)=116.817;$	$m(44,44)=17.3968;$	$m(81,81)=37.8105;$
$m(8,8)=116.817;$	$m(45,45)=17.3968;$	$m(82,82)=2.23492;$
$m(9,9)=116.817;$	$m(46,46)=0.217687;$	$m(83,83)=2.23492;$
$m(10,10)=14.7502;$	$m(47,47)=0.217687;$	$m(84,84)=2.23492;$
$m(11,11)=14.7502;$	$m(48,48)=0.217687;$	$m(85,85)=67.6421;$
$m(12,12)=14.7502;$	$m(49,49)=13.2559;$	$m(86,86)=67.6421;$
$m(13,13)=61.3495;$	$m(50,50)=13.2559;$	$m(87,87)=67.6421;$
$m(14,14)=61.3495;$	$m(51,51)=13.2559;$	$m(88,88)=2.13906;$
$m(15,15)=61.3495;$	$m(52,52)=0.0939244;$	$m(89,89)=2.13906;$
$m(16,16)=2.13659;$	$m(53,53)=0.0939244;$	$m(90,90)=2.13906;$
$m(17,17)=2.13659;$	$m(54,54)=0.0939244;$	$m(91,91)=6.2926;$
$m(18,18)=2.13659;$	$m(55,55)=13.1318;$	$m(92,92)=6.2926;$
$m(19,19)=6.5925;$	$m(56,56)=13.1318;$	$m(93,93)=6.2926;$
$m(20,20)=6.5925;$	$m(57,57)=13.1318;$	$m(94,94)=0.0024707;$
$m(21,21)=6.5925;$	$m(58,58)=0.0936255;$	$m(95,95)=0.0024707;$
$m(22,22)=0.110466;$	$m(59,59)=0.0936255;$	$m(96,96)=0.0024707;$
$m(23,23)=0.110466;$	$m(60,60)=0.0936255;$	$m(97,97)=147.409;$
$m(24,24)=0.110466;$	$m(61,61)=38.0848;$	$m(98,98)=147.409;$
$m(25,25)=3.2342;$	$m(62,62)=38.0848;$	$m(99,99)=147.409;$
$m(26,26)=3.2342;$	$m(63,63)=38.0848;$	$m(100,100)=14.886;$
$m(27,27)=3.2342;$	$m(64,64)=2.23814;$	$m(101,101)=14.886;$
$m(28,28)=0.0550836;$	$m(65,65)=2.23814;$	$m(102,102)=14.886;$
$m(29,29)=0.0550836;$	$m(66,66)=2.23814;$	$m(103,103)=30.6581;$
$m(30,30)=0.0550836;$	$m(67,67)=37.8105;$	$m(104,104)=30.6581;$
$m(31,31)=3.2342;$	$m(68,68)=37.8105;$	$m(105,105)=30.6581;$
$m(32,32)=3.2342;$	$m(69,69)=37.8105;$	$m(106,106)=0.138647;$
$m(33,33)=3.2342;$	$m(70,70)=2.23492;$	$m(107,107)=0.138647;$
$m(34,34)=0.0550836;$	$m(71,71)=2.23492;$	$m(108,108)=0.138647;$
$m(35,35)=0.0550836;$	$m(72,72)=2.23492;$	
$m(36,36)=0.0550836;$	$m(73,73)=38.1507;$	
$m(37,37)=17.5209;$	$m(74,74)=38.1507;$	

$k(1,1)=4.24779e+10;$
 $k(1,2)=4.35823e+09;$
 $k(1,6)=-6.69239e+07;$
 $k(1,19)=-3.9367e+08;$
 $k(1,97)=-2.10421e+10;$
 $k(1,98)=-2.17911e+09;$
 $k(1,102)=2.27361e+08;$
 $k(1,103)=-2.10421e+10;$
 $k(1,104)=-2.17911e+09;$
 $k(1,108)=-2.27361e+08;$
 $k(2,1)=4.35823e+09;$
 $k(2,2)=2.24448e+10;$
 $k(2,20)=-2.47059e+09;$
 $k(2,97)=-2.17911e+09;$
 $k(2,98)=-9.98713e+09;$
 $k(2,102)=-1.19664e+09;$
 $k(2,103)=-2.17911e+09;$
 $k(2,104)=-9.98713e+09;$
 $k(2,108)=1.19664e+09;$
 $k(3,3)=1.95399e+10;$
 $k(3,4)=6.69239e+07;$
 $k(3,21)=-3.9367e+08;$
 $k(3,99)=-9.57309e+09;$
 $k(3,100)=-2.27361e+08;$
 $k(3,101)=1.19664e+09;$
 $k(3,105)=-9.57309e+09;$
 $k(3,106)=2.27361e+08;$
 $k(3,107)=-1.19664e+09;$
 $k(4,3)=6.69239e+07;$
 $k(4,4)=8.75079e+07;$
 $k(4,5)=-6.40581e+07;$
 $k(4,21)=-6.69239e+07;$
 $k(4,99)=2.27361e+08;$
 $k(4,100)=-2.72657e+07;$
 $k(4,101)=-2.48112e+07;$
 $k(4,105)=-2.27361e+08;$
 $k(4,106)=-2.72657e+07;$
 $k(4,107)=-2.48112e+07;$
 $k(5,4)=-6.40581e+07;$
 $k(5,5)=4.01107e+08;$
 $k(5,99)=-1.19664e+09;$
 $k(5,100)=-2.48112e+07;$
 $k(5,101)=9.86055e+07;$
 $k(5,105)=1.19664e+09;$
 $k(5,106)=-2.48112e+07;$
 $k(5,107)=9.86055e+07;$
 $k(6,1)=-6.69239e+07;$
 $k(6,6)=4.24656e+08;$
 $k(6,19)=-6.69239e+07;$
 $k(6,97)=-2.27361e+08;$
 $k(6,98)=1.19664e+09;$
 $k(6,102)=1.0332e+08;$
 $k(6,103)=2.27361e+08;$
 $k(6,104)=-1.19664e+09;$
 $k(6,108)=1.0332e+08;$
 $k(7,7)=4.28883e+09;$
 $k(7,8)=7.85603e+08;$
 $k(7,12)=9.56162e+06;$
 $k(7,97)=-4.28883e+09;$
 $k(7,98)=-7.85603e+08;$
 $k(7,102)=9.56162e+06;$
 $k(8,7)=7.85603e+08;$
 $k(8,8)=2.31376e+08;$
 $k(8,12)=-5.11701e+07;$
 $k(8,97)=-7.85603e+08;$
 $k(8,98)=-2.31376e+08;$
 $k(8,102)=-5.11701e+07;$
 $k(9,9)=8.45787e+07;$
 $k(9,10)=-9.56162e+06;$

 $k(9,11)=5.11701e+07;$
 $k(9,99)=-8.45787e+07;$
 $k(9,100)=-9.56162e+06;$
 $k(9,101)=5.11701e+07;$
 $k(10,9)=-9.56162e+06;$
 $k(10,10)=7.82939e+06;$
 $k(10,11)=-6.51935e+06;$
 $k(10,99)=9.56162e+06;$
 $k(10,100)=-5.66751e+06;$
 $k(10,101)=-5.0502e+06;$
 $k(11,9)=5.11701e+07;$
 $k(11,10)=-6.51935e+06;$
 $k(11,11)=4.15003e+07;$
 $k(11,99)=-5.11701e+07;$
 $k(11,100)=-5.0502e+06;$
 $k(11,101)=2.04156e+07;$
 $k(12,7)=9.56162e+06;$
 $k(12,8)=-5.11701e+07;$
 $k(12,12)=4.27185e+07;$
 $k(12,97)=-9.56162e+06;$
 $k(12,98)=5.11701e+07;$
 $k(12,102)=2.13592e+07;$
 $k(13,13)=8.41033e+09;$
 $k(13,14)=5.27829e+08;$
 $k(13,18)=-1.26999e+07;$
 $k(13,85)=-8.41033e+09;$
 $k(13,86)=-5.27829e+08;$
 $k(13,90)=-1.26999e+07;$
 $k(14,13)=5.27829e+08;$
 $k(14,14)=6.19499e+08;$
 $k(14,18)=1.88308e+08;$
 $k(14,85)=-5.27829e+08;$
 $k(14,86)=-6.19499e+08;$
 $k(14,90)=1.88308e+08;$
 $k(15,15)=5.83901e+08;$
 $k(15,16)=1.26999e+07;$
 $k(15,17)=-1.88308e+08;$
 $k(15,87)=-5.83901e+08;$
 $k(15,88)=1.26999e+07;$
 $k(15,89)=-1.88308e+08;$
 $k(16,15)=1.26999e+07;$
 $k(16,16)=1.28998e+07;$
 $k(16,17)=-4.61579e+06;$
 $k(16,87)=-1.26999e+07;$
 $k(16,88)=-1.23473e+07;$
 $k(16,89)=-3.57561e+06;$
 $k(17,15)=-1.88308e+08;$
 $k(17,16)=-4.61579e+06;$
 $k(17,17)=8.10295e+07;$
 $k(17,87)=1.88308e+08;$
 $k(17,88)=-3.57561e+06;$
 $k(17,89)=4.04293e+07;$
 $k(18,13)=-1.26999e+07;$
 $k(18,14)=1.88308e+08;$
 $k(18,18)=8.13408e+07;$
 $k(18,85)=1.26999e+07;$
 $k(18,86)=-1.88308e+08;$
 $k(18,90)=4.06704e+07;$
 $k(19,1)=-3.9367e+08;$
 $k(19,6)=-6.69239e+07;$
 $k(19,19)=7.7874e+08;$
 $k(19,25)=-1.92535e+08;$
 $k(19,26)=2.48402e+07;$
 $k(19,27)=-3.68923e+08;$
 $k(19,28)=-2.45395e-11;$
 $k(19,29)=-839400;$
 $k(19,30)=-56518.2;$
 $k(19,31)=-1.92535e+08;$
 $k(19,32)=-2.48402e+07;$

 $k(19,33)=3.68923e+08;$
 $k(19,34)=2.45395e-11;$
 $k(19,35)=-839400;$
 $k(19,36)=-56518.2;$
 $k(20,2)=-2.47059e+09;$
 $k(20,20)=2.48125e+09;$
 $k(20,21)=-9.62408e-07;$
 $k(20,25)=2.48402e+07;$
 $k(20,26)=-5.33329e+06;$
 $k(20,27)=4.81204e+07;$
 $k(20,28)=839400;$
 $k(20,29)=-9.76108e-13;$
 $k(20,30)=-433306;$
 $k(20,31)=-2.48402e+07;$
 $k(20,32)=-5.33329e+06;$
 $k(20,33)=4.81204e+07;$
 $k(20,34)=839400;$
 $k(20,35)=9.76108e-13;$
 $k(20,36)=-433306;$
 $k(21,3)=-3.9367e+08;$
 $k(21,4)=-6.69239e+07;$
 $k(21,20)=-9.62408e+07;$
 $k(21,21)=1.82721e+09;$
 $k(21,25)=-3.68923e+08;$
 $k(21,26)=4.81204e+07;$
 $k(21,27)=-7.16771e+08;$
 $k(21,28)=-56518.2;$
 $k(21,29)=-433306;$
 $k(21,30)=2.02752e-13;$
 $k(21,31)=-3.68923e+08;$
 $k(21,32)=4.81204e+07;$
 $k(21,33)=-7.16771e+08;$
 $k(21,34)=56518.2;$
 $k(21,35)=-433306;$
 $k(21,36)=-2.02752e-13;$
 $k(22,22)=3;$
 $k(23,23)=3;$
 $k(24,24)=3;$
 $k(25,19)=-1.92535e+08;$
 $k(25,20)=2.48402e+07;$
 $k(25,21)=-3.68923e+08;$
 $k(25,25)=1.92535e+08;$
 $k(25,26)=-2.48402e+07;$
 $k(25,27)=-3.68923e+08;$
 $k(25,28)=2.45395e-11;$
 $k(25,29)=839400;$
 $k(25,30)=56518.2;$
 $k(26,19)=2.48402e+07;$
 $k(26,20)=-5.33329e+06;$
 $k(26,21)=4.81204e+07;$
 $k(26,25)=-2.48402e+07;$
 $k(26,26)=5.33329e+06;$
 $k(26,27)=-4.81204e+07;$
 $k(26,28)=-839400;$
 $k(26,29)=-9.76108e-13;$
 $k(26,30)=-433306;$
 $k(27,19)=-3.68923e+08;$
 $k(27,20)=-4.81204e+07;$
 $k(27,21)=-7.16771e+08;$
 $k(27,25)=3.68923e+08;$
 $k(27,26)=-4.81204e+07;$
 $k(27,27)=7.16771e+08;$
 $k(27,28)=-56518.2;$
 $k(27,29)=-433306;$
 $k(27,30)=2.02752e-13;$
 $k(28,19)=-2.45395e-11;$
 $k(28,20)=839400;$
 $k(28,21)=56518.2;$
 $k(28,25)=2.45395e-11;$

k(28,26)=-839400;	k(36,20)=433306;	k(61,67)=-1.255e+07;
k(28,27)=-56518.2;	k(36,21)=-2.02752e-13;	k(61,71)=-5.27099e+06;
k(28,28)=338125;	k(36,31)=56518.2;	k(61,72)=-9.16148e+06;
k(28,29)=-11699.3;	k(36,32)=-433306;	k(61,97)=-3.64694e+07;
k(28,30)=-173756;	k(36,33)=2.02752e-13;	k(61,101)=4.74102e+06;
k(29,19)=-839400;	k(36,34)=173756;	k(61,102)=-1.28555e+07;
k(29,20)=-9.76108e-13;	k(36,35)=22663.8;	k(62,62)=-3.29576e+09;
k(29,21)=433306;	k(36,36)=91220.4;	k(62,63)=-9.69222e+08;
k(29,25)=839400;	k(37,37)=5.22516e+08;	k(62,68)=-2.30735e+09;
k(29,26)=9.76108e-13;	k(37,43)=-1.28846e+08;	k(62,69)=1.32029e+09;
k(29,27)=-433306;	k(37,48)=-4.9928e+07;	k(62,70)=5.27099e+06;
k(29,28)=11699.3;	k(37,85)=-3.9367e+08;	k(62,98)=-9.88417e+08;
k(29,29)=426294;	k(37,90)=6.69239e+07;	k(62,99)=-3.51073e+08;
k(29,30)=-22663.8;	k(38,38)=9.13639e+09;	k(62,100)=-4.74102e+06;
k(30,19)=-56518.2;	k(38,44)=6.66581e+09;	k(63,62)=-9.69222e+08;
k(30,20)=433306;	k(38,86)=-2.47059e+09;	k(63,63)=9.38115e+08;
k(30,21)=2.02752e-13;	k(39,39)=5.22516e+08;	k(63,68)=1.32029e+09;
k(30,25)=56518.2;	k(39,45)=-1.28846e+08;	k(63,69)=-7.72172e+08;
k(30,26)=433306;	k(39,46)=4.9928e+07;	k(63,70)=9.16148e+06;
k(30,27)=-2.02752e-13;	k(39,87)=-3.9367e+08;	k(63,98)=-3.51073e+08;
k(30,28)=-173756;	k(39,88)=6.69239e+07;	k(63,99)=-1.65943e+08;
k(30,29)=-22663.8;	k(40,40)=2;	k(63,100)=1.28555e+07;
k(30,30)=91220.4;	k(41,41)=2;	k(64,64)=2;
k(31,19)=-1.92535e+08;	k(42,42)=2;	k(65,65)=2;
k(31,20)=-2.48402e+07;	k(43,37)=-1.28846e+08;	k(66,66)=2;
k(31,21)=3.68923e+08;	k(43,43)=1.28846e+08;	k(67,61)=-1.255e+07;
k(31,31)=1.92535e+08;	k(43,48)=4.9928e+07;	k(67,67)=1.255e+07;
k(31,32)=-2.48402e+07;	k(44,38)=-6.66581e+09;	k(67,71)=5.27099e+06;
k(31,33)=-3.68923e+08;	k(44,44)=6.66581e+09;	k(67,72)=9.16148e+06;
k(31,34)=-2.45395e-11;	k(45,39)=-1.28846e+08;	k(68,62)=-2.30735e+09;
k(31,35)=839400;	k(45,45)=1.28846e+08;	k(68,63)=1.32029e+09;
k(31,36)=56518.2;	k(45,46)=-4.9928e+07;	k(68,68)=2.30735e+09;
k(32,19)=-2.48402e+07;	k(46,39)=4.9928e+07;	k(68,69)=-1.32029e+09;
k(32,20)=-5.33329e+06;	k(46,45)=-4.9928e+07;	k(68,70)=-5.27099e+06;
k(32,21)=4.81204e+07;	k(46,46)=1.93471e+07;	k(69,62)=1.32029e+09;
k(32,31)=2.48402e+07;	k(48,37)=-4.9928e+07;	k(69,63)=-7.72172e+08;
k(32,32)=5.33329e+06;	k(48,43)=4.9928e+07;	k(69,68)=-1.32029e+09;
k(32,33)=-4.81204e+07;	k(48,48)=1.93471e+07;	k(69,69)=7.72172e+08;
k(32,34)=-839400;	k(49,49)=6.93248e+08;	k(69,70)=-9.16148e+06;
k(32,35)=-9.76108e-13;	k(49,55)=-2.99578e+08;	k(70,62)=5.27099e+06;
k(32,36)=-433306;	k(49,60)=-8.76266e+07;	k(70,63)=9.16148e+06;
k(33,19)=3.68923e+08;	k(49,91)=-3.9367e+08;	k(70,68)=-5.27099e+06;
k(33,20)=4.81204e+07;	k(49,96)=6.69239e+07;	k(70,69)=-9.16148e+06;
k(33,21)=-7.16771e+08;	k(50,50)=1.13014e+10;	k(70,70)=-8.90169e+06;
k(33,31)=-3.68923e+08;	k(50,56)=-8.83077e+09;	k(71,61)=-5.27099e+06;
k(33,32)=-4.81204e+07;	k(50,92)=-2.47059e+09;	k(71,67)=5.27099e+06;
k(33,33)=7.16771e+08;	k(51,51)=6.93248e+08;	k(71,71)=2.21381e+06;
k(33,34)=-56518.2;	k(51,57)=-2.99578e+08;	k(71,72)=3.84782e+06;
k(33,35)=433306;	k(51,58)=8.76266e+07;	k(72,61)=-9.16148e+06;
k(33,36)=2.02752e-13;	k(51,93)=-3.9367e+08;	k(72,67)=9.16148e+06;
k(34,19)=2.45395e-11;	k(51,94)=6.69239e+07;	k(72,71)=3.84782e+06;
k(34,20)=839400;	k(52,52)=2;	k(72,72)=6.68788e+06;
k(34,21)=56518.2;	k(53,53)=2;	k(73,73)=-3.16626e+07;
k(34,31)=-2.45395e-11;	k(54,54)=2;	k(73,79)=-1.255e+07;
k(34,32)=-839400;	k(55,49)=-2.99578e+08;	k(73,83)=-5.27099e+06;
k(34,33)=-56518.2;	k(55,55)=2.99578e+08;	k(73,84)=-9.16148e+06;
k(34,34)=338125;	k(55,60)=-8.76266e+07;	k(73,103)=-1.91126e+07;
k(34,35)=-11699.3;	k(56,50)=-8.83077e+09;	k(73,107)=2.48464e+06;
k(34,36)=173756;	k(56,56)=8.83077e+09;	k(73,108)=-8.5529e+06;
k(35,19)=-839400;	k(57,51)=-2.99578e+08;	k(74,74)=3.13998e+09;
k(35,20)=9.76108e-13;	k(57,57)=2.99578e+08;	k(74,75)=-1.08396e+09;
k(35,21)=-433306;	k(57,58)=-8.76266e+07;	k(74,80)=-2.30735e+09;
k(35,31)=839400;	k(58,51)=8.76266e+07;	k(74,81)=1.32029e+09;
k(35,32)=-9.76108e-13;	k(58,57)=-8.76266e+07;	k(74,82)=5.27099e+06;
k(35,33)=433306;	k(58,58)=2.56308e+07;	k(74,104)=-8.32633e+08;
k(35,34)=-11699.3;	k(60,49)=-8.76266e+07;	k(74,105)=-2.3633e+08;
k(35,35)=426294;	k(60,55)=8.76266e+07;	k(74,106)=-2.48464e+06;
k(35,36)=-22663.8;	k(60,60)=2.56308e+07;	k(75,74)=-1.08396e+09;
k(36,19)=-56518.2;	k(61,61)=4.90194e+07;	k(75,75)=8.59939e+08;

$k(75,80)=1.32029e+09;$	$k(88,100)=-1.252e+08;$	$k(98,97)=2.96472e+09;$
$k(75,81)=-7.72172e+08;$	$k(89,15)=-1.88308e+08;$	$k(98,98)=5.85634e+11;$
$k(75,82)=9.16148e+06;$	$k(89,16)=-3.57561e+06;$	$k(98,99)=3.51073e+08;$
$k(75,104)=-2.3633e+08;$	$k(89,17)=4.04293e+07;$	$k(98,100)=4.74102e+06;$
$k(75,105)=-8.77671e+07;$	$k(89,87)=-1.84806e+10;$	$k(98,102)=-1.74211e+10;$
$k(75,106)=8.5529e+06;$	$k(89,88)=-4.61579e+06;$	$k(99,3)=-9.57309e+09;$
$k(76,76)=2;$	$k(89,89)=8.90014e+08;$	$k(99,4)=2.27361e+08;$
$k(77,77)=2;$	$k(89,99)=1.86689e+10;$	$k(99,5)=-1.19664e+09;$
$k(78,78)=2;$	$k(89,101)=4.04492e+08;$	$k(99,9)=-8.45787e+07;$
$k(79,73)=-1.255e+07;$	$k(90,13)=-1.26999e+07;$	$k(99,10)=9.56162e+06;$
$k(79,79)=1.255e+07;$	$k(90,14)=1.88308e+08;$	$k(99,11)=-5.11701e+07;$
$k(79,83)=5.27099e+06;$	$k(90,18)=4.06704e+07;$	$k(99,62)=-3.51073e+08;$
$k(79,84)=9.16148e+06;$	$k(90,37)=6.69239e+07;$	$k(99,63)=-1.65943e+08;$
$k(80,74)=-2.30735e+09;$	$k(90,85)=-5.4224e+07;$	$k(99,87)=-5.74427e+11;$
$k(80,75)=1.32029e+09;$	$k(90,86)=1.84806e+10;$	$k(99,89)=1.86689e+10;$
$k(80,80)=2.30735e+09;$	$k(90,90)=9.01702e+08;$	$k(99,98)=3.51073e+08;$
$k(80,81)=-1.32029e+09;$	$k(90,98)=-1.86689e+10;$	$k(99,99)=5.84251e+11;$
$k(80,82)=-5.27099e+06;$	$k(90,102)=4.04492e+08;$	$k(99,100)=2.24067e+08;$
$k(81,74)=1.32029e+09;$	$k(91,49)=-3.9367e+08;$	$k(99,101)=1.74211e+10;$
$k(81,75)=-7.72172e+08;$	$k(91,91)=8.43937e+10;$	$k(100,3)=-2.27361e+08;$
$k(81,80)=-1.32029e+09;$	$k(91,96)=6.69239e+07;$	$k(100,4)=-2.72657e+07;$
$k(81,81)=-7.72172e+08;$	$k(91,103)=-8.4e+10;$	$k(100,5)=-2.48112e+07;$
$k(81,82)=-9.16148e+06;$	$k(92,50)=-2.47059e+09;$	$k(100,9)=-9.56162e+06;$
$k(82,74)=5.27099e+06;$	$k(92,92)=5.76898e+11;$	$k(100,10)=-5.66751e+06;$
$k(82,75)=9.16148e+06;$	$k(92,96)=-1.86689e+10;$	$k(100,11)=-5.0502e+06;$
$k(82,80)=-5.27099e+06;$	$k(92,104)=-5.74427e+11;$	$k(100,62)=-4.74102e+06;$
$k(82,81)=-9.16148e+06;$	$k(92,108)=-1.86689e+10;$	$k(100,63)=1.28555e+07;$
$k(82,82)=8.90169e+06;$	$k(93,51)=-3.9367e+08;$	$k(100,88)=-1.252e+08;$
$k(83,73)=-5.27099e+06;$	$k(93,93)=5.74821e+11;$	$k(100,98)=4.74102e+06;$
$k(83,79)=5.27099e+06;$	$k(93,94)=6.69239e+07;$	$k(100,99)=2.24067e+08;$
$k(83,83)=2.21381e+06;$	$k(93,95)=1.86689e+10;$	$k(100,100)=1.76243e+08;$
$k(83,84)=3.84782e+06;$	$k(93,105)=-5.74427e+11;$	$k(100,101)=-3.85484e+07;$
$k(84,73)=-9.16148e+06;$	$k(93,107)=1.86689e+10;$	$k(101,3)=1.19664e+09;$
$k(84,79)=-9.16148e+06;$	$k(94,51)=-6.69239e+07;$	$k(101,4)=-2.48112e+07;$
$k(84,83)=3.84782e+06;$	$k(94,93)=6.69239e+07;$	$k(101,5)=9.86055e+07;$
$k(84,84)=6.68788e+06;$	$k(94,94)=1.36577e+08;$	$k(101,9)=5.11701e+07;$
$k(85,13)=-8.41033e+09;$	$k(94,106)=-1.252e+08;$	$k(101,10)=-5.0502e+06;$
$k(85,14)=-5.27829e+08;$	$k(95,93)=1.86689e+10;$	$k(101,11)=2.04156e+07;$
$k(85,18)=1.26999e+07;$	$k(95,95)=8.08985e+08;$	$k(101,61)=4.74102e+06;$
$k(85,37)=-3.9367e+08;$	$k(95,105)=-1.86689e+10;$	$k(101,87)=-1.86689e+10;$
$k(85,85)=9.2804e+10;$	$k(95,107)=4.04492e+08;$	$k(101,89)=4.04492e+08;$
$k(85,86)=5.27829e+08;$	$k(96,49)=6.69239e+07;$	$k(101,97)=-4.74102e+06;$
$k(85,90)=-5.4224e+07;$	$k(96,91)=-6.69239e+07;$	$k(101,99)=1.74211e+10;$
$k(85,97)=-8.4e+10;$	$k(96,92)=-1.86689e+10;$	$k(101,100)=-3.85484e+07;$
$k(86,13)=-5.27829e+08;$	$k(96,96)=8.20362e+08;$	$k(101,101)=1.05165e+09;$
$k(86,14)=-6.19499e+08;$	$k(96,104)=1.86689e+10;$	$k(101,102)=-1.67121e+06;$
$k(86,18)=-1.88308e+08;$	$k(96,108)=4.04492e+08;$	$k(102,1)=2.27361e+08;$
$k(86,38)=-2.47059e+09;$	$k(97,1)=-2.10421e+10;$	$k(102,2)=-1.19664e+09;$
$k(86,85)=5.27829e+08;$	$k(97,2)=-2.17911e+09;$	$k(102,6)=1.0332e+08;$
$k(86,86)=5.77517e+11;$	$k(97,6)=-2.27361e+08;$	$k(102,7)=9.56162e+06;$
$k(86,90)=1.84806e+10;$	$k(97,7)=-4.28883e+09;$	$k(102,8)=-5.11701e+07;$
$k(86,98)=-5.74427e+11;$	$k(97,8)=-7.85603e+08;$	$k(102,12)=2.13592e+07;$
$k(86,102)=1.86689e+10;$	$k(97,12)=-9.56162e+06;$	$k(102,61)=-1.28555e+07;$
$k(87,15)=-5.83901e+08;$	$k(97,61)=-3.64694e+07;$	$k(102,86)=1.86689e+10;$
$k(87,16)=-1.26999e+07;$	$k(97,85)=-8.4e+10;$	$k(102,90)=4.04492e+08;$
$k(87,17)=1.88308e+08;$	$k(97,97)=1.09367e+11;$	$k(102,97)=-2.24067e+08;$
$k(87,39)=-3.9367e+08;$	$k(97,98)=2.96472e+09;$	$k(102,98)=-1.74211e+10;$
$k(87,87)=5.75405e+11;$	$k(97,101)=-4.74102e+06;$	$k(102,101)=-1.67121e+06;$
$k(87,88)=5.4224e+07;$	$k(97,102)=-2.24067e+08;$	$k(102,102)=1.06287e+09;$
$k(87,89)=-1.84806e+10;$	$k(98,1)=-2.17911e+09;$	$k(103,1)=-2.10421e+10;$
$k(87,99)=-5.74427e+11;$	$k(98,2)=-9.98713e+09;$	$k(103,2)=-2.17911e+09;$
$k(87,101)=-1.86689e+10;$	$k(98,6)=1.19664e+09;$	$k(103,6)=2.27361e+08;$
$k(88,15)=1.26999e+07;$	$k(98,7)=-7.85603e+08;$	$k(103,73)=-1.91126e+07;$
$k(88,16)=-1.23473e+07;$	$k(98,8)=-2.31376e+08;$	$k(103,91)=-8.4e+10;$
$k(88,17)=-3.57561e+06;$	$k(98,12)=5.11701e+07;$	$k(103,103)=1.05061e+11;$
$k(88,39)=-6.69239e+07;$	$k(98,62)=-9.88417e+08;$	$k(103,104)=-2.17911e+09;$
$k(88,87)=-5.4224e+07;$	$k(98,63)=-3.51073e+08;$	$k(103,107)=-2.48464e+06;$
$k(88,88)=1.49477e+08;$	$k(98,86)=-5.74427e+11;$	$k(103,108)=2.35914e+08;$
$k(88,89)=-4.61579e+06;$	$k(98,90)=-1.86689e+10;$	$k(104,1)=-2.17911e+09;$

$k(104,2) = -9.98713e+09;$ $k(104,6) = -1.19664e+09;$ $k(104,74) = -8.32633e+08;$ $k(104,75) = -2.3633e+08;$ $k(104,92) = -5.74427e+11;$ $k(104,96) = 1.86689e+10;$ $k(104,103) = 2.17911e+09;$ $k(104,104) = 5.85247e+11;$ $k(104,105) = 2.3633e+08;$ $k(104,106) = 2.48464e+06;$ $k(104,108) = 1.74722e+10;$ $k(105,3) = -9.57309e+09;$ $k(105,4) = -2.27361e+08;$ $k(105,5) = 1.19664e+09;$ $k(105,74) = -2.3633e+08;$ $k(105,75) = -8.77671e+07;$ $k(105,93) = -5.74427e+11;$ $k(105,95) = -1.86689e+10;$	$k(105,104) = 2.3633e+08;$ $k(105,105) = 5.84088e+11;$ $k(105,106) = -2.35914e+08;$ $k(105,107) = -1.74722e+10;$ $k(106,3) = 2.27361e+08;$ $k(106,4) = -2.72657e+07;$ $k(106,5) = -2.48112e+07;$ $k(106,74) = -2.48464e+06;$ $k(106,75) = 8.5529e+06;$ $k(106,94) = -1.252e+08;$ $k(106,104) = 2.48464e+06;$ $k(106,105) = -2.35914e+08;$ $k(106,106) = 1.67416e+08;$ $k(106,107) = -3.2029e+07;$ $k(107,3) = -1.19664e+09;$ $k(107,4) = -2.48112e+07;$ $k(107,5) = 9.86055e+07;$ $k(107,73) = 2.48464e+06;$	$k(107,93) = 1.86689e+10;$ $k(107,95) = 4.04492e+08;$ $k(107,103) = -2.48464e+06;$ $k(107,105) = -1.74722e+10;$ $k(107,106) = -3.2029e+07;$ $k(107,107) = 1.00986e+09;$ $k(107,108) = -1.11188e+06;$ $k(108,1) = -2.27361e+08;$ $k(108,2) = 1.19664e+09;$ $k(108,6) = 1.0332e+08;$ $k(108,73) = -8.5529e+06;$ $k(108,92) = -1.86689e+10;$ $k(108,96) = -4.04492e+08;$ $k(108,103) = 2.35914e+08;$ $k(108,104) = 1.74722e+10;$ $k(108,107) = -1.11188e+06;$ $k(108,108) = 1.01945e+09;$
--	---	--

ANEXO I – Modelo de finitos simulando batente de suspensão

```
problem description
title="dynamic frame analysis" nodes=18 elements=17 analysis=transient

analysis parameters
beta=0.25 gamma=0.5 alpha=0.0 duration=0.8 dt=0.05
nodes=[2,3] dofs=[Tx] mass-mode=lumped

nodes
1      x=.0    y=.0475    z=.0           constraint=free
2      x=.960
3      x=-.960
4      x=.0    y=.2175    z=.0           force=vertical
5      x=-.207   y=.197    z=-.401       constraint=vlink
6      x=.207
7      x=-.315   y=.2175    z=.0           constraint=axis
8      x=-.315   y=.510     z=-.10        constraint=ball
9      x=.315    y=.2175    z=.0           constraint=chassis_1
10     x=.315    y=.510     z=-.10        constraint=ball
11     x=-.250   y=-.40     z=-.130       constraint=chassis_1
12     x=-.250   y=.33 z=-.550       constraint=chassis_2
13     x=.250    y=-.40     z=-.130       constraint=chassis_2
14     x=.250    y=.33 z=-.550       constraint=chassis_2
15     x=-.315   y=.0475    z=0.0         constraint=free
16     x=.315    y=.0475    z=0.0
17     x=-.250   y=.0475    z=0.0
18     x=.250    y=.0475    z=0.0

beam3d elements
1      nodes=[1,18]      material=axle
2      nodes=[1,17]      material=axle
3      nodes=[4,5]       material=center
4      nodes=[4,6]       material=center
5      nodes=[7,8]       material=cylinder
6      nodes=[9,10]      material=cylinder
7      nodes=[11,12]     material=cylinder
8      nodes=[13,14]     material=cylinder
9      nodes=[4,1]       material=link
10     nodes=[7,15]      material=link
11     nodes=[9,16]      material=link
12     nodes=[17,11]     material=link
13     nodes=[13,18]     material=link
14     nodes=[18,16]     material=axle
15     nodes=[17,15]     material=axle
16     nodes=[16,2]      material=axle
17     nodes=[15,3]      material=axle

material properties
axle a=0.026 e=210e9 rho=7300 nu=0.3 iy=6.26e-5 iz=6.26e-5 j=2*6.26e-5 g=65e9
color=turquoise
center   a=0.00196 e=210e9 rho=7300 nu=0.3 iy=3.07e-7 iz=3.07e-7 j=2*3.07e-7
g=65e9 color=blue
cylinder a=0.0123 e=210e9 rho=7300 nu=0.3 iy=1.19e-5 iz=1.19e-5 j=2*1.19e-5
g=65e9 color=magenta
link a=0.002 e=210e9 rho=7300 nu=0.3 iy=3.07e-6 iz=3.07e-6 j=2*3.07e-6 g=65e9
/*

```

```
* based on an eccentric (6") load of 1000 lbs
* there will be 625 pounds going to the front truss
* and 375 pounds going to the back truss
*/
forces
vertical fy=80000

constraints
axis      tx=c ty=c tz=c rx=u ry=c rz=c
vlink     tx=c ty=u tz=u rx=h ry=h rz=h
ball      tx=u ty=u tz=u rx=h ry=h rz=h
chassis_1 tx=c ty=c tz=c rx=u ry=c rz=u
chassis_2 tx=c ty=c tz=c rx=u ry=u rz=u
free      tx=u ty=u tz=u

end
```

ANEXO J - Modelo de finitos simulando o sobre-esterçamento

```
problem description
title="dynamic frame analysis" nodes=18 elements=17 analysis=transient

analysis parameters
beta=0.25 gamma=0.5 alpha=0.0 duration=0.8 dt=0.05
nodes=[2,3] dofs=[Tx] mass-mode=lumped

nodes
1   x=.0   y=.0   z=.0           constraint=free
2   x=.960   y=.0           force=vertical
3   x=-.960   y=.0           force=vertical
4   x=.0   y=.170   z=.0           constraint=vlink
5   x=-.207   y=.197   z=-.401   constraint=axis
6   x=.207   y=.0           constraint=ball
7   x=-.315   y=.170   z=.0           constraint=ball
8   x=-.315   y=.510   z=-.10   constraint=chassis_1
9   x=.315   y=.170   z=.0           constraint=ball
10  x=.315   y=.510   z=-.10   constraint=chassis_1
11  x=-.250   y=-.40   z=-.1775   constraint=ball
12  x=-.250   y=.33   z=-.550   constraint=chassis_2
13  x=.250   y=-.40   z=-.0875   constraint=ball
14  x=.250   y=.33   z=-.550   constraint=chassis_2
15  x=-.315   y=.0   z=0.0           constraint=free
16  x=.315   y=.0   z=0.0
17  x=-.250   y=.0   z=0.0
18  x=.250   y=.0   z=0.0

beam3d elements
1   nodes=[1,18]   material=axle
2   nodes=[1,17]   material=axle
3   nodes=[4,5]   material=center
4   nodes=[4,6]   material=center
5   nodes=[7,8]   material=cylinder
6   nodes=[9,10]   material=cylinder
7   nodes=[11,12]   material=cylinder
8   nodes=[13,14]   material=cylinder
9   nodes=[4,1]   material=link
10  nodes=[7,15]   material=link
11  nodes=[9,16]   material=link
12  nodes=[17,11]   material=link
13  nodes=[13,18]   material=link
14  nodes=[18,16]   material=axle
15  nodes=[17,15]   material=axle
16  nodes=[17,2]   material=axle
17  nodes=[15,3]   material=axle

material properties
axle a=0.026 e=210e9 rho=7300 nu=0.3 iy=6.26e-5 iz=6.26e-5 j=2*6.26e-5 g=65e9
color=turquoise
center   a=0.00196 e=210e9 rho=7300 nu=0.3 iy=3.07e-7 iz=3.07e-7 j=2*3.07e-7
g=65e9 color=blue
cylinder a=0.0123 e=210e9 rho=7300 nu=0.3 iy=1.19e-5 iz=1.19e-5 j=2*1.19e-5
g=65e9 color=magenta
link a=0.002 e=210e9 rho=730 nu=0.3 iy=3.07e-6 iz=3.07e-6 j=2*3.07e-6 g=65e9
```

```
/*
 * based on an eccentric (6") load of 1000 lbs
 * there will be 625 pounds going to the front truss
 * and 375 pounds going to the back truss
 */

forces
vertical fy=80000

constraints
axis      tx=c ty=c tz=c rx=u ry=c rz=c
vlink     tx=c ty=u tz=u rx=h ry=h rz=h
ball      tx=u ty=u tz=u rx=h ry=h rz=h
chassis_1 tx=c ty=c tz=c rx=u ry=c rz=u
chassis_2 tx=c ty=c tz=c rx=u ry=u rz=u
free      tx=u ty=u tz=u

end
```

ANEXO K – Modelo de finitos simulando uma oscilação

```
problem description
title="dynamic frame analysis" nodes=18 elements=17 analysis=transient

analysis parameters
beta=0.25 gamma=0.5 alpha=0.0 duration=0.8 dt=0.05
nodes=[2,3] dofs=[Tx] mass-mode=lumped

nodes
1      x=.0   y=.0   z=.0           constraint=free
2      x=.960   y=.1786           force=vertical
3      x=-.960  y=-.091          force=vertical
4      x=.0   y=.170   z=.0           constraint=vlink
5      x=-.207   y=.197   z=-.401   constraint=axis
6      x=.207
7      x=-.315   y=.1225  z=.0       constraint=ball
8      x=-.315   y=.510   z=-.10    constraint=chassis_1
9      x=.315   y=.2175  z=.0       constraint=ball
10     x=.315   y=.510   z=-.10    constraint=chassis_1
11     x=-.250   y=-.40   z=-.130   constraint=ball
12     x=-.250   y=.33   z=-.550   constraint=chassis_2
13     x=.250   y=-.40   z=-.130   constraint=ball
14     x=.250   y=.33   z=-.550   constraint=chassis_2
15     x=-.315  y=-.0475  z=0.0   constraint=free
16     x=.315   y=.0475  z=0.0
17     x=-.250  y=-.0475  z=0.0
18     x=.250   y=.0475  z=0.0

beam3d elements
1      nodes=[1,18]      material=axle
2      nodes=[1,17]      material=axle
3      nodes=[4,5]       material=center
4      nodes=[4,6]       material=center
5      nodes=[7,8]       material=cylinder
6      nodes=[9,10]      material=cylinder
7      nodes=[11,12]     material=cylinder
8      nodes=[13,14]     material=cylinder
9      nodes=[4,1]       material=link
10     nodes=[7,15]      material=link
11     nodes=[9,16]      material=link
12     nodes=[17,11]     material=link
13     nodes=[13,18]     material=link
14     nodes=[18,16]     material=axle
15     nodes=[17,15]     material=axle
16     nodes=[16,2]      material=axle
17     nodes=[15,3]      material=axle

material properties
axle a=0.026 e=210e9 rho=7300 nu=0.3 iy=6.26e-5 iz=6.26e-5 j=2*6.26e-5 g=65e9
color=turquoise
center   a=0.00196 e=210e9 rho=7300 nu=0.3 iy=3.07e-7 iz=3.07e-7 j=2*3.07e-7
g=65e9 color=blue
cylinder a=0.0123 e=210e9 rho=7300 nu=0.3 iy=1.19e-5 iz=1.19e-5 j=2*1.19e-5
g=65e9 color=magenta
link a=0.002 e=210e9 rho=730
nu=0.3 iy=3.07e-6 iz=3.07e-6 j=2*3.07e-6 g=65e9
/*

```

```
* based on an eccentric (6") load of 1000 lbs
* there will be 625 pounds going to the front truss
* and 375 pounds going to the back truss
*/
forces
vertical fy=80000

constraints
axis      tx=c ty=c tz=c rx=u ry=c rz=c
vlink     tx=c ty=u tz=u rx=h ry=h rz=h
ball      tx=u ty=u tz=u rx=h ry=h rz=h
chassis_1 tx=c ty=c tz=c rx=u ry=c rz=u
chassis_2 tx=c ty=c tz=c rx=u ry=u rz=u
free      tx=u ty=u tz=u

end
```

ANEXO L – Rotina de cálculo para controlabilidade

```
# Esta rotina testa a controlabilidade de um sistema
#   do tipo

#   dx/dt =Ax +Bu

# atraves de um criterio que diz:

# "se as linhas de Bn forem não nulas,
# o sistema é controlavel"

# onde Bn = inv(M)*B_reduzida,
#       B_reduzida eh uma sub matriz de B,
#       B_reduzida tem as colunas de B que efetivamente
#           tem atuadores
# ver Brogan, Modern Control Theory

Z=zeros(108,108);

I=eye(108);

im=inv(m);

# monta a matriz A
A=[ Z I ; -im*k Z];

# monta a matriz B como se houvessem
#   108 atuadores
B=[Z ; im];

# calcula a matriz modal M
[M,L]=eig(A);

# considere que ha apenas quatro atuadores
#   dois verticais nos nohs 7 e 9 (coordenadas 38 e 50)
#   dois horizontais nos nohs 11 e 13 coordenadas 61 e 73)

B_reduzida= [ B(:,38) B(:,50) B(:,61) B(:,73)];

Bn= inv(M)*B_reduzida;

v=zeros(216,1);
for i=1:216
    for j=1:4
        v(i)=v(i)+abs(Bn(i,j));
    end
end

# se os elementos do vetor v sao nao nulos,
#   o sistema eh controlavel pois cada um dos modos
# eh controlavel
```

ANEXO M – ROTINA DE CÁLCULO PARA OBSERVABILIDADE

```
I=eye(108);
Z=zeros(108,108);

im=inv(m);

A=[ Z I ; -im*k Z ];

[M,L]= eig(A);

C=zeros(15,216);
# 2
C(1,7)=1.0;
C(2,8)=1.0;
C(3,9)=1.0;
# 4
C(4,19)=1.0;
C(5,20)=1.0;
C(6,21)=1.0;
# 7
C(7,37)=1.0;
C(8,38)=1.0;
C(9,39)=1.0;
# 18
C(7,208)=1.0;
C(8,209)=1.0;
C(9,210)=1.0;
#
C(7,187)=1.0;
C(8,188)=1.0;
C(9,189)=1.0;

Cn=C*M;

v=zeros(216,1);

for i=1:216
for j=1:15
    v(i)=v(i)+abs(Cn(j,i));
end
end
```

ANEXO N – RESULTADOS PARA AS ANALISES DE OBSERVABILIDADE

Condição de oscilação

```
# Created by Octave 2.1.72, Thu Feb 08 01:15:25 2007 BRST <raul@quel>
# name: v
# type: matrix
# rows: 216
# columns: 1
```

1.15525695764717	0.307217560137538	0.00999577244377352
1.15628316860931	0.307217538687927	0.0897859684758989
0.00102170810111011	0.591556388114774	0.375673741455881
0.00193035214128131	0.59155660610813	0.108969337165716
1.1552569603468	0.011199481907388	0.375671779373485
1.15628316850859	0.0283164993349201	0.108996011438157
0.00102170810264645	0.0112035192767145	0.312991941164454
0.00193035214167479	0.0283165288913313	0.313013093153096
0.430897055023833	0.740499851257408	0.123809910409188
0.460453171528746	0.74049934487668	0.153515084267762
0.430897095238716	0.123687859708854	0.123796405730399
0.460453195440865	0.0531878475096074	0.153492728812098
0.977327071507093	0.050694074628151	0.116296141286492
1.02204345166296	0.220079562781853	0.116278724880988
0.804240088135691	0.123687991996361	0.325551278051224
0.887384053844067	0.0531879020068355	0.325573303127031
0.97732706686492	0.0506941396401904	0.401566532863768
1.02204345260172	0.220079695238948	0.223115635653384
0.804240081979489	0.0652249636876257	0.401537913957219
0.887384054844844	0.0652208128594832	0.223095469064916
1.00627091716584	0.853385471427157	0.500151614840317
0.487600898333729	0.191697461047469	0.516300469336482
0.401492488516961	0.853386035013798	0.247638987580297
0.559073098229671	0.191698287155282	0.500186522751082
0.52236037898099	0.0825737316569763	0.516275425293149
1.00627091076591	0.0825686294650175	0.247585616277416
0.487600843587739	0.232074799392719	0.398757692471287
0.401492376790095	0.266767145316399	0.141740764056482
0.559073103962756	0.344493013482759	0.398740040771102
0.52236037488469	0.00999037739221884	0.141796702668599
0.033814750023415	0.0897926994285267	0.22479580379369
0.0338142314327883	0.232065774220008	0.224903056392503
0.0353101596848414	0.266774461827857	0.321873913235387
0.0353511381010928	0.344491932734163	0.321797483596967

0.317440184429032	0.429300554270128	1.21796363893377e-05
0.317395391811742	0.429300554270128	2.54901719880609e-07
0.00222642513273249	0.69138437105345	0.230735318067849
0.00222555694822531	0.5878391730627	0.22927821871593
0.00470429159265741	0.697648977286831	0.230925294292091
0.00470441447279029	0.00258292809551435	0.229277950956962
0.00158622487295439	0.00785591117873987	2.34412735971094e-10
0.00158574711253633	0.587476686287285	2.34412735971094e-10
2.70818917471956e-08	0.0027038711668579	5.02411502243209e-11
2.70921987354347e-08	0.00779781445999239	5.02411502243209e-11
0.253094255105339	0.0252297005637111	9.11491531352306e-14
0.253003977268727	0.0252297005637111	9.11491531352306e-14
0.142235682946364	0.00181467242333954	7.76526347223393e-14
0.142290523469652	0.00181467242333954	2.78624720918213e-13
0.0214413271573499	0.577916235013876	2.41805991340127e-13
0.073025891003961	0.557300788587697	2.63269581908702e-13
0.0214421912586792	0.000290200301366756	3.32538133894717e-14
0.0730277484982164	0.000290200301366756	3.32538133894717e-14
0.0720483737746389	1.42002026647341e-13	8.98268502726717e-14
0.0720655249003217	6.37347622851129e-13	4.61252951298603e-13
0.117770065464855	5.6715806614049e-14	2.877954373674e-13
0.117803418652044	9.39580985534935e-13	3.64918692789343e-13
0.248920873784324	9.39580985534935e-13	
0.248866209614822	1.17840892255359e-12	
0.365739544202108	5.42230868211049e-05	
0.365768726945276	5.42230868211049e-05	
0.178107190302534	6.79282520625316e-07	
0.178099439686253	6.79282520625316e-07	
0.382526106962774	9.34545634937427e-13	
0.382385076129627	6.88705916660647e-13	
0.221200787980843	8.2189621191948e-15	
0.220943517373698	7.44541509258614e-13	
0.202629362416943	7.44541509258614e-13	
0.202679415859029	6.62348622424902e-13	
0.633869297782393	5.95744031837073e-14	
0.633672612786797	5.95744031837073e-14	
0.348132547709001	9.14184598270844e-14	
0.348132547709001	0.0336110853803634	
0.177917661852046	0.0336110853803634	
0.187630736228357	0.0333276191310126	
0.0486220773572583	0.0333276191310126	
0.0322295831581833	5.66833913974034e-14	
0.553552974810453	5.58452673095695e-15	
0.553552974810453	5.58452673095695e-15	
0.062823385571491	1.0332271626285e-05	
0.0322162855987313	1.82636813070568e-07	

Condição de Batente de suspensão

Created by Octave 2.1.72, Thu Feb 08 01:14:49 2007 BRST <raul@quel>

name: v
type: matrix
rows: 216
columns: 1

0.828554236607838	0.316845011989656	0.454570803453941
0.828643101823176	0.31684501427136	0.360471305844467
0.828554234362145	0.607003679946809	0.402455665166686
0.828643101965281	0.607004379237791	0.454566581358609
0.828697238101741	0.024437722297726	0.360500856275516
0.828608646349379	0.0244378312713989	0.402475193585806
0.828697237948822	0.0368355583557556	
0.828608648673661	0.0368305915084701	
0.0467880621310069	0.630849900425288	0.158755756954572
0.0467881046277248	0.630850240934868	0.178343365235746
0.771280415300326	0.052364589017196	0.158715958711512
0.7713578852904	0.293363728955969	0.178372240105881
0.0343766616508992	0.00454969548883763	0.0978811405686928
0.771280409283094	0.00223245125324437	0.0978888216468912
0.771357885484063	0.0290330600137201	0.363338129758284
0.034376708295533	0.224613664907854	0.363303848114374
0.859628756149236	0.0256504561390045	0.360820036340015
0.859492200225739	0.0523613280134217	0.0796296940959233
0.859492190860369	0.29336740613775	0.360774649812101
0.85962875686958	0.00455107177816885	0.255211975218644
0.218294318046454	0.00223496454607218	0.079564241281686
0.406755132353705	0.0290325619922305	0.317921682276466
0.408683315033569	0.224613543557957	0.255164228808022
0.721757838990657	0.0256519123461679	0.389254969438826
0.541329698455809	0.578764589654018	0.317882204837874
0.218294729993266	0.578767551580317	0.400089070526905
0.406751847406353	0.643073657893665	0.187472729062851
0.408683229604448	0.643072181476568	0.389216487095023
0.721758124721715	0.129630052696972	0.327725760405884
0.541336168676865	0.269656079300777	0.187505305613648
0.695716658285379	0.294156498889634	0.400029096217754
0.69571661496216	0.129611019192735	0.230770375762333
0.110044458758313	0.269649936822064	0.32767377510001
0.110064176397681	0.29415591488373	0.230838850929992
	0.198747505494121	0.311511040161578
	0.198779586469594	0.311554064795969

0.260754879865555	0.00330561302044956	1.32839862372643e-13
0.00245264466054794	0.00330561302044956	0.229811032434731
3.90386324007647e-08	0.0176221731231502	2.72991338816094e-13
0.00397804487984592	0.034165703371291	2.72991338816094e-13
0.0016604781538264	0.00776450341237109	1.59400015505695e-13
0.260833589350482	0.00776450341237109	1.11302934273309e-13
0.00245176033987797	0.60319747108727	1.21040517116223e-13
0.149078791316418	0.685204207743663	1.21040517116223e-13
3.90244424576087e-08	0.602771951298015	2.0726501650367e-14
0.149122375460485	0.689896156862321	1.31115929603208e-13
0.00166087658157255	0.00057682903186846	1.31115929603208e-13
0.00397791093903021	0.00057682903186846	2.71317217682286e-14
0.207553695332941	1.59068013033726e-07	2.71317217682286e-14
0.114441843569128	1.59068013033726e-07	1.80481342501987e-13
0.207615909467703	0.549444754593848	5.16156166913246e-14
0.114471038853793	0.549444754593848	1.27090149892914e-13
0.0579653107102968	2.5577724081772e-13	1.27090149892914e-13
0.0709760472855844	1.34728273116865e-13	2.86778859262922e-14
0.0541861951671248	1.34728273116865e-13	2.86778859262922e-14
0.0579616195673042	4.36482754969391e-13	2.45857608869619e-13
0.0709916612384895	2.51799059326384e-13	
0.0541861689917302	2.51799059326384e-13	
0.398284523829843	0.0335137712587935	
0.103189505306765	0.0335137712587935	
0.228670723376978	0.0334067809723045	
0.398317276986213	0.0334067809723045	
0.103059684090546	9.35169328947689e-08	
0.228557760918628	1.17201958532232e-07	
0.432923008101632	1.08287407081776e-07	
0.433029136105445	1.35280441125097e-07	
0.519155465981795	4.96202989171828e-07	
0.145938426282492	3.82312379904205e-06	
0.519003405132802	6.27089997289019e-07	
0.145921333679334	4.22481985873659e-06	
0.171173260987343	2.39613456795853e-10	
0.177445606597727	2.39613456795853e-10	
0.297364958814936	2.39643880068902e-10	
0.304130310274542	2.39643880068902e-10	
0.304130310274542	0.230264071802739	
0.291192595972811	0.229811009743387	
0.127038318906859	0.230080805286585	
0.127038318906859	2.42764751827681e-13	
0.0172326071115807	1.22237955428429e-13	
0.332934808216966	1.22237955428429e-13	
0.332934808216966	2.77416418934762e-13	
0.0342943107111558	1.81249349827078e-13	

Condição de sobre esterçamento

```
# Created by Octave 2.1.72, Thu Feb 08 01:23:45 2007 BRST <raul@quel>
```

```
# name: v
# type: matrix
# rows: 216
# columns: 1
```

1.13717536989781	0.341036259401812	0.442696371190913
0.0112060090470472	0.614506989296046	0.241020485554988
0.0127092388905371	0.0326766985572273	0.382283235297005
1.13740386428757	0.0246478875110464	0.382305653612589
1.13717537263732	0.628867354829107	0.154333585132254
0.0112060090449092	0.032672759471726	0.0981101626604952
0.0127092389126871	0.0246478264823584	0.0981282707932976
1.1374038642512	0.628867798756177	0.154349872001756
0.0592051980411659	0.518255812408865	0.119712375001555
0.0452040535940377	0.232678226213242	0.119727483580349
0.811872835608551	0.518256044802857	0.399654326278245
0.81597519649637	0.232678429057829	0.399615677167673
0.855146188418453	0.0639513645383832	0.390243685449939
0.850653917655374	0.0639455811837638	0.390210294253934
0.0592052352228392	0.841806133776304	0.335300267697532
0.0452040936549064	0.0381202289271295	0.335259048404247
0.811872832012369	0.0146914624509196	0.38385610152301
0.815975196764721	0.0144917501388066	0.383819127226614
0.855146183146389	0.00822924255784071	0.18333739575474
0.850653918341499	0.00868695187782645	0.120810288736568
0.757906271552567	0.841807061460698	0.18328445146773
0.413624934034712	0.0381200577868322	0.120760600088164
0.648636018467952	0.0146932560481554	0.387846249658733
0.405360582823606	0.0144934557002616	0.387761970593824
0.757906262451906	0.00823331721554349	0.297553279770837
0.413624757781095	0.00869045273484105	0.297620946336674
0.648636007529679	0.200552637675511	0.220976161268393
0.405360582988568	0.24034833505707	0.220892958339098
0.21369349642556	0.173378827088272	0.411085460313565
0.110380974074143	0.292595537784056	0.411148076254011
0.0703353794166719	0.200561736382614	0.309073359565583
0.213693909029816	0.240332125743896	0.309029549707617
0.110357731478684	0.173400031832393	0.00232080040142513
0.0703600567874284	0.292593975977865	0.00231983879192995
0.341036219506441	0.442699680145169	0.00121902050936548
0.614506935758364	0.240994861982656	0.0012193785075771

0.00427317887269	0.000690975871715444	4.78527694004275e-14
0.00427330101305129	0.00478271865660124	6.03600552334006e-14
2.6084209789659e-08	0.000689417887635735	4.04383302460115e-14
2.60951371385357e-08	3.63500609000211e-07	5.44520274674291e-14
0.262265687213866	0.638359167293771	5.7644262370589e-13
0.262180067616066	0.654420355246376	3.87209236241699e-13
0.15469859430977	0.0131041388212959	3.87209236241699e-13
0.0760451006965258	0.0131041388212959	1.27155585043953e-13
0.137971454379349	0.0009203586361238	1.27155585043953e-13
0.154661697372513	0.0009203586361238	2.4218802182043e-13
0.0760411570101292	0.801757409564721	1.45049441850198e-13
0.138009766820286	0.782884631408388	1.90441093107218e-13
0.0128759180257021	5.64538317895538e-07	1.90441093107218e-13
0.0615913196860314	5.64538317895538e-07	1.59376579072574e-13
0.212573698166926	1.53801199744891e-05	1.17950194520727e-13
0.0128808969128758	1.53801199744891e-05	1.17950194520727e-13
0.0615830994019423	9.16839548603394e-12	
0.21263187529693	9.15422181110624e-13	
0.363865982949817	1.9282697419424e-12	
0.363902971381732	5.72669668454457e-12	
0.220043252846737	2.06345630568087e-12	
0.219944782207818	2.04555107180382e-12	
0.435755479411726	0.0215467182051059	
0.435638916368383	0.0215347633909896	
0.0651737251364062	5.29518570350091e-05	
0.065389431647801	5.29518570350091e-05	
0.202052267673841	2.4346512778369e-05	
0.202045269051774	0.312765913632825	
0.6283975308399	0.312832433306971	
0.628571206255353	3.35785398075661e-05	
0.359183242938357	1.86906562570267e-07	
0.359183242938357	2.71213768173417e-06	
0.254247178630839	2.59617922351747e-07	
0.260654170822229	2.36258110485553e-06	
0.413495743802639	5.17568886747315e-11	
0.309927388176999	5.17568886747315e-11	
0.309927388176999	5.17030564899159e-11	
0.284171774390506	5.17030564899159e-11	
0.284171774390506	5.45588661084781e-14	
0.410944716070171	5.23339931139267e-14	
0.348359764446423	5.23339931139267e-14	
0.000555882915220543	8.28140178455599e-14	
0.0048668192820775	5.64937072169086e-14	
0.000546530365909183	5.64937072169086e-14	
3.55940956144494e-07	8.49627177332967e-14	
0.340428635463616	4.78527694004275e-14	